



جمهورية العراق  
وزارة التعليم العالي والبحث العلمي  
جامعة ديالى  
كلية العلوم - قسم الفيزياء



**تحضير ودراسة بعض الخصائص الفيزيائية لطلاء الأيبوكسي  
الراتنجي المدعم بحبوبات أوكسيد المغنيسيوم النانوية  
لقاومة تآكل الحديد الكربوني في الأوساط المائية**

رسالة تقدم بها

**حسن عباس جاسم**

بكالوريوس علوم الفيزياء ٢٠٠٦

إلى

**مجلس كلية العلوم - جامعة ديالى**

وهي جزء من متطلبات نيل درجة ماجستير علوم في الفيزياء

بإشراف

الأستاذ الدكتور  
**أنيس عبد الله كاظم**

الأستاذ المساعد الدكتور  
**زياد طارق خضير**

٢٠١٨ م

١٤٣٩ هـ



Republic of Iraq  
Ministry of Higher Education  
and Scientific Research  
Diyala University  
College of Sciences – Physics Department



***Preparation and study of some physical  
Properties of epoxy resins coat supported  
by Magnesium oxide nanoparticles to  
resist the corrosion of low carbon  
steel in aqueous medium***

*A Thesis*

*Submitted to the Council of the College of Science / University  
of Diyala in Partial Fulfillment of the Degree  
of M.Sc. in physics*

By

**Hassan Abbas Jassim**

B.Sc. in physics

Supervised by

**Dr. Ziad Tariq khudir**  
**Assist. professor**

**Prof. Dr. Anees A. khadom**  
**professor Dr.**

2018 A.D.

1439 A.H.

بِسْمِ اللَّهِ الرَّحْمَنِ الرَّحِيمِ

وَقُلْ أَعْمَلُوا فَسَيَرِي اللَّهُ عَمَلَكُمْ وَرَسُولُهُ

وَالْمُؤْمِنُونَ وَسَرِدُوا إِلَى عَالِمِ الْغَيْبِ وَالشَّهَادَةِ

فَيُبَيِّنُكُمْ بِمَا كُنْتُمْ تَعْمَلُونَ . \*

سورة التوبة: ١٠٥

## الإهداء

المُقدس وحبه من الإيمان . . . العراق وطني .  
سارية العلم والعلى . . . أستاذتي .  
سراج الضياء في دربي . . . سروح أبي .  
نبض الحياة ونعمه رببي . . . أمي .  
من ساعدتني وصبرت معي . . . نرجو حتي الغالية .  
ذخري وعوني وسندني . . . أخوتي وأخواتي .  
ذرية الحياة والأمل . . . فرمين وفوس الدين وسامره ومرئب .  
كل صديق أراد لي النجاح . . ودعالي . .

حسن

## شكراً وتقدير

الحمد لله رب العالمين، والصلوة والسلام على سيد الخلق أجمعين محمد وآله الطيبين الطاهرين وصحبه الفر الميمين، لا يسعني بعد شكر الله تعالى وأنا أضع اللمسات الأخيرة لهذا البحث أن أتقدم بأسمى آيات الشكر والتقدير إلى جامعة دبى - عمادة كلية العلوم - قسم الفيزياء لاتاحتها لي فرصة إكمال دراستي، وإلى السيد العميد الاستاذ الدكتور (تحسين حسين مبارك) لمتابعته المستمرة وتذليله الصعوبات التي واجهتنا طيلة فترة الدراسة والبحث، كما اتقدم بخواص الشكر والتقدير إلى أول الذين أدين لهم بالشكر والامتنان العميد مشرف رسالتي (أ.م.د. زياد طارق خضير وأ.د. أنيس عبد الله كاظم) لاقترابهما موضوع البحث وتوجيهاتهما العلمية القيمة طوال مدة البحث أسأل الله لهما بدوام الصحة والعافية.

كما أتقدم بخالص الشكر والتقدير إلى أساتذتي الأفاضل (أ.د. كريم هنريش حسن وأ.د. نبيل علي بكر وأ.د. صباح أنور سلمان وأ.م.د. بثينة عبد المنعم وأ.أسعد محمد كامل) لتعاونهم الاممود محبي في الحصول على المستلزمات المختبرية والمعلومات النظرية والعملية الخاصة بالبحث.

وأتقدم بالشكر والتقدير إلى عمادة كلية الهندسة وقسم الهندسة الكيميائية في كلية الهندسة - جامعة دبى - وخصوصاً المهندس (مهند حسن محمد) لتعاونهم اللا محدود اثناء فترة البحث.

وأتقدم بخالص شكري إلى جميع الزميلات والزملاء طلبة الدراسات العليا (سلمى سلمان ومریم ستار ومرتضى جمال وعبد السلام محمود وهدى تركي ورغدة عدنان) واتقدم بخالص الشكر والتقدير إلى زملائي في مهنة التدريس (علي جبار وصباح عدنان وعباس عناد).

أكرر شكري لهم جميعاً داعياً العلي القدير أن يمدّهم بالصحة ويوفقهم لما فيه خير الجميع.

حسن

## توصية الأستاذة المشرفين

نقر بأن اعداد هذه الرسالة للطالب (حسن عباس جاسم) قد جرى تحت إشرافنا في قسم الفيزياء / كلية العلوم / جامعة ديالى، وهي جزء من متطلبات نيل درجة ماجستير علوم في الفيزياء.

المشرف

المشرف

التوقيع:

التوقيع :

الاسم: د. أنيس عبدالله كاظم

الاسم : د. زياد طارق خضير

المرتبة العلمية : أستاذ

المرتبة العلمية : أستاذ مساعد

التاريخ: ٢٠١٧/٩/١٧

التاريخ : ٢٠١٧/٩/١٧

## توصية رئيس قسم الفيزياء

إشارة إلى التوصية المقدمة من الأستاذين المشرفين أرشح هذه الرسالة إلى لجنة المناقشة لدراستها وبيان الرأي فيها.

التوقيع :

الاسم : د. زياد طارق خضير

المرتبة العلمية : أستاذ مساعد

العنوان : كلية العلوم / جامعة ديالى

التاريخ : ٢٠١٧/٩/١٧

## إقرار لجنة المناقشة

نحن أعضاء لجنة المناقشة الموقعين أدناه نشهد بأننا اطعننا على الرسالة الموسومة (تحضير دراسة بعض الخصائص الفيزيائية لطلاء الإيبوكسي الراتنجي المدعّم بحببيات إوكسيد المغفيسيوم الناتوية لمقاومة تآكل الحديد الكربوني في الأوساط المائية) للطالب (حسن عباس جاسم) وقد ناقشنا الطالب في محتوياتها وكل ما له علاقة بها فوجدناها جديرة بالقبول لنيل درجة ماجستير علوم في الفيزياء ولأجله وقعنا.

### رئيس اللجنة

التوقيع :

الاسم : د. نبيل علي بكر

المرتبة العلمية : استاذ

العنوان : جامعة ديالى / كلية العلوم

التاريخ : ٢٠١٨ / /

### عضو اللجنة

التوقيع :

الاسم : د. نادية محمد جاسم

المرتبة العلمية: مدرس

العنوان : جامعة ديالى / كلية العلوم

التاريخ: ٢٠١٨ / /

### عضو اللجنة

التوقيع :

الاسم : د. علي احمد يوسف

المرتبة العلمية: استاذ

العنوان : الجامعة المستنصرية / كلية التربية

التاريخ: ٢٠١٨ / /

### عضو اللجنة (المشرف)

التوقيع :

الاسم : د. انيس عبدالله كاظم

المرتبة العلمية: أستاذ

العنوان : جامعة ديالى / كلية الهندسة

التاريخ: ٢٠١٨ / /

### عضو اللجنة (المشرف)

التوقيع :

الاسم : د. زياد طارق خضير

المرتبة العلمية: أستاذ مساعد

العنوان : جامعة ديالى / كلية العلوم

التاريخ: ٢٠١٨ / /

### مصادقة عمادة كلية العلوم / جامعة ديالى

التوقيع

الاسم : د. حسين حسين مبارك

المرتبة العلمية : أستاذ

التاريخ : ٢٠١٨ / /

## إقرار المقوم اللغوي

أقر بتفويم رسالة الماجستير المعنونة ((تحضير دراسة بعض الخصائص الفيزيائية لطلاء الايبوكسي الراتنجي المدعم بحببات إوكسيد المغنيسيوم النانوية لمقاومة تآكل الحديد الكربوني في الاوساط المائية)) للطالب (حسن عباس جاسم) لغويًّا من قبلي وهي جزء من متطلبات نيل درجة الماجستير في علوم الفيزياء .

التوقيع :

الاسم : أ. م. د. قاسم محمد اسود

المرتبة العلمية : استاذ مساعد

العنوان : جامعة ديالى / كلية التربية الاساسية/ قسم اللغة العربية

التاريخ : 2018 / /

## إقرار المقوم العلمي

أقر بتفوييم رسالة الماجستير المعنونة (( تحضير ودراسة بعض الخصائص الفيزيائية لطلاء الايبوكسي الراتنجي المدعوم بحببيات إوكسيد المغنيسيوم النانوية لمقاومة تآكل الحديد الكربوني في الاوساط المائية)) للطالب (حسن عباس جاسم) علمياً من قبله وهي جزء من متطلبات نيل درجة الماجستير في علوم الفيزياء .

التوقيع :

الاسم : أ. م. د. فريال كاظم داود

المرتبة العلمية : استاذ مساعد

العنوان : جامعة ديالى / كلية التربية الاساسية/ قسم العلوم

التاريخ : 2018 / /

## البحوث المنشورة

Ziad T. Khodair, Anees A. Khadom and Hassan A. Jasim,  
(Corrosion protection of mild steel in different aqueous media via  
epoxy/nanomaterial coating: preparation, characterization and mathematical  
views), Journal of Materials Research and Technology, (2018).

## الخلاصة

تم في هذه الدراسة تقليل معدل تآكل الحديد منخفض الكربون في الأوساط المائية (الحامضية والملحية) إلى أقل ما يمكن. إذ تم دراسة طريقة الحماية بطلاء الإيبوكسي (Epoxy resin coating) المدعوم بحبوبات أوكسيد المغنيسيوم النانوي المحضره والتجاريه (MgO-Nano Particles) لمقاومة تآكل الحديد منخفض الكربون عند نسب تدعيم وزنیة مختلفة وهي (0%, 1%, 2%, 3%)، وتم اعتماد النسبة الوزنیة (3%) بوصفها النسبة المثلی من حيث انخفاض معدل التآكل، ومن حيث الخواص الميكانيکية الجيدة التي توفرها، اذ تم غمر العينات بنوعین من الأوساط الاکالة (الحامضية والملحية)، ( ) pH =1,2,3 والملحية بنسب وزنیة ( 3% , 2% , 1% ) وكلیهما بدرجات حرارية (30,40,50,60) °C، ولمدة (4) ساعات متواصلة.

تم دراسة الصلادة السطحية والموصلية الحرارية لجميع انواع الطلاء وحساب معدلات التآكل بالطريقة الوزنیة، وفحص حیود الاشعة السینیة (XRD) لجميع النماذج المحضره، وقد اظهرت النتائج أن هناك تحسناً بالخواص الميكانيکية لطلاء الإيبوكسي. كما اعطى فحص (SEM) صور واضحة عن سطح العينات قبل الطلاء وبعد الطلاء بطلاء الإيبوكسي وبعد التدعيم بمادة (MgO) ذات التركيب النانوي.

لذلك لوحظ التفوق الواضح لطلاء الإيبوكسي المدعوم بمادة (MgO) ذات التركيب النانوي إذا ما تم موازنتها بالنماذج غير المدعومة لتوفیر طبقة حماية للحديد الكاربوني من خطر التآكل وعن طريق فحص (XRD) تم حساب بعض المعلومات التركيبية (MgO) المحضره والتجاريه.

## المحتويات

رقم الصفحة	المحتوى	الفقرة
I	قائمة المحتويات	
V	قائمة الجداول	
VI	قائمة الاشكال	
VIII	قائمة الرموز	
IX	قائمة المختصرات	
<b>11-1</b>	<b>المقدمة</b>	<b>الفصل الاول</b>
1	المقدمة	1-1
2	الفولاذ الكاربوني	2-1
2	الفولاذ عالي الكاربون	1-2-1
2	الفولاذ متوسط الكاربون	2-2-1
2	الفولاذ منخفض الكاربون	3-2-1
2	طلاء الأبيوكسي الراتنجي	3-1
4	أوكسيد المغنتسيوم	4-1
5	تقنيات تصنيع المواد النانوية	5-1
5	تقنية المحلول الغروي	6-1
7	الدراسات السابقة	7-1
11	هدف البحث	8-1
<b>37-12</b>	<b>الجانب النظري</b>	<b>الفصل الثاني</b>
12	المقدمة	1-2
12	التآكل	2-2
12	أنواع التآكل	3-2
12	التآكل المنتظم	1-3-2
13	التآكل الكلافي أو التآكل بين معدنين	2-3-2
13	التآكل الشقي ( الصدعي )	3-3-2
14	التآكل النقرى	4-3-2
14	التآكل بين الحبيبات	5-3-2
15	التآكل بالتعريفة	6-3-2
17	التآكل الجهدي	7-3-2
18	التآكل بالإحياء المجهرية	8-3-2

18	أضرار التآكل	4-2
18	آلية حدوث التآكل	5-2
19	العوامل الخارجية المؤثرة في عملية التآكل	6-2
19	تأثير تجهيز السطح	1-6-2
20	تأثير قيمة الحامضية والقلوية	2-6-2
20	تأثير الضغط	3-6-2
21	تأثير الاشعاع	4-6-2
21	الصدا	7-2
22	اساليب الحماية من التآكل	8-2
22	استخدام مثباتات التآكل	1-8-2
23	الحماية الكاثودية (المهبطية)	2-8-2
23	الحماية الأنودية ( المصعدية )	3-8-2
24	اختيار المعدن أو السبيكة المناسبة	4-8-2
24	الطلاء والأصباغ	5-8-2
25	انواع الطلاءات	9-2
25	الطلاءات والمعدنية	1-9-2
25	الطلاءات العضوية	2-9-2
25	الطلاءات غير العضوية والمعدنية	3-9-2
25	ميكانيكية عمل الطلاء والمادة الرابطة	10-2
26	تقنيات النانو	11-2
27	تصنيف المواد النانوية وتطبيقاتها	12-2
27	الحبيبات النانوية	1-12-2
28	الخصائص التركيبية	13-2
28	حيود الأشعة السينية	1-13-2
30	المعلمات التركيبية	2-13-2
32	التقنيات المستعملة للتحليل	14-2

32	طيف الاشعة السينية المشتتة للطاقة (EDX)	1-14-2
32	قياسات المجهر الإلكتروني الماسح (SEM)	2-14-2
33	الخواص الميكانيكية	15-2
33	اختبار الصلادة السطحية	1-15-2
34	الخواص الحرارية	16-2
34	ال搇صيلية الحرارية	1-16-2
36	معدل التأكل	17-2
36	طرائق قياس معدل التأكل	18-2
52-38	الجانب العملي	الفصل الثالث
38	مقدمة	1-3
38	المواد المستعملة	2-3
39	الأجهزة المستعملة	3-3
42	تجهيز وتنظيف العينات	4-3
43	تحضير أوكسيد المغنيسيوم النانوي :MgO	5-3
47	تحضير المحاليل الحامضية والملحية	6-3
47	طريقة العمل	7-3
47	العينات غير المطلية	1-7-3
47	العينات المطلية	2-7-3
49	القياسات التركيبية	8-3
49	تقنية حيود الأشعة السينية	1-8-3
50	قياسات المجهر الإلكتروني الماسح	9-3
50	اختبار搇صيلية الحرارية	10-3
51	اختبار الصلادة	11-3
52	جهاز قياس السمك	12-3

74-53	<b>النتائج والمناقشة</b>	<b>الفصل الرابع</b>
53	المقدمة	1-4
53	القياسات التركيبية	2-4
53	نتائج حيود الأشعة السينية	1-2-4
54	حساب المعلمات التركيبية	2-2-4
57	فحوصات تحليل ( EDX )	3-4
58	فحوصات المجهر الإلكتروني الماسح ( SEM ) :	4-4
59	فحص التحليل الكيميائي للعينات الفولاذية	5-4
60	اختبار الصلادة السطحية	6-4
60	قياس السمك للطلاءات المتراكبة	7-4
61	فحص التوصيلية الحرارية لطلاء الإيبوكسي المدعم وغير المدعم بمادة (MgO) ذو التركيب النانوي	8-4
61	حساب معدلات التأكل	9-4
66	تأثير الدالة الحامضية pH	10-4
68	تأثير تركيز الوسط الملحي	11-4
69	تأثير المشترك للدالة الحامضية وتركيز الوسط الملحي	12-4
70	تأثير درجة الحرارة	13-4
71	كفاءة الطلاء وتاثير إضافة الحبيبات النانوية	14-4
73	الاستنتاجات	15-4
74	المشاريع المستقبلية	16-4
85-75	<b>المصادر</b>	
75	المصادر	

## قائمة الجداول

رقم الصفحة	عنوان الجدول	رقم الجدول
	المقدمة	الفصل الاول
4	بعض خواص اوكسيد المغنيسيوم	1-1
	الجانب النظري	الفصل الثاني
28	تحسين وتطوير خواص سطح المنتج لمواكبة التطبيقات المختلفة وذلك عن طريق طلاء برقائق النانو	1-2
	الجانب العملي	الفصل الثالث
39	خصائص راتنج الأيبوكسي	1-3
	النتائج والمناقشة	الفصل الرابع
55	مقارنة بين جزء (ICDD) لمادة (MgO) التجاري والمحضر	1-4
57	قيم المعلمات التركيبية لأوكسيد المغنيسيوم النانوي (MgO) التجارية والمحضرية	2-4
58	النسب الذرية والوزنية لمكونات (MgO) ذو التركيب النانوي	3-4
59	التركيب الكيميائي للفولاذ المستخدم	4-4
60	قيم الصلادة السطحية للطلاء الإيبوكسي المدعمة (MgO) عند النسب المفضلة موازنة بالغير مدعمة.	5-4
64	قيم السمك للطلاءات الإيبوكسي الغير مدعم والمدعم بـ (MgO) ذو التركيب النانوي المحضرية	6-4
61	قيم التوصيلية الحرارية لطلاء الإيبوكسي المدعّم وغير مدعّم بـ (MgO) ذو التركيب النانوي	7-4
62	معدل التأكل كدالة لدرجة الحرارة ودرجة الحامضية بوجود وعدم وجود طلاء الإيبوكسي	8-4
62	معدل التأكل كدالة لدرجة الحرارة وتركيز الملح بوجود وعدم وجود طلاء الإيبوكسي	9-4
63	معدل التأكل كدالة لدرجة الحرارة وتركيز الملح ودرجة الحامضية بوجود وعدم وجود طلاء الإيبوكسي	10-4
65	معدل التأكل كدالة لدرجة الحرارة وتركيز الملح في وجود طلاء الإيبوكسي المدعّم بـ (MgO) ذو التركيب النانوي وغير المدعّم	11-4
70	طبقات التنشيط بظروف مختلفة	12-4

## قائمة الأشكال

الصفحة	العنوان	ت
	المقدمة	الفصل الاول
5	التركيب البلوري لأوكسيد المغنسيوم	1-1
	الجانب النظري	الفصل الثاني
17	منحني معدل التعرية / زمن	1-2
29	مخطط يوضح الاشعة السينية	2-2
34	مخطط اختبار صلادة التحمل لشور	3-2
36	-a - مخطط جهاز قياس التوصيلية الحرارية (قرص لي)، b - الحالة المثالية للفرص	4-2
	الجانب العملي	الفصل الثالث
38	. راتنج الأبيوكسي مع المصد نوع (Polyprime-EP)	1-3
39	الميزان الإلكتروني الحساس	2-3
40	الخلط المغناطيسي	3-3
40	الفرن الحراري المختبري	4-3
41	مقياس الاس الهيدروجيني	5-2
42	جهاز الحمام المائي	6-3
43	صورة فوتوغرافية للعينات	7-3
45	حببات (MgO) ذو التركيب النانوي (التجاري والمحضر)	8-3
46	طريقة المحلول الغروي ذو الاحتراق التلقائي	9-3
48	صورة فوتوغرافية العينات المطلية بطلاء الأبيوكسي (A) المدعم بـ (MgO) و (B) غير المدعم	10-3
49	جهاز حيود الاشعة السينية	11-3
50	جهاز المجهر الإلكتروني الماس	12-3
51	جهاز قياس التوصيلية الحرارية	13-3
51	جهاز الصلادة شور (D).	14-3
52	جهاز قياس السمك	15-3
	النتائج و المناقشة	الفصل الرابع
54	انماط حيود الاشعة السينية لأوكسيد المغنسيوم	1-4

54	البطاقة الدولية القياسية (ICDD) المرقمة 0946-45-00 لأوكسيد المغنيسيوم	2-4
56	العلاقة بين المتغيرات التي من خلالها تم حساب معدل الحجم البلوري حسب طريقة (Williamson - Hall)	3-4
58	صورة (SEM) للمادة (MgO) التجاري والمحضر	4-4
59	صور (SEM) للعينات	5-4
67	تأثير درجة الحرارة على معدلات التآكل عند قيمة دالة حامضية متغيرة بعدم وجود طلاء الأيبوكسي.	6-4
67	تأثير درجة الحرارة على معدلات التآكل عند قيمة حامضية متغيرة بوجود طلاء الأيبوكسي.	7-4
68	تأثير درجة الحرارة على معدلات التآكل للحديد الكاربوني عند تراكيز ملحية مختلفة وبعدم وجود طلاء الأيبوكسي.	8-4
68	تأثير درجة الحرارة على معدلات التآكل للحديد الكاربوني عند تراكيز ملحية مختلفة عند وجود طلاء الأيبوكسي.	9-4
69	تأثير درجة الحرارة على معدلات التآكل للحديد الكاربوني في المحلول المشترك في الدالة الحامضية وتركيز الوسط الملحبي	10-4
71	العلاقة بين CR مع $\ln T$	11-4
71	علاقة الكفاءة مع درجة الحرارة	12-4
73	العلاقة بين كفاءة طلاء الأيبوكسي مع المادة النانوية (MgO)	13-4

## قائمة الرموز

الرمز	المعنى	الوحدة
N	عدد صحيح يسمى رتبة الحيود	.....
$\theta_B$	زاوية براك	degree
$\lambda$	الطول الموجي	$A^\circ$
$d_{hkl}$	المسافة العمودية بين مستويين بلوريين متجاورين	$A^\circ$
$a_0$	ثابت الشبكة	$A^\circ$
V	حجم وحدة الخلية	$nm^3$
Hkl	معاملات ميلر	.....
$D_{av}$	معدل الحجم الحبيبي	nm
B	عرض المنحنى لمنتصف الشدة العظمى (FWHM)	Radian
$B_s$	العرض الناتج من المطاوعة	Radian
$\beta_D$	العرض الناتج من الحجم الحبيبي	Radian
$T_c$	عامل التشكيل	....
$I_{(hkl)}$	الشدة النسبية المقاسة للمستوي (hkl)	....
$I_{o(hkl)}$	الشدة القياسية للمستوي (hkl) في بطاقة (ICDD)	....
$N_o$	عدد البلوريات لوحدة المساحة	$cm^{-2}$
$\rho$	كثافة المادة	$(g.cm^{-3})$
X	سمك المادة	nm
$E_a$	طاقة التنشيط	J/mol
$C_R$	معدل التآكل	gmd

## قائمة المختصرات

TCO	Transparent Conducting Oxide
OLED <sub>S</sub>	Organic Light Emitting Diodes
XRD	X-Ray Diffraction
AFM	Atomic Force Microscopy
SEM	Scanning Electron Microscopy
STM	Scanning Tunneling Microscopy
ICDD	International center for Diffraction Data
RMS	Root Mean Square
mmpy	Millimeters penetration per year
mpy	penetration per year
C <sub>R</sub>	Corrosion rate
TMA	Thermo mechanical analysis
gmd	gram per square meter day
mdd	milligrams per square decimeter day

# الفصل الأول

مقدمة عامة

( Introduction )

( 1-1 ) المقدمة

يعرف التآكل (Corrosion) بأنه تلف المعادن أو فقدان في الخواص الكيميائية والفيزيائية عند التعرض لوسط خارجي معادي آكل، إذ تعد عملية التآكل معضلة العصر، وأن ما يُتلف من أدوات ومعدات ومنشآت سنويًا بسبب عملية التآكل يقدر بالمليارات من عملات الدول الصناعية [1-3].

إن السبب الأساس لتآكل المعادن واختلاف معدلاتها يعود إلى منشأ هذه المعادن أو اصولها.

فمعظم هذه المعادن ولا سيما غير النقية مثل الخارصين والحديد، لا تتواجد في الطبيعة كمعدن نقي ولكن تتواجد على شكل مركبات كيمياوية مثل أكاسيد، كربونات وكبريتات وتدعى عادةً بخامات هذه معادن، فلدى استخلاص المعادن النقية من هذه الخامات لابد من بذل مقدار من الطاقة، وبذلك فإن المعدن النقي سوف يكون مجبأً على التواجد في حالة تختلف على ما كان بالطبيعة والعودة إلى الأصل الذي كان عليه أي الخام وهذه العملية هي ما تسمى بالتأكل (Corrosion) [4] ، فمثلاً إن الحديد يتواجد في الطبيعة على شكل أوكسيد الحديد في معظم الحالات، وعندما يتآكل فإنه يتحول إلى خليط من أكاسيد الحديد المختلفة أو أوكسيد الحديديك في حين أن المعادن غالبية الثمن مثل الذهب والبلاتين تتواجد في الطبيعة بشكلها النقي لذا فإنها لا تميل إلى التآكل بل تبقى في حالتها النقية [2].

إن تأثير التآكل عادةً يكون على نوعين، يتمثل الأول في تلف أو فقدان المعدن كما هو الحال مع تآكل الحديد أو الفولاذ، أما الثاني عبارة عن تآكل موضعي (local corrosion) يؤدي إلى تغيير السطح الخارجي للمعدن وخواصه مما يؤدي لاحقًا إلى حدوث تلف ميكانيكي مثل الكسر أو الفشل أو الإنهاك، ولعل من الأمثلة على هذا النوع من التآكل هو التآكل الموضعي في الأجهزة والمعدات والذي يكون حدوثه خطراً جسیماً على العاملين عليها، فمثلاً إن تسرب الغازات السامة أو السوائل المضرة بالصحة من الخزانات والأنباب هو نتيجة لحدوث مثل هذا النوع من التآكل، ويحدث التآكل في المنشآت الخرسانية كالمباني والطرق والجسور وغيرها، فضلاً عن التآكل في المنشآت المعدنية كالآلات والمعدات والخزانات وابراج نقل الطاقة والاتصالات وغيرها [4].

إن جميع دول العالم الصناعية تتخذ الاحترازات الواجب اتخاذها لمنع التآكل و الحماية منه أو

ازالة أثاره وهذه الإجراءات قد تكون مكلفة للغاية ولكن لابد من اتخاذها ويمكن إجمالها بالأتي:-

**١- الخسائر المباشرة :** وتشمل خسارة الأجزاء التالفة من المكائن والأجهزة أو الأنابيب

فضلاً عن أجور وتكاليف استعمال طرق واساليب حماية او الوقاية من التآكل.

**٢- الخسائر غير المباشرة:** وتتضمن الوقت الضائع للصيانة والتصنيع وفي التلوث أو خسارة

الإنتاج أو المحيط الخارجي علاوة على زيادة استهلاك المعادن ومواد البناء الأخرى

وتكون الخسائر غير مباشرة أكثر في الغالب من الخسائر المباشرة [5].

يعد الفولاذ الكربوني واحداً من سبائك الفولاذ التجارية المهمة فزيادة المحتوى الكربوني له ترتفع الصلادة السطحية وكذلك قوة الفولاذ، يمكن تقسيم الفولاذ الكربوني إلى الانواع التالية [6] :

- فولاذ عالي الكاربون.
- فولاذ متوسط الكاربون.
- فولاذ منخفض الكاربون.

### (1-2-1) الفولاذ عالي الكاربون

وهو الفولاذ الذي تتراوح نسبة الكاربون فيه ما بين (0.8% - 1.5%) في هذا النوع من الفولاذ ذي المحتوى الكربوني العالي ويتميز بامتلاكه الخواص الميكانيكية الجيدة بسبب النسبة العالية للكاربون التي تجعل اللحام لهذا الفولاذ أكثر صعوبة، اذ تتطلب عملية اللحام استخدام تسخين بدرجة حرارة عالية.

### (2-2-1) الفولاذ متوسط الكاربون

يمتلك هذا النوع من الفولاذ مستوى كاربونياً يتراوح ما بين (0.45% - 0.8%) ان زيادة الكاربون تعني زيادة الصلادة وقوة الشدة وانخفاض المطيلية (Ductility) وصعوبة اكثر بالقطيع.

### (3-2-1) الفولاذ منخفض الكاربون

يسماى ايضاً الفولاذ الطرى (Mild Steel) الذي يحتوي على كاربون بنسبة تتراوح ما بين (0.45% - 0.15%) وهو من اكثر الانواع شيوعاً اذ له مطيلية ويمتاز بقابلية للحام افضل من فولاذ عالي الكربون.

## (Resin Epoxy coating)

### (3-1) طلاء الأيبوكسي الراتنجي

الطلاءات الأيبوكسية من المواد الحديثة التي تستخدم في مجالات كثيرة والتي يمكن تطوير استخدامها في مجالات مختلفة ولها عدة أنواع.

وكلمة الأيبوكسي مشتقة من اللغة اليونانية (Ep) ومعناها من الخارج و (Oxy) اختصار الكلمة (Oxygen) أي ذرة الأكسجين ترتبط من الخارج بذرتن كاربون [7]. والأيبوكسي مكون من مركبين : راتنج الأيبوكسي (resin)، والمركب الصلب (Hardener) ويتم التصلب بخلط المركبين جيداً عند درجة حرارة ملائمة وبالنسبة المحددة لكل نوع من المواد الأيبوكسية، وفي بعض الأحوال توجد انواع اخرى من الأيبوكسي تتكون من مركب واحد يتصلب بتأثير الهواء، وأنواع اخرى من ثلاثة مركبات "الراتنج والمصلب، ومواد مائة من الكوارتز" [8].

ومن أبرز أنواع طلاء الأبيوكسي هو الطلاء الأولي الذي يستعمل لنقوية الأسطح وسد مسام الخرسانة، وتستعمل هذه الدهانات كطبقة أولية، وأيضاً يستعمل هذا الطلاء بعد معالجته بالخارصين في مقاومة تأكل الحديد وحمايته من الصدأ، ويمكن استخدام بوليمرات الأبيوكسي كما هي دون تحوير أو بعد تحويرها إلى راتنج الأبيوكسي في تحضير الأصباغ والطلاءات المتنوعة المستعملة لطلاء المعدات الحرارية أو الاعتيادية [7,8].

#### (أ) مميزات أصباغ الأبيوكسي :

- ١- متنوع الاستخدام إلى درجة كبيرة.
- ٢- المقاومة الكيميائية الجيدة ضد جميع المواد الكيميائية.
- ٣- قوة الالتصاق الممتازة على مختلف السطوح.
- ٤- سهولة تشابك الطلاء بصورة جيدة ومتكلمة مما يعطي طلاء صلباً متاماً.

#### (ب) عيوب أصباغ الأبيوكسي :

- ١- يتكون الصبغ غالباً من جزئين بدلاً من جزء واحد.
- ٢- غلاء سعر الصبغ بسبب قيم الايبو كلورو هيدرين الباهظة نسبياً كما انه يتكون ملح الطعام أثناء التفاعل وضرورة التخلص منه ما يكلف مبالغ طائلة.
- ٣- تغيير لون الطلاء اللامع في البداية إلى طبقة طباشيرية (أشبه بالجص) بمرور الزمن وهذا ما جعل أصباغ الأبيوكسي غير مرغوبة لطلاء وصباغة السيارات والعربات التي تتعرض إلى ظروف جوية مختلفة.
- ٤- السرعة البطيئة التي تتصلب بها طبقات الطلاء المعالج بالأمينات في درجات الحرارة الاعتيادية.

ويمكن القول أن راتنجات الأبيوكسي تتنمي إلى مجموعة الراتنجات المتصلة بالحرارة إذ تميز هذه الراتنجات بعدم إمكانية إعادة تشكيلها بالحرارة بعد تحولها إلى مادة صلبة نتيجة لتكون سلاسل بوليمرية طويلة متشابكة مع بعضها وهو ما يسمى الرابط التشابكي (Crosslinking).

يحتوي راتنج الأبيوكسي على مجموعتين أو أكثر من مجاميع الأبيوكسайд (Epoxide) التي تتتألف من ذرة أكسجين مرتبطة مع ذرتين كاربون، اذ ترتبط مجموعة الأبيوكسي كيميائياً مع الجزيئات الأخرى لتشكيل شبكة ثلاثة الأبعاد ذات ربط تشابكي بعملية المعالجة (Curing).

يتميز راتنج الأبيوكسي بالصلادة والمقاومة الكيميائية العالية نسبياً فضلاً عن ذلك يمتلك هذا الراتنج قابلية التصاق نوعي عالي بسبب التركيب الكيميائي لهذا الراتنج والمتمثل في مجموعة الإثرات والهيدوكسيل والمجاميع القطبية التي تعطي متانة وقابلية التصاق عالية وتكتسب المادة صلادة وقوية، لذلك يستعمل في التطبيقات التي تتطلب إداءً وظيفياً عالياً.

تفاعل هذه الرااتجات مع المصلادات أثناء المعالجة ويكون التفاعل غير مصحوب بانبعاث الماء أو تحرر أي منتجات ثانوية مما يجعل التقلص الحجمي قليل جداً (أقل من 2%) وبالتالي يكتسب الرااتج قوة و خواص ميكانيكية عالية فضلاً عن ذلك تمتلك راتجات الأبيوكسي المعالجة متانة عالية نتيجة للبعد بين نقاط الربط التشابكي وجود السلسل الأليافانية المتكاملة [8].

### (Magnesium Oxide)

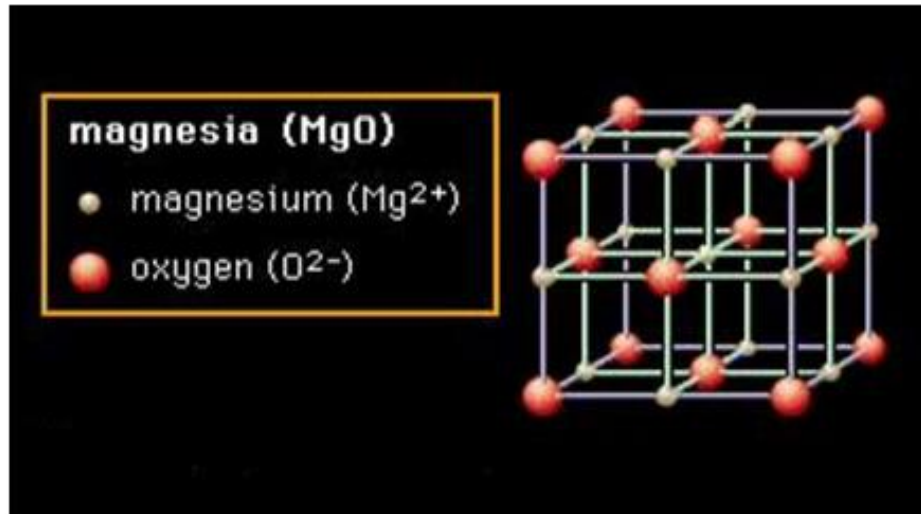
### (4-1) أوكسيد المغنيسيوم MgO

هو معدن مؤكسد متعدد الاستعمالات لما يتميز به من خواص كيميائية وفيزيائية فريدة إذ إنه يمتلك درجة انصهار عالية ( $2800^{\circ}\text{C}$ ) لذلك يكون مقاوم للدرجات العالية من الحرارة والتمدد المنخفض و مقاومته للتشقق فهو يستعمل في بطانة أفران المعادن والزجاج، ويمكن تحضير أوكسيد المغنيسيوم بعدة طرائق منها: التحلل الكيميائي الحراري (CSP) وطريقة محلول الغروي (Sol-Gel) وترسيب الأبخرة الكيميائية (CVD) وغيرها. وتعد طريقة محلول الغروي الطريقة الأكثر فاعلية للحصول على أوكسيد المغنيسيوم ( $\text{MgO}$ ) لكونها قليلة الكلفة وسهلة الاستعمال ويمكن أن تعطي مختلف الأشكال والأحجام لأكثر الأكسيد. أن حجم جسيمات أوكسيد المغنيسيوم لها تأثير إيجابي على الخواص الكيميائية والفيزيائية مثل الخواص التركيبية البصرية والمغناطيسية وغيرها وهناك عوامل تحسنأغلب هذه الخواص مثل الكلسنة بدرجات حرارة عالية والتركيز والحامض المستعمل كوقود [9]. والجدول (1-1) يبين بعض خواص ( $\text{MgO}$ ).

العديد من الباحثين اهتم بالوقت الحالي بتحضير ( $\text{MgO}$ ) النانوي نظراً لخصائصه الجديدة والفريدة وتطبيقاته المتعددة، إذ يمكن استعماله كمحفز للعديد من التفاعلات الكيميائية، وأيضاً يستعمل بعملية طلاء المعادن لمنع الصدأ ويمكن استعماله في مجال الطب والهندسة الإلكترونية ولله الفعالية العالية ضد الجراثيم والبكتيريا وكذلك الفيروسات وذلك لامتلاكه مساحة سطحية كبيرة كما أنه يمتلك تركيباً مكعباً مت مركز الأوجه (FCC) وثابت شبكة ( $a = 4.212 \text{ nm}$ ) [10] والشكل (2-1) يوضح التركيب البلوري لأوكسيد المغنيسيوم.

جدول (1-1) بعض خواص أوكسيد المغنيسيوم [11]

Property	Melting Point, $^{\circ}\text{C}$	Boiling Point, $^{\circ}\text{C}$	Density, $\text{g/cm}^3$	Color	Smell
VALUE	2800	3600	1.8	White	Odorless



الشكل (1-1) التركيب البلوري لأوكسيد المغسيوم (MgO) [12]

### (5-1) تقنيات تصنيع المواد النانوية

#### (Techniques of Fabrication of Nanomaterials)

هناك تقنيات عديدة لتصنيع المواد النانوية تم تقسيمها إلى قسمين رئيسيين : أحدهما يبدأ من الأعلى إلى الأدنى (Top-Down)، والتي فيها يتم تكسير المادة الأصلية (الكبيرة) شيئاً فشيئاً حتى الوصول إلى الحجم النانوي، ويتم هذا عن طريق عمليات مختلفة منها الحفر الضوئي، والقطع، والطحن وغيرها وبذلك يمكن الحصول على مركبات نانوية ذات تطبيقات الكترونية مهمة، أما التقنية الثانية فهي تبدأ من الأسفل للأعلى (Bottom-Up) اي بعكس التقنية الأولى اذ تبني المادة النانوية فيها انطلاقاً من الذرات والجزيئات وبشكل مرتب حتى نصل الشكل والحجم النانوي المطلوب وتميز بصغر حجم المواد الناتجة، والحصول على روابط قوية، وهذه التقنية غالباً ما تكون تقنيات كيميائية، مثل تقنية محلول الغروي [13 – 15].

#### (Sol- Gel Technology)

### (6-1) تقنية محلول الغروي

هي أسلوب كيميائي رطب ويمكن تسميته أيضاً بأنها عملية ترسيب محلول الكيميائي، ويمكن تحضيرها بعدة مراحل مثل التحليل (التميؤ) (Hydrolysis) والتثخين (الدبق) (Gelation) والبلمرة (Polymerizing) والتكثيف (Condensation) والتجفيف (Drying) استخدمت هذه الطريقة (Sol-gel) حديثاً في مجالات الهندسة خزف وسيراميك [16].

وتعد طريقة (Sol – gel) من أهم الطرق لتصنيع المواد النانوية إذ ينطوي عملها على الانتقال من نظام محلول الكيميائي (Sol) السائل إلى المرحلة الصلبة (gel)

والغرض منها تحضير المواد المتقدمة وبأشكال مختلفة مثل المواد المسمومة التي يسهل اخترافها وتسمى (أيرو - جل) (Aero- Gel) أو المساحيق ذات الجسيمات متاهية الصغر وهناك عدة عوامل يجب مراعاتها عند العمل بهذه الطريقة منها التحكم بدرجة الحموضة (pH) التي تعد أهم عامل لتجنب الترسيب، ولتشكيل هلام متجانس يمكن إضافة قاعدة أو حامض للمحلول، ويمكن التمييز بين عمليتين مختلفتين لتفاعل (Sol - gel) بالاعتماد على استخدام محلول أو مادة غروائية، في حال استخدام (Sol) وهي عملية تفريق الجزيئات الصلبة في السائل مما يؤدي إلى تعلق الجزيئات ويمكن القول بأنه عبارة عن محلول غروائي [17] (Colloidal) أما مادة (gel) الهلام أو الجلاتين الناتجة فهي تتتألف من جزيئات غروائية يمكن تحديدها والتي تم ربطها ببعضها البعض عبر القوى السطحية لتشكيل شبكة فيما بينها ، وفي حال استخدام محلول عادي يُعدُّ محلول الناتج مركبات معدنية عضوية (gel) وهي مادة جلاتينية صلبة تتراوح خصائصها من الضعف والطراوة إلى المثانة والقساوة وهي الحالة التي يكون فيها كل من السائل والصلب متفرقاً عن بعضه البعض ، ويمكن القول بأنها ذات شبكة صلبة ومستمرة ثلاثة الأبعاد أي بمعنى آخر عبارة عن مركب هلامي [18].

### ( Advantages of Sol- Gel Processes)

### أ) مزايا تقنية المحلول الغروي

من أهم مميزات هذه الطريقة [19,20]:

- عملية التلدين للمواد الناتجة بهذه الطريقة لا تحتاج إلى درجات حرارة عالية (200-600 °C).
- يمكن تشكيل المواد بسهولة إلى أشكال هندسية معقدة في حالة هلام.
- يمكن إنتاج مواد مختلفة عالية النقاء.
- يمكن أن توفر طريقة سهلة وفعالة واقتصادية لإنتاج طلاء ربط رقيق لتوفير التصاق ممتاز بين الطبقة العليا والركيزة المعدنية .
- يمكن تحضير جسيمات نانوية والسيطرة على تشكيل المسحوق.

### (Disadvantages of Sol- gel Process)

### ب) مساوى تقنية المحلول الغروي

من أهم مساوى هذه الطريقة [21]:

- أن المنتجات قد تحتوي على نسبة من الكربون وذلك عند استعمال المواد الكيميائية العضوية في الخطوات التحضيرية وهذا يمكن أن يؤدي إلى منع التكثيف عند التلبييد.
- تكون تكتلات تؤدي إلى بعض الصعوبات في العمل.

## (Literature Survey )

## (7-1) الدراسات السابقة

- درس الباحث (Hang et al.) سنة (2007) الحماية للحديد الكربوني الصلب من التآكل باستعمال راتنج الأبيوكسي التي تحتوي على الطين المعدل عضوياً، وهي عبارة عن نوع من الطين المعدنى يحتوى على كمية من المغنسيوم والصوديوم معالج بمركب عضوي المشتت في راتنج الأبيوكسي لتحسين حماية تآكل الحديد الكربوني.  
إذ بينت تحليلات (XRD) أن طبقات السليكات الفردية قد فصلت وتشتت في راتنج الأبيوكسي، وأن مقاومة التآكل للحديد الكربوني المطلي تم تحاليه بواسطة الطيف الكهروكيميائى لمقاومة التحليل الطيفي والطيف الكهرو كيميائى (Electrochemical Spectrum) ، إذ أظهرت الدراسة أن دمج الطين أو الطين المدعم مصفوفة الأبيوكسي يعمل على تحسين كبير في خصائص الطلاء، وإن مقاومة التآكل في الحديد المغطى برانج الأبيوكسي الذي يحتوى على الطين المدعم كانت أعلى من تلك التي لا تحتوى على الطين غير المعدل.[22]
- قام الباحث (Kadum et al.) سنة (2009) بدراسة تأثير الحامض ودرجة الحرارة على تآكل الصلب منخفض الكربون في وسط حامضي (HCl) إذ تناولت هذه الدراسة تفسير تأثير درجة الحرارة بتطبيق معادلة (Arrhenius) ، بينما تم تفسير تأثير تركيز الحامض باستخدام معادلات حركية تفاعلية، والتأثير المشترك لكل من الحرارة وتركيز الحامض باستخدام الانحدار غير الخطى، وقد بينت النتائج أن طاقة التنشيط (E) والطاقة الكامنة لـ (ΔH) تزداد بانخفاض تركيز الحامض وبالتالي انخفاض في معدلات التآكل، وإن قيمة طاقة الانتروربى (ΔS) تكون منخفضة مع زيادة تركيز الحامض وتشير إلى أن المركب الفعال كان أكثر انتظاماً [23].
- تمكن الباحث (زهير) سنة (2009) من دراسة تأثير درجة الحرارة على السلوك التآكلى للسبيكة (AL- 2Cu - 2Mg) في محلول الحامضي ، باستخدام طريقة الغمر البسيط في محلول حامضي (HCl) بنسبة 3% ، وقد أظهرت النتائج التي تم التوصل إليها من خلال دراسة تأثير الدرجة الحرارية على سلوك التآكل للسبيكة في محلول الحامضي زيادة واضحة في معدل التآكل مع ارتفاع الدرجة الحرارية للمحلول [24].

- قامت الباحثة (شيماء) سنة (2010) بدراسة تأثير إضافة البولي استر غير المشبع في السلوك التآكل للفولاذ واطئ الكربون في المحاليل التآكلية وذلك باستخدام طريقة الغمر البسيط في محاليل تآكلية (ملحية وحامضية)، وقد اثبتت النتائج أن معدل التآكل انخفض بشكل كبير وبكفاءة تثبيط وصلت إلى (96.4%) في المحاليل الحامضية و (93.7%) في المحاليل الملحية وذلك عند إضافة نسبة 1% [25].
- قامت الباحثة (Nadia Hammouda et al.) سنة (2011) بدراسة أساليب الحماية من التآكل بالخارصين المدعوم بالأيبوكسي في محلول المائي لكلوريد الصوديوم إذ تم استخدام الطريقة الكهروكيميائية (EIS) في نطاق تردد (10 KHz – 100 KHz) كطريقة كهروكيميائية رئيسة في دراسة سلوك الحماية للتآكل الخارصين مطلي بالأيبوكسي في محلول مائي ملحي لكلوريد الصوديوم، وقد اظهرت القياسات للتيار الكلفاني وللتيار متعدد أن تأثير الحماية الكاثودية للطلاء يستغرق بعض الوقت لتحقيقه، ويعزى فقدان الحماية الكاثودية إلى التأثير المزدوج لأنخفاض نسبة منطقة (الخارصين/ الحديد) بسبب تآكل الخارصين وفقدان الاتصال الكهربائي بين الخارصين وحبباته [26].
- استطاع الباحث (باسم) سنة (2011) من دراسة تأثير الملح المزدوج  $KAl(SO_4)_2 \cdot 12H_2O$  في سلوك التآكل للفولاذ واطئ الكاربون باستخدام طريقة الغمر البسيط في المحاليل المائية للملح المزدوج بنسب مختلفة وقد أظهرت النتائج بأن إضافة الملح المزدوج إلى الماء الاعتيادي يزيد معدل التآكل، كما انخفاض مقاومة التآكل بزيادة نسبته في محلول [27].
- قام الباحث (S. A. Ajeel et al.) سنة (2011) بدراسة (تأثير تركيز حامض الكبريتيك وحامض الهيدروكلوريك على مقاومة التآكل للصلب منخفض الكربون المحمي) إذ تم في هذا البحث تتبع سلوك التآكل للكربون محمي وغير محمي باستخدام الكربنة والطلاء بالكروم في تراكيز مختلفة لكل من ( $H_2SO_4$ ) و ( $HCl$ ) اذ استخدمت طريقة الفقدان بالوزن لتقدير معدل التآكل، وقد بينت النتائج أن معدل التآكل يزداد مع زيادة نسبة تركيز الحامض من (1– 5M) لنوع المحاليل الحامضية المستعملة، وبينت نتائج أن محلول ( $HCl$ ) أيضاً كان وسطاً تآكلياً أكثر تأثيراً من محلول ( $H_2SO_4$ ) في الظروف نفسها [28].

- قام الباحث (فراس) سنة (2012) بدراسة ( تقييم مقاومة التآكل لفولاذ متوسط الكربون باستخدام أساليب حماية مختلفة) إذ قام باستخدام طرق حماية مختلفة كالطلاء الكهربائي بعنصري الكروم والقصدير وكذلك استخدام المثبتات والحماية الكاثودية في أسلوب الأنود المصعدى وهو الخارصين جهد (V<sub>Zn</sub>= 0.76 V)، وقد بيّنت نتائج معدل التآكل بأن استخدام طريقي الطلاء وإضافة المثبتات تعطي نتائج جيدة في زيادة مقاومة التآكل في حين أن استعمال حماية الكاثودية اعطت نتائج إيجابية اعتماداً على نوع القطب المضي به [29].
- قام الباحثون ( بواس و مجموعته ) سنة (2012) بدراسة تطبيق بعض طرق الحماية على مقاومة التآكل الكهروكيميائي لفولاذ عالي الكربون CK80 إذ تم تحضير عينات من المعدن المستخدم بأبعاد ( cm<sup>3</sup> 1.5 × 1.5 × 0.2 ) لغرض اختبار التآكل ثم استخدام عدد من طرق الحماية منها الطلاء الكهربائي إذ تم الطلاء بعنصري الكروم والمنغنيز وكذلك استخدام المثبتات والحماية الكاثودية من أجل بيان تأثير هذه الطرائق على معدل التآكل الكهروكيميائي، ثم استخدام طريقة المجهاد الساكن في اختبار التآكل إذ تم إمرار تيار كهربائي بخلية كهربائية ويمثل قطب الموجب معدن أما قطب السالب بلاتين عند جهد تم تقديمه من خلال إمرار تيار كهربائي في دائرة مفتوحة وأن هذا الجهد تم موازنته مع الجهد للمعدن للسلسلة كهروكيميائية تم بعدها إغلاق الدائرة ومن ثم إمرار تيار عند هذا جهد مع زيادة تقدر ب ( 100+ - 100 ) وإيجاد تيار التآكل من خلال ممسكات التقاطع للقطب الأنودي والكافودي وفق طريقة ( Tafel ) وحساب معدل التآكل، ولوحظ أن جميع هذه الطرائق اسهمت في تقليل التآكل [30] .
- قام الباحثان ( خالد و شذى ) سنة (2012) بدراسة تحسين الموصفات الحرارية لمترافق الأبيوكسي ( EP-Taic Powder ) باستخدام تقنية التحليل الميكانيكي الحراري Thermo ( mechanical analysis ) ، إذ تم تحديد خواص مهمة للبوليمرات كدرجة انتقال الزجاج ( T<sub>g</sub> ) ونقطة الغليان ( T<sub>m</sub> ) وتأثيرات الاجهاد على ( T<sub>g</sub> ) ومعامل التمدد الحراري وقد أظهرت نتائج فحص درجة الانتقال الزجاج تحسن القيم وزيادة درجة الانتقال كلما زادت نسبة وجود مادة التآكل في المترافق البوليمر [31] .
- قام الباحث ( Yongchun, et al.) سنة (2013) تأثير اضافة تراكيز الالمنيوم النانوي في مقاومة التآكل لطلاء الابيوكسي. إذ جرى فحص الطلاء المترافق باستخدام اختبارات الغمر

ورش الملح. وتم تشخيص الطلاء باستخدام التحليل الطيفي بالممانعة الكهروكيميائية (Electrochemical impedance spectroscopy)، كذلك فقد اجريت الفحوصات التركيبية الأخرى كفحص حبيبات الأشعة السينية (XRD) واحد الصور المجهرية باستخدام جهاز (SEM) فضلاً عن فحص الـ (X-ray photoelectron spectroscopy) للعينات المعينة. فقد بيّنت نتائج الفحص أن نسبة اضافة (5%) من مسحوق الألمنيوم للأبيوكسي حسنة وبنحو ملحوظ مقاومة التآكل للطلاء المتراكب. ومن الجدير بالذكر أن هناك تأثيرين لإضافة مسحوق الألمنيوم الثانوي، الأول هو أن مسحوق الألمنيوم هو من سيتاكل أو لا حماية (Substrate) من التآكل، ومن ثم يحدث تشكّل لأوكسيد الألمنيوم وهيدروكسيد الألمنيوم كنتيجة لهذا التآكل وهذا الامر سيعمل على اعاقة انتقال الوسط الآكل للطلاء [32].

- قامت الباحثة (رشا) سنة (2013) بدراسة حماية التآكل لبعض الفلزات والسبائك بالماء المالح باستعمال طلاء بمواد نانوية، إذ تم دراسة تأثير مثبط لمواد نانوية جديدة وهي أوكسيد الخارصين وأوكسيد الألمنيوم وباستعمال جهاز مجهر ساكن تم الحصول على قيم جهد التآكل وقيم تيار التآكل والذي من خلاله تم حساب معدل التآكل لكل من العينات المغطاة وغير المغطاة، وأظهرت فحوصات مجهر القوة الذرية (AFM) والمجهر الماسح الضوئي (SEM) وحبوب الأشعة السينية (XRD) معلومات جيدة حول الجسيمات والأشكال وتم التوصل إلى أن بزيادة الدرجات الحرارية تؤدي إلى زيادة عالية بتيار تآكل [33].
- قام الباحثان (خالد ورفعت) سنة (2014) بدراسة الخواص الميكانيكية لمترافق (Epoxy – MgO) وذلك بتحضير مادة متراكبة ذات اساس بوليمرى بطريقة الصب اليدوي وقد حضرت المادة المتراكبة من راتنج الأبيوكسي كمادة اساس مدعم بمسحوق أوكسيد المغنسيوم (MgO) وبنسب وزنية مختلفة (0%, 5%, 10%, 15%, 20%, 25%) وقد أجرى اختبار الانحناء ثلاثي النقط للعينات المحضره من مادة الأبيوكسي Ep بعد اضافة دقائق المادة السيراميكية (MgO) بنسب وزنية مختلفة إذ اظهرت النتائج زيادة قيمة اجهاد الكسر وهذا يعود إلى قوة الترابط بين المادة الاساس والتقوية [34].

- قامت الباحثة (طيبة) سنة (2016) بدراسة تأثير المواد النانوية على الخصائص الفيزيائية لخلائط الأبيوكسي إذ حضرت خلائط بوليميرية مكونة من مطاط الأبيوكسي مع مطاط البولي بيوتان بنسب (95-5 %)، (90-10 %)، (85-15 %)، (80-20 %)، (75-25 %) إذ اظهرت النتائج العملية أن الخلائط المدعمة بأوكسيد النحاس النانوي تمتلك أفضل الخصائص في الظروف الاعتيادية بالموازنة مع بقية العينات المحضرية إذ كانت أعلى قيمة لمقاومة الصدمة والصلادة ومعامل يونك [35].
- درست الباحثة (نور) سنة (2016) تثبيط تآكل الفولاذ الكربوني في وسط حامضي باستعمال مستخلص أوراق النارنج إذ تم استخدام طريقة الفقدان بالوزن لحساب معدلات التآكل، وبينت النتائج أن معدل التآكل بوجود المادة المانعة يقل بزيادة تركيز المادة المانعة والعكس صحيح عند ثبوت درجة الحرارة [36].
- درس الباحث (محمد) سنة (2017) امكانية تثبيط التآكل في الانابيب النفطية اذ تم استعمال الحماية بطريقة طلاء متراكب بولي استر غير مشبع والمدعم بالكاولين عند نسب تدعيم وزنية مختلفة، اذ تم اختيار نسبة وزنية (20%) لانها تمثل نسبة مثالية من الخواص الميكانيكية الجيدة، واظهرت النتائج الفحوصات بان هنالك تحسناً بخواصها الميكانيكية وعزل حراري للطلاءات متراكبة للنمذج موازنة بالنماذج غير المدعمة لتوفير طبقة حماية للفولاذ من خطر التآكل[37].

### (Aim of Resarch )

### هدف البحث (1-8)

تهدف الدراسة الحالية الى تقليل او الحد من مخاطر تآكل الحديد الكربوني باستعمال طلاء حديث مكون من راتنج الأبيوكسي المدعم بأوكسيد المغنيسيوم ( $MgO$ ) ذو التركيب النانوي المحضر كيميائياً بطريقة محلول الغروي(Sol-Gel) ومن خلال حساب معدل التآكل عند ظروف حامضية متغيرة وتركيز ملحية متغيرة وعند درجات حرارية متغيرة ايضاً ودراسة بعض الخواص التركيبية والميكانيكية والحرارية لهذا الطلاء.

**الفصل الثاني**

**أكاذيب النظر**

## ( Introduction )

## (1-2) مقدمة

يتطرق هذا الفصل إلى الجانب النظري لموضوع البحث، إذ إن المفاهيم النظرية الواردة فيه سواء كانت بشكل علاقات رياضية أم اوضاحات علمية قد اعتمدت بشكل مباشر أو غير مباشر في توضيح الجانب العملي من البحث.

## (Corrosion)

## (2-2) التآكل

يعرف التآكل على أنه التفاعل الحاصل بين المعدن والمحيط الذي يؤدي إلى إحلال المعدن والتأثير بالخواص الكيميائية والفيزيائية [1]. أو يعرف بأنه فشل يصيب المعدن ينتج بسبب عوامل كيميائية تساعدها عوامل ميكانيكية متوفرة في الوسط الذي يعمل فيه المعدن. [38,39]، ويعرف بأنه عملية معكوسة لاستخلاص المعدن من خاماته أي عودته إلى أصله [4].

إن للمحيط دوراً كبيراً في حصول التآكل إذ أن قوانين علم الديناميكية الحرارية (Thermodynamic principles) تحدد ميل المعدن للتآكل في أي وسط ولكنها لا تستطيع أن تحدد معدل التآكل في هذا الوسط [40]. ويمكن تحديد ميل المعدن للتآكل في أي وسط ضمن المعادلة الآتية [41]:

$$\Delta G = -nFE \quad \dots \quad (1-2)$$

إذ إن

 $\Delta G$  = التغير في الطاقة الحرية (جول / مول)

n = عدد الإلكترونات المشتركة في التغيير

F = ثابت فراداي (96500 كولوم / مول)

E = جهد القطب للمعدن (فولت)

## (Types of Corrosion)

## (3-2) أنواع التآكل

يمكن تصنيف أهم أنواع التآكل التي تحصل للمواد إلى الأنواع التالية:-

## ( Uniform Corrosion )

## (1-3-2) التآكل المنتظم

هو من أكثر الأنواع شيوعاً إذ يتم التفاعل الكيميائي أو الألكتروكيميائي بانتظام على السطح المعرض للتآكل ويقل سمك المعدن نتيجة هذا التآكل ثم يفشل على سبيل المثال تآكل لوح سقف مصنوع من الحديد إذ يصدأ بشكل متساوي تقريباً على كافة مساحته السطحية، وهذا النوع من التآكل أقل خطورة من بقية الأنواع من الناحية التكنولوجية إذ بالإمكان تقدير عمر القطعة المعدنية أو الجزء الذي يتعرض للتآكل بدقة ومن الأمثلة عليه إحلال الفولاذ الكاربوني في حامض الهيدروكلوريك المخفف (HCL) وفقدان فلز الفضة لبريقه. [1,4,40]

ويمكن منع أو اختزال التآكل المنظم كالتالي:  
اختيار المادة المناسبة وتغطيات والموانع والحماية الكاثودية [4]

### (Galvanic Corrosion) التآكل الكلفاني (التآكل بين معدنين)

هو تآكل موضعي يعود سببه إلى وجود معدنين مختلفين يكونان على تماس مع بعضهما البعض مع وجود وسط ناقل للكهرباء إذ إن المعدن الأقل مقاومة هو القطب الموجب (Anode) والأكثر مقاومة هو السالب (Cathode) في هذه الحالة يزداد معدل تآكل أحدهما ويقل معدل تآكل الآخر وذلك بالنسبة إلى معدل تآكل كل منها عندما يتعرضان منفردين إلى هذا الوسط. إذ يكون القطب الموجب أكثر تآكلًا من القطب السالب وفي هذه الحالة يكون تآكل القطب السالب منخفض أو معدوماً[4].

أن وجود الفرق في جهد الكهربائي في كلا المعدنين يؤدي إلى نشوء تيار كلفاني الذي يكون السبب في التآكل من هذا النوع [4,41,42,43] ، إذ تؤثر مساحة القطبين بالتأكل ويفضل أن تكون مساحة (Cathode) صغيرة جداً بالنسبة لمساحة (Anode)[44].

يمكن ملاحظة الفعل الكلفاني (Galvanic – Action) وذلك بحدوث زيادة واضحة في معدل التآكل بالقرب من الوصلات بين فلزين مختلفين. ومثال على هذا النوع من التآكل الذي يحدث لخزانات المياه الحارة التي تصنع من الفولاذ ومربوطة بانبوب من النحاس عندما تكون موصلة بسدادات من الطرفين[42].

### (Crevice Corrosion) التآكل الشقى (الصدعي)

هو تآكل موضعي عنيف في الشقوق أو المساحات المستترة (محجوبة عن الأنظار) وغالباً ما يتسبب هذا النوع من التآكل عن كميات قليلة من المحلول حول الشقوق وحول وصلات اللحام التراكمي، وترسبات السطوح، والشقوق الموجودة تحت رؤوس البراغي ومسامير البرشام، إن الترسبات التي تؤدي للتآكل الموضعي مثل الفاذورات، الرمل ونواتج التآكل وبعض الأجسام الصلبة، إذ تعمل الترسبات كقطاء وتكون حالة راكدة أو ساكنة تحته أو بجانبه، وقد يكون الترسيب هو ناتج تآكلي نفذ وترسب إلى الأسفل، وينشأ هذا النوع من التآكل بسبب سوء التصميم مع وجود اختلاف في طبيعة الوسط في المنطقة المتآكلة عن بقية أجزاء سطح المعدن مسبباً نشوء خلايا تركيزية متباينة ينشأ عنها قطباً التآكل من نفس المعدن ومثال ذلك تآكل المنطقة المغطاة بالطين أو الترسبات على بعض المعدن [1,4,43].

وهناك نوع من التآكل الشقى يسمى التآكل الخيطي (الشعيري)(Fusiform Corrosion) ويحدث هذا النوع من التآكل عموماً تحت الطبقات الحامية (Protective films) للمعدن لذلك فهو في بعض الأحيان يسمى التآكل تحت الطبقي (Under Films Corrosion) وافضل مثال على هذا النوع من التآكل سطوح المطلية بالمينا أو بالطلاء الزجاجي للعلب المعدنية المعروضه للهواء الخارجي كالعلب المعدنية التي تستخدم في حفظ الطعام.

**(4-3-2) التآكل النقرى**

هو عبارة عن تآكل موضعي شديد، وينتج عنه ثقوب صغيرة نسبياً في المعدن وأحياناً تكون هذه النقر معزولة أو قريبة من بعضها مكونة ما يشبه سطح خشن أو مسامية سطحية.

ويعرف النقر (pit) عادة بأنه فراغ أو فتحة بعمق يساوي أقل من قطر الفتحة الموجدة في السطح ويُعد التتقير بصورة عامة نوعاً من أنواع التآكل الهدام فالأجهزة تفشل بسبب عملية التتقير الناتجة من التآكل بالتقير والتي تسبب خسارة نسبة بسيطة من وزن البناء أو تركيب داخلي للأجهزة وليس من السهل الكشف عن هذه النقر لأن أحجامها قليلة وغالباً ما نجدها مغطاة بنواتج التآكل، ويختلف أعداد وأعماق هذه النقر ولا يمكن تقدير التأثير الخطير كمياً لهذه النقر بسهولة ومن مخاطر هذا النوع من التآكل غالباً ما يحدث بدون أي تحذير مسبق مطلق ومعظم عمليات الفشل نتيجة التتقير. ويعزى إلى وجود كلوريد أو كلورين ومثال على هذا تضرر الألمنيوم أو الفولاذ المقاوم للصدأ في محاليل الالومينات بتاثير الكلورين [1,4,41,45].

إن عملية تصليب السطح لها تأثير واضح على التآكل بالتقير، فالسطح المصقول يكون له مقاومة احسن ضد التآكل بالتقير عن السطح الذي به رواسب أو خدوش، الفولاذ العادي احسن مقاومة للتآكل بالتقير عن فولاذ مقاوم للصدأ، على الرغم من إن المقاومة العامة لتأكل الفولاذ المقاوم للصدأ افضل بكثير [4].

**Inlergranular Corrosion****(5-3-2) التآكل بين الحبيبات**

هو تآكل موضعي يحصل على طول منطقة حدود الحبيبات إذ تكون المنطقة أكثر فعالية وعرضه للتآكل ويعرف بأنه هجوم موضعي أو محلي بالقرب من الحدود الحبيبية مصحوباً بتأكل قليل نسبياً في الحبيبات نفسها [4].

ويحصل هذا النوع من التآكل نظراً لوجود اختلاف بخواصه الميتالورجية (Metallurgical) لمنطقة عن مناطق أخرى فتكون حدود الحبيبات أكثر نشاط لتفاعل مع الوسط من مناطق الحبيبات نفسها، وأن التآكل بين الحبيبات يسبب انفصال الحبيبات وبالتالي تفسخ السبيكة [4,42,46].

وينتج هذا التآكل من [38].

- ١- إنزال الذرات المذابة عند الحدود الحبيبية.
- ٢- إرتقاء أو إنخفاض نسبة أحد عناصر السبيكة في مناطق معينة من حدود الحبيبات.
- ٣- وجود شوائب عند حدودها الحبيبية.

**(Erosion Corrosion)****(6-3-2) التآكل بالتعريه**

يعرف على انه زيادة معدل التآكل (أو التحلل) نتيجة الحركة النسبية بين الوسط التآكري وسطح المعدن ويتضمن هذا النوع، السوفان والقشط إذ يزال المعدن من السطح على صورة ايونات مذابة أو يكون نواتج تآكليه صلدة إذ ينحرف ميكانيكاً بعيداً عن سطح المعدن، والتآكل بالتعريه يكون على شكل حفر واحد يد تموجات وثقوب ومثال على ذلك التآكل الحاصل في انبوب مبادل حراري يتعامل مع الماء، أو انفجار فقاعات بخار الماء على سطح المعدن أو التآكل بسبب الحركة الاهتزازية بين سطحي المعدن واوساط التآكليه التي تسبب التآكل بالتعريه كثيرة منها الغازات والمحاليل المذابة والمواد العضوية والمعادن المصهورة. وتعُد الاجسام الصلبة العالقة في السوائل عوامل مساعدة لحدوث هذا النوع من التآكل [1].

والعوامل التي تؤثر على التآكل بالتعريه هي : [4,39,47]

**١ - تكوين الطبقات أو الاغشية السطحية ( Formation of Surface Films ) :**

يظهر الفولاذ المقاوم للصدأ والرصاص والفولاذ الكاربوني تحت ظروف معينة ميلاً للتآكل بالتعريه، والتيتانيوم معدن نشط ولكنه مقاوم لهذا النوع من التآكل في كثير من الاوساط بسبب ثبات طبقة أوكسيده ( $TiO_2$ ) وهو يظهر مقاومة ممتازة لماء البحر ولمحاليل الكلوريد ولأبخرة حامض النترريك أيضاً.

**٢ - سرعة محلول ( Velocity of Solution ) :**

تلعب سرعة محلول دوراً مهماً في هذا النوع من التآكل وبصورة عامة فإن زيادة السرعة تسبب زيادة في معدل التآكل ويمكن حدوث التعريه في المعادن والسبائك المقاومة للتآكل بشكل عام خاصة عند السرعات المنخفضة وزيادة السرعة تقلل تأثير التآكل بالتعريه لهذه المعادن والسبائك إذ تزيد كفاءة الموانع بامداد سطح المعدن بالكيميات بمعدل عالي وفي بعض الحالات ايضاً السرعات العالية يمكن ان تقلل من معدل التآكل يمنع تسريب القاذورات او الاوساخ التي تسبب التآكل الشقي.

**٣ - الاضطراب ( Turbulence ) :**

يميل الاضطراب إلى الاسراع بالفشل التآكري الناتج عن التآكل بالتعريه والاضطراب يسبب اثاره كثيرة للسائل عند سطح المعدن عنه في حالة السريان الطبقي (laminar flow) مما ينتج التصاقاً بين المعدن والوسط المحيط به مما يؤدي زيادة سرعة تآكل بالتعريه.

**٤- الارتطام (Impingement)**

يمكن حدوث الفشل في انحاءات أنابيب المياه إذ يفشل المعدن عندما يرغم الماء على تغيير اتجاه السريان وهناك أمثلة كثيرة مثل ريش تربين المياه والانحاءات والوصلات على شكل الحرف (T).

**٥- التأثير الكلفاني (Galvanic Effect)**

يمكن أن تؤثر الخلية الكلفانية في التآكل بالتعريمة عندما يوصل معدنان غير متشابهان في نظام سرياني.

**٦- طبيعة المعدن أو السبيكة (Nature of metal or Alloy) :**

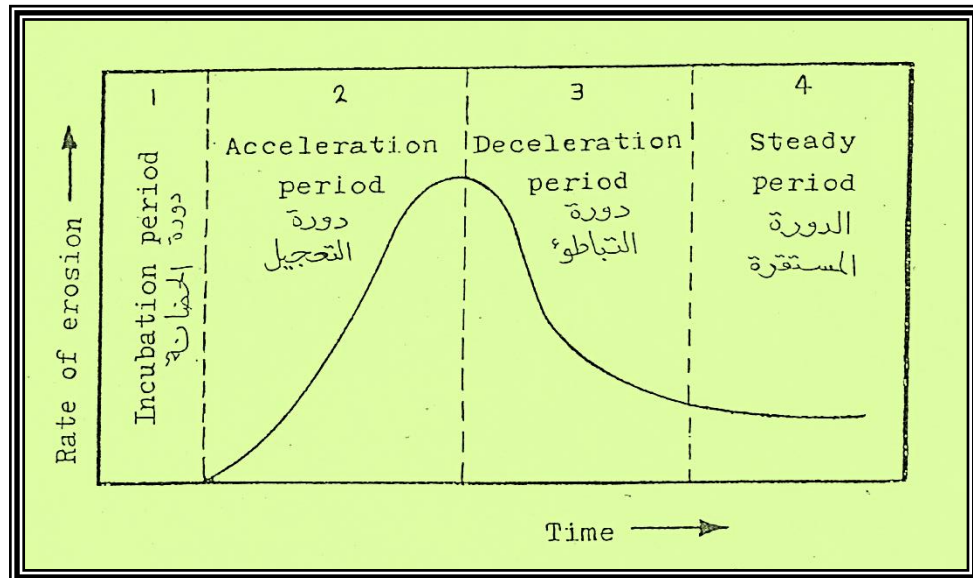
تؤثر العوامل في مقاومة التآكل والتركيب الكيميائي والصلادة وماضي المعدن أو السبيكة (Metallurgical History) للمعادن والسبائك على مقاومتها للتآكل بالتعريمة، المعادن اللينة (الطريقة) تتعرض أكثر للتآكل بالتعريمة إذ أنها تتأثر بشدة بالاحتكاك الميكانيكي مع أن الصلادة تعد خاصية جيدة لمقاومة الاحتكاك الكيميائي إلا أنها قد لا تلعب نفس الدور بخصوص التآكل بالتعريمة [1].

**هناك عدة أساليب لتفادي أو اختزال التآكل بالتعريمة أهمها:**

- ١- اختيار المادة التي تظهر مقاومة أفضل.
- ٢- الحماية الكاثودية.
- ٣- سيطرة على الوسط المحيط.
- ٤- الطلاء أو التغطية .

وتعد كل الطرائق السابقة المذكورة غير اقتصادية لعدة أسباب لذا فان اختيار الطريقة المفضلة تعتمد على ظروفه المحيطة، إن الأوساط التآكلية التي تسبب التآكل بالتعريمة كثيرة أهمها الغازات، المحاليل المذابة، المواد العضوية، المعادن المصهرة . وتعود الأجسام الصلبة العالقة بالسوائل عوامل مساعدة لحدوثه. أما الأجزاء التي تتعرض لهذا النوع من التآكل مثل أنابيب المبادرات الحرارية ، ريش التوربين ، فتحات مجاري المياه، أجهزة معرضة لرذاذ وغيرها [4].

الشكل (1-2) يوضح العلاقة بين معدل التآكل والزمن وكما مبين بالشكل هناك أربع مناطق في المنحني هي فترة التريث يتبعها تعجيل معدل الفقدان حتى يصل إلى القيمة العليا ثم يبدأ بالانخفاض والتباطيء إلى أن يصل إلى مرحلة الاستقرار [47,48].



الشكل (2-1) : منحنى (معدل التعرية – الزمن ) [36].

### (Stress Corrosion)

### 7-3-2) التآكل الجهدى

يسbib التآكل الجهدى التلف في المعادن عالية المقاومة وينتج التلف نتيجة لحدوث ما يسمى تشغقات التآكل الجهدى وتنتج هذه الشغقق نتائج التأثير المزدوج والمترافق من لجهد الشد مع توفر محبيط أو وسط يساعد على التآكل [4].

أن التأثير المترافق للجهد والتآكل ينتج مخاطر كافية للتلف للمواد والمنشآت كما ان هذا التزامن له تأثير سلبي بالغ جداً على الخواص الميكانيكية يتجاوز بكثير تأثير احد العاملين منفرداً ومن بعض الامثلة على الفشل نتيجة التآكل الجهدى [4,39]:

- ١- التقصف الكاوي (Caustic Embroilment) لأن لوح المراجل المعرضة للجهود أثناء الصدمة مع توفر تركيز عالي لأيون الهيدروكسيل.
- ٢- فشل سبائك المعادن النبيلة.
- ٣- فشل سبائك الالمنيوم.
- ٤- الفشل الموسمي الآني : سبائك الالفا براص (Season cracking).
- ٥- الفشل بالتآكل الجهدى لسبائك التيتانيوم والمغنيسيوم.
- ٦- الفشل نتيجة التآكل الجهدى خلال الحبيبات للفولاذ المقاوم للصدأ.

### ٨-٣-٢) التأكيل بالحياة المجهريّة

هو التأكل الناتج عن نشاط وحركة احياء مجهرية Micro-organisms وكمثال على ذلك النشاط البكتيري في ماء البحر والذي يمكن أن يؤدي إلى زيادة كبريتيد الهيدروجين ( $H_2S$ ) المذاب في الماء وهذا بدوره يؤدي لمجموعة من تأثيرات تآكلية [3,40].

## (Corrosion Damage)

أضرار التأكيل (4-2)

ان للتآكل أضرار كثيرة ومتعددة ذات تأثير سلبي على السلامة وكفاءة عمل الاجهزة أو تركيبها تكون غالباً أكثر أهمية من فقدان البسيط في ذرة المعدن، فالفشل يكون بأشكال مختلفة ومن ثم الاحتياج إلى توفير بدائل تكون عادةً غالية الثمن .

: يمكن تلخيص التأثيرات المؤذية للتأكل بما يلي [49,50]:

- ١- التلف الميكانيكي للمضخات والصمامات، ...الخ، أو اعقة الانابيب (Pipes) بواسطة نواتج التآكل الصلبة.
  - ٢- التقليل من قيمة البضائع نتيجة تدهور مظهرها .
  - ٣- ثقب الانابيب والاواعية ومن ثم تسرب محتوياتها والتي من المحتمل ان تلوث المحيط، مثل مياه البحر الاكالة ممكן ان تدخل المراجل أو محطات الطاقة.
  - ٤- تلوث الموائع (السوائل والغازات) في الانابيب والاواعية الناقلة لها بكميات صغيرة من معادن ثقيلة بسبب التسرب بفعل التآكل.
  - ٥- الأخطار والجروح التي تصيب الانسان بسبب فشل لتراكيب (وحدات) أو عطلها كما في السيارات والطائرات والجسور.....الخ.
  - ٦- التقليل في سمك المعدن مما يعمل على تقليل المقاومة الميكانيكية للمعدن ومن ثم فشل الوحدة أو عطلها.

# (Mechanism of Corrosion)

(5-2) آلية حدوث التأكيل

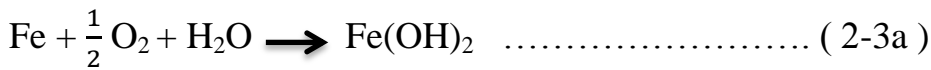
السبب الرئيسي في التآكل هو عدم ثبات أو استقرار المعادن في حالتها النقية وبسبب تأثير الطاقة الحرجة (Free Energy) (حالة الاستقرار هي أقل طاقة حرجة) فإن المعادن تميل للعودة إلى حالتها الأصلية من خلال عملية التآكل. لتوسيع أنواع التآكل هناك جملة تفاعلات كيميائية وهي :

- ١- اتحاد معدن فلزي بمادة لا فلزية من غير اشتراك الماء بالتفاعل كاتحاد حديد أو فولاذ بهواء جاف (الاوكسجين) عند درجات حرارية عالية.

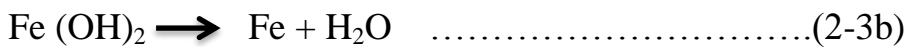


ويمكن أيضاً أن يتكون أوكسيد الحديد (Fe<sub>2</sub>O<sub>3</sub>) تحت ظروف معينة.

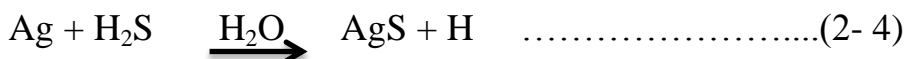
٢- اتحاد الفلز مع الاوكسجين مع وجود الماء مثل صدأ الحديد في ظروف درجات الحرارة الاعتيادية.



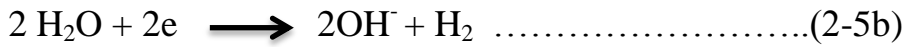
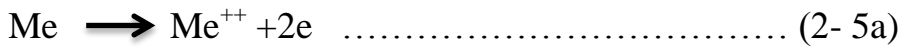
وغالباً ما يتحلل هيدروكسيد الحديدوز ( $\text{Fe(OH)}_2$ ) إلى الاوكسيد المناسب  $\text{FeO}$  أو  $(\text{Fe}_2\text{O}_3)$  حسب الظروف السائدة.



٣- اتحاد الفلز بالحومض والمحاليل الحامضية بإزاحة الهيدروجين مثل اتحاد الحديد مع حامض الكبريتيك وتصاعد الهيدروجين أو بتعرض الفضة لكبريتيد الهيدروجين مع وجود الماء وقدان بريقها.



٤- اتحاد الفلز مع الماء وإزاحة الهيدروجين



٥- اتحاد فلز مع محلول ملحي بإزاحة فلز معين



إذ ( $\text{Me}$ ) تمثل فلز و ( $\text{Me}^1$ ) تمثل فلز آخر.

كغم حديد في محلول ( $\text{CuSO}_4$ ) إذ أن ( $\text{Cu}$ ) يذوب الثاني في محلول [4]

## 6-2 ) العوامل الخارجية المؤثرة في عملية التآكل

### (External Factors Affecting Corrosion Process)

هناك عوامل خارجية تؤثر في عملية التآكل في الأوساط المختلفة، فقد تزيد من معدلات التآكل

وهذه العوامل هي [4,5]:

#### (Effect Of Surface preparation)

#### 1-6-2) تأثير تجهيز السطح

إن خشونة ونعومة السطح تؤثر وبشكل واضح في معدلات التآكل، وهناك بعض الطرائق لتجهيز السطح، كعمليات تشغيل وتتضمن تنعيم التي تزيد من معدلات تآكل للمعادن المختلفة، وإن كانت تكون أكثر تأثيراً في السبائك منها في المعادن.

ويتم أيضاً تنظيف السطح بمحلول تنظيف، وعند احتواء محلول التنظيف على أيونات الفلوريد، تؤثر بشكل ملحوظ في معدلات التآكل، فوجود آثار الفلوريد في الماء عند الدرجات الحرارية العالية يؤدي إلى زيادة معدلات التآكل أو بمعنى آخر مقاومة التآكل ضعيفة.

للشوائب الأخرى غير الفلوريد تأثير خطير على معدلات التآكل للمعادن المختلفة، فعلى سبيل المثال كميات قليلة جداً من خليط أملاح النترات والكلوريد أو البروميد يؤدي إلى التآكل داخل الحبيبات نفسها (التآكل خلال الحبيبات) (Tran crystalline) وخليط أملاح النترات والبروميد يؤدي إلى الفشل التآكلي الجهي على حدود الحبيبات سواء في الهواء أو الأوكسجين أو بخار ذو ضغط منخفض. وقد أثبتت التجارب أن أغلب المعادن المشغلة تتأكل أبطأ من المعادن التي تغمس في محليل التنظيف.

### (Effect of pH-Value) (2-6-2) تأثير قيمة الحامضية والقلوية

لا تعتمد معدلات التآكل لأغلب السباائك على قيمة الحامضية والقلوية (pH-Value) إذا كانت تقع خارج النطاق من (12-1) مع وجود حواضن النتريل والكبريتيك وهيدروكسيد الامونيوم والبوتاسيوم، لكن هيدروكسيد الليثيوم، ذو قيمة حامضية وقلوية تساوي [14]، له تأثير قوي على مقاومة التآكل، أيضاً هيدروكسيد البوتاسيوم له تأثير ولكن أقل بكثير نظراً لأن الليثيوم يزيد نسبة الفراغات من الأوكسيد.

اما حامض الهيدروكلوريك فيسبب انهيار طبقة الاوكسيد ويؤدي إلى تآكل داخل الحبيبات (Tran crystalline) وبصفة خاصة عند درجات حرارة تقع بين °C (200-250)، اما حامض الكبريتيك والنتريل فتأثيرها أقل من حامض الهيدروكلوريك.

### (Effect of Pressure) (3-6-2) تأثير الضغط

لا يؤثر الضغط المسلط في المعادن والسبائك المعرضة للتآكل في الماء تأثيراً ملحوظاً على معدلات التآكل الأولية وخاصة لدى درجات الحرارة إلى حوالي °C (300) ولكن عند ارتفاع درجة الحرارة فوق °C (450) واكثر فإن زيادة الضغط يزيد معدل التآكل، وكما يحدث ذلك في سباائك الزركانيوم إذ يؤثر ضغط البخار في عملية تآكل سباائك الزركانيوم من منطقة إلى منطقة أخرى في المعادن، ويكون هذا التأثير كبيراً في بداية التآكل، ويقل التأثير في المنطقة ما بعد التحول (Transition) من قانون القطع المكافئ البسيط إلى القانون الخطي لنمو طبقة الاوكسيد.

## (4-6-2) تأثير الأشعاع

يتكون الأشعاع في المادة من جسيمات خفيفة وجسيمات ثقيلة، فالخفيفة تشكل أشعاعات بيتا (الكترونات) ( $\beta$ -rays) وأشعاعات كاما (أشعاعات كهرومغناطيسية) ( $\gamma$ -Rays) والجسيمات الثقيلة كجسيمات الفا ( $\alpha$ ) (نوبيات الهيليوم) (He-Nuclei) والنيوترونات عديمة الشحنة الكهربائية وشظايا الانشطار النووي وقد أثبتت التجارب أن عملية التآكل تتأثر بالإشعاع النيترولي مع وجود الأوكسجين الحر (Free Oxygen) في الماء فتزداد معدلات التآكل في العديد من المعادن.

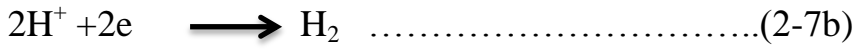
## (Rusting)

## (7-2) الصدأ

ت تكون طبقة رقيقة من الأوكسيد الواقي على سطح حديد الصلب المعتدل المصقول وذلك عند تعرض السطح إلى الهواء النقي الجاف، وتصبح هذه الطبقة غير واقية عند تعرض السطح للأكتروليات وأنها تتحطم في الهواء والماء والتربة، فالتفاعل المصعدى في عملية الصدأ هو :



والمحاليل التي تخلو من الهواء يشمل تفاعل مهبطي على:



وهذا التفاعل يحدث بسرعة في الحوامض ولكن ببطء في المحاليل المتعادلة والقاعدية.

أما في وجود الأوكسجين فإن التفاعل الذي يتم في الأوساط المتعادلة والقاعدية هو :



وهذا هو الشكل العام للتفاعل المهبطي الذي يتم في معظم الأجواء وأيونات الهيدروكسيد لا تثبت أن تتفاعل مع أيونات الحديد لتكوين هيدروكسيد الحديد كما في :



وهذا يعني تأكسداً إلى ( $\text{FeOH}_3$ ) اذ يمثل صورة بسيطة للصدأ، ويتحول الهيدروكسيد هذا إلى ( $\text{Fe}_2\text{O}_3 \cdot \text{H}_2\text{O}$ ) الذي يمثل الناتج النهائي للصدأ البنمي المائل للأحمرار . ويكون هذا المركب بأطوار بلورية مختلفة لعل أكثرها شيوعاً هو نوع الفا ( $\alpha$ ).

ورغم أن الرطوبة لها دورها المؤثر في عملية الصدأ إلا أن الشوائب الموجودة في الهواء لها دور أكبر في العملية وأنها هي التي تحدد سرعة حدوث الصدأ في الجو الاعتيادي ، ولعل من أكثر تلك الشوائب ضرراً هي ثنائي أوكسيد الكبريت ( $\text{SO}_2$ ) والكلوريدات وأملاح الأمونيوم ، ولا يحدث الصدأ بشكل محسوس في غياب تلك الشوائب وغيرها مما كانت نسبة الرطوبة عالية في الهواء [5].

## (Corrosion Protection Methods)

## (8-2) اساليب الحماية من التآكل

نتيجة للكثير من البحوث والدراسات تم التوصل إلى بعض الاساليب الكفيلة بحماية المعادن من التآكل هذه الطرق يمكن تلخيصها بما يأتي:

## (Use of Corrosion Inhibitors)

## (1-8-2) استخدام مثبطات التآكل

التآكل لا يمكن ايقافه نهائياً، إلا ان هناك طرائق للوقاية منه أو تقليل سرعة حدوثه إلى اقل سرعة ممكنة وذلك بواسطة اضافة كميات صغيرة من مواد خاصة تدعى المثبطات [4] ومثبطات التآكل: هي مواد كيميائية عند اضافتها بمقادير قليلة إلى الوسط فإنها تتعرض لتدفق الشحنات (الكترون أو ايون) المسيبة للتآكل إذ تعيق أو تزيل هذا التآكل [51].

ويمكن تعريفها على انها مواد كيميائية تتفاعل مع السطوح المعدنية أو مع الوسط الذي تتعرض له هذه السطوح فتعطي هذه السطوح مستويات حماية اكيدة من التآكل، أو يمكن تعريفها على انها مواد كيميائية تضاف بكميات قليلة جداً إلى محیط التآكل فتعمل على تثبيط تفاعل التآكل ويفل تبعاً لذلك تيار التآكل بدرجة كبيرة [5,52].

وتقوم المثبطات بتقليل التآكل من خلال :

- ١ - زيادة مقاومة كهربائية للسطح.
- ٢ - زيادة سلوكيات الاستقطاب.
- ٣ - تقليل حركة أو انتشار الايونات إلى السطح.

ومن استخداماتها: مولدات البخار، تصنیع الغاز، النفط، وحدات ذات تكرير مختلفة، انظمة التبريد، خطوط الانابيب والعمليات الكيميائية [53] .

## (Types of Corrosion Inhibitors)

## (1-1-8-2) انواع مثبطات التآكل.

توجد مثبطات التآكل على عدة انواع من اهمها [51- 54] :

## (Anodic Inhibitors)

## • مثبطات مصدعية

ان التثبيط المصعدی هو الطريقة الشائعة التي تقلل من تأكسد المعادن (تثبيط العملية المصعدية anodic process) اي تمنع نصف تفاعل الاكسدة. وتكون المثبطات المصعدية عبارة عن املاح غير عضوية مثل الكرومات والفوسفات وبعض المركبات العضوية المحتوية على النيتروجين والكبريت.

**(Cathodic Inhibitors)****• مثبطات مهبطية**

وهي تعترض تفاعلات الاختزال الحادثة عند المهبط ، وتكون المثبطات المهبطية عبارة عن املاح معدنية مثل املاح المغنسيوم، الخارصين والنikel.

**(Mixed – effect inhibitors)****• مثبطات ذات الطبيعة المزدوجة**

وهي تثبط العمليتين معاً (المهبطية والمصدعية).

**(Method of Action of Inhibitors)****2-1-8-2) طريقة عمل المثبطات**

- تؤدي بعض المثبطات إلى رفع فرق جهد الهيدروجين ( $nH^-$ ) على سطح الكاثود فيتوقف التفاعل الكاثودي ( $2H^+ + 2e^- \rightarrow H_2$ ) إلى حد ما وبالتالي سيتوقف التفاعل.

- بعض المثبطات تغطي سطح الكاثود أو الانود بتكوين طبقة رقيقة (forming a film) وتعزل المعدن عن وسط التآكل.

- بعض المركبات العضوية القطبية ( Certain polar organic compounds ) يحدث لها امتصار قوي على سطح المعدن وتحميء من التآكل [52].

**(Cathodic Protection )****2-8-2) الحماية الكاثودية (المهبطية)**

تمت الحماية الكاثودية بواسطة أجبار (by forcing) المعدن ليصبح مهبطاً بدلاً من كونه مصدعاً، إذ تعمل على تغيير الجهد للمعدن المتآكل إذ يقل معدل تآكله [5]. مفيدة لحالات تآكل الذي يصيب معدات معدنية التي تقع في تطاس مع الأرض كالأنابيب التي تدفن في الأرض أو التي تمد على سطح الأرض فيتم في هذه الطريقة جعل الفلز المراد حمايته مهبطاً قياسياً بمعدن آخر كالكرافت الذي يؤمن مع المهبط دائرة كهربائية.

وتحتاج الحماية بأمرار تيار مباشر خارجي في الدائرة يفيينا هذا التيار في جعل تفاعلات التي تم عند المهبط (حماية الفلز المراد) تفاعلات اختزال مهبطيه [51].

**(Anodic Protection )****3-8-2) الحماية الأنودية (المصدعية)**

وتعتمد هذه الطريقة على تغيير جهد تآكل الفلز إلى قيمة تقع ضمن مدى السلبية (passivity) أو ضمن مدى الحصانه (Immunity) والأسلوب في الحماية من شأنه اختزال تيار التآكل ( أي سرعة التآكل) من التيار السلبي إلى تيار حصانه وهي قيم صغيرة أو معدومة، تقل بذلك أو تتعدم سرعة التآكل [51].

## (4-8-2) اختيار المعدن أو السبيكة المناسبة (Selection of Proper Metal or Alloy )

### (Pure Metals )

### (1-4-8-2) المعادن النقيّة

المعادن النقيّة بصورة عامة بمقاومة أفضل ضد التآكل من المعادن غير النقيّة أي التي قد تحتوي على بعض الشوائب او العناصر الأخرى الا أنه من عيوب المعادن لكون ثمنها غالى الثمن ولكنها تمتاز بخواص ميكانيكية مثل الصلادة والمقاومة منخفضة نسبياً، ومن الأمثلة على المعادن المستعملة في حالتها النقيّة هي معادن الألمنيوم ، الزركونيوم والتitanium فضلاً عن الذهب[4].

### (Alloys )

### (2-4-8-2) السبائك

تمتاز السبائك المعدنية وخاصة سبائك المحاليل الجامدة المتجلسة (Homogeneous Solid Solution) والتي تتكون من طور واحد (Single Phase) أكثر مقاومة ضد التآكل من السبائك التي تتكون من أكثر من طور واحد او تلك التي تحوي طوراً ثانوياً أو مكونات مجهرية دقيقة فإن وجود طورين مختلفين جنباً إلى جنب في السبيكة نفسها يؤدي إلى تكوين خلايا تآكل لدى توفر المحلول الموصل للكهربائية او الالكترولايت[4].

فالطور ذو فرق الجهد الأوطأ سوف يتصرف كقطب موجب ويتحلل أو يذوب مؤدياً بذلك إلى تآكل سطح السبيكة بالالتقز (Pitting)، كلما زاد التباين بفرق جهد بين الطورين كلما زادت سرعة التآكل وتتحفظ المقاومة ضد التآكل بشكل يبلغ لدى انزعال أو وجود أحد الطورين عند حدود الحبيبات وخاصة تكون هذا الطور هو لقطب الموجب تجاه بقية السبيكة [5].

### (Coating and Painting)

### (5-8 -2) الطلاء والأصباغ

إن الهدف من طلاء أو صبغ عزل المعدن عن محيط خارجي فيطلق على الفلز بمواد مثل متعددات الجزيئات (Polymers) والمواد العضوية فتتكون طبقة جيدة الالتصاق بسطح الفلز عازلة للمحيط الخارجي عن السطح الخارجي للفلز ويتم ذلك عادة اما باستخدام الفرش (Brushing) أو الرش (Spraying) ، أو الغمر (Dipping) وهناك عدة طرائق للطلاء منها الطلاء الكهربائي (Electroplating) والطلاء الحراري (Thermal Coating) وفي عملية الطلاء الحراري تستخدم قاذفات لهب خاصة يتم بها دفع غبار الفلزات أو اكاسيد فلزية على سطح الفلز المراد حمايته وعندما تبرد الفلزات أو الاكاسيد الفلزية على السطح تتكون طبقة الحماية عليه ولعل من الطرائق الفعالة الأخرى في الحماية من التآكل طريقة الطلاء السيراميكي (Enameling) وهي طريقة مكافحة لكن فعالة جداً ولا سيما عندما يراد التغلب على التآكل الذي يسببه غاز احادي او كسييد الكربون ويتم في هذه الطريقة تغليف سطح الفلز بمادة خزفية ثم يدخل الفلز المغطى بالسيراميک في افران لتكوين طبقة سيراميکية قوية الاتصال

بسطح الفلز تستطيع عزل الفلز عن المحيط الخارجي عزلاً جيداً. والتغليف بالورق الزيتي والشحوم والزيوت هي طرائق اخرى لعزل المادة المراد حمايتها عن المحيط الخارجي. ومن الفلزات المستخدمة بكثرة في اغراض الطلاء الخارصين والكامديوم ويستعملان بطلي الحديد الصلب الا ان الطلاء بهما لا يعطي الحماية الكافية ضد التآكل ما لم تجري معه معاملات تكميلية اخرى [5].

**(Types of Coatings)****(9 - 2) انواع الطلاءات**

هناك انواع من الطلاءات المستعملة للحماية من التآكل ، لذا فان معرفة نوع الطلاء واختيار النوع المناسب للحماية من التآكل بعد تحديد نوعية معدات المراد حمايتها ومحيط الأكل الذي يتعرض له وكذلك نوع التآكل المحتمل حصوله من عدم الطلاء. ومن اهم انواع الطلاءات [55] :-

**(Metalic Coatings )****(1-9-2) الطلاءات المعدنية**

تستعمل عادة المعادن النقية لتحضير هذا النوع من الطلاء، اذ تعتمد مواصفات الطلاءات المعدنية على طبيعة وطريقة تطبيق الطلاء وظروف اجرائها، ومن اشهر المعدن المستعملة كطبقة طلاء هو النيكل والخارصين والنحاس والالمونيوم وغيرها.

**(Organic Coatings)****(2) الطلاءات العضوية**

للحماية من التآكل تستعمل العديد من الطلاءات العضوية، وتخالف وفقا لطبيعتها الكيميائية ومجالات استعمالاتها، فمثلا الليبوكسيرات، والفينولات، والبولي استر ( Polyester ) تستعمل لحماية معدات نقل البتروكيميائية. وايضا تستعمل لحماية بطانة الداخلية للأنابيب.

**(3-9-2) الطلاءات غير العضوية وغير المعدنية (Inorganic and non-metallic Coatings)**

تنماز بقابليتها الفعالة على حماية سطوح معدنية من التآكل خير مثال عليها الطلاءات السيراميكية ( Ceramic coatings ) اذا اثبتت الطلاءات السيراميكية تغطية ناجحة في تطبيق المواسير الحاملة للمياه المالحة المحتوية على  $(H_2S)$  و  $(CO_2)$  لمدة ثلاثة سنوات وحمايتها من التآكل.

**(10-2) ميكانيكية عمل الطلاء والمادة الرابطة:****(Mechanism of Coating and binder material)**

الطلاء هو ببساطة مادة قادرة على تشكيل غشاء يغطي القاعدة اتجاه عوامل ضارة بالمحيط ويسهل مظهرها. وعند خلط الطلاء الأبيوكسي مع المادة الرابطة ( المتصلب ) يحدث تصالب الأبيوكسي عبر تفاعل عامل التصالب مع حلقة زمرة الأبيوكسي إذ ترتبط ذرة هيدروجين فعالة مع زمرة الأبيوكسي من خلال افتتاح حلقة الأبيوكسي الثلاثية وتحولها إلى زمرة هيدروكسيل ، وخلال عملية تصالب راتنج الأبيوكسي تتحول الجزيئات الصغيرة لبوليمير الأبيوكسي إلى جزيئات ضخمة

متضالبة ثلاثة الأبعاد، أن تأثير طلاء الإيبوكسي على معدلات التآكل [56] تم تحديده باستخدام المعادلة :-

$$\text{كفاءة طلاء الإيبوكسي} = \frac{\text{معدل التآكل قبل الطلاء} - \text{معدل التآكل بعد الطلاء}}{\text{معدل التآكل قبل الطلاء}} \times 100\% \quad (2-8)$$

## (Nanotechnology)

## (11-2) تقنية النانو

اصبحت تقنية النانو في طليعة المجالات الاكثر اهمية وأثارة في مجال علوم الفيزياء والعلوم الأخرى فقد اعطت أملاً كبيراً لثورات علمية في المستقبل القريب ستغير وجهة التقنية للعديد من التطبيقات وهي تصنف اليوم بوصفها جيلاً خامساً للتطور التقني [57].

أن لتقنية النانو مستقبلاً عظيماً في جميع المجالات الطبية والعسكرية والمعلوماتية والإلكترونية والحواسوبية وغيرها، وأن تقنية النانو متعددة الخلفيات فهي تعتمد على مبادئ الفيزياء، والكيمياء والهندسة الكهربائية والكيميائية وغيرها ، ويعتمد مفهوم تقنية النانو على اعتبار أن الجسيمات يقل حجمها عن (100) نانو متر (نano متر) هو جزء من ألف مليون من المتر) تعطي للمادة التي تدخل في تركيبها خصائص وسلوكيات جديدة، وهذا بسبب أن هذه الجسيمات تبدي مفاهيم فيزيائية وكيميائية جديدة مما يقود إلى سلوك جديد يعتمد على حجم الجسيمات ، فقد لوحظ أن التركيب الإلكتروني والتوصيلية والتفاعلية ودرجة الانصهار والخصائص الميكانيكية للمادة تتغير كلها عندما يقل حجم الجسيمات ، إذ كلما أقترب حجم المادة من الأبعاد الذرية كلما خضعت المادة لقوانين ميكانيكا الكم بدلاً من قوانين الفيزياء التقليدية [58].

أن اعتماد سلوك المادة على الحجم فقط يمكننا من التحكم بالهندسة والخواص، وللمفهوم هذا أثاراً تقنية عظيمة تشمل مجالات تقنية واسعة ومتعددة مثل انتاج مواد خفيفة ، قوية وغيرها.

وبشكل عام فإن تقنية النانو هي تلك التي تتعامل مع عدة تراكيب من المواد ذات أبعاد من رتبة النانومتر وقد حظيت هذه تقنية في الوقت الحاضر بالأهمية الكبرى بالنظر لما ابنته من تطبيقات واعدة وكثيرة شملت المجالات الطبية والعسكرية، الاتصالات الإلكترونية والحواسوبية وغيرها، وأدى ذلك إلى دعم واسع لأبحاث النانو في السنوات الأخيرة [59].

**(12-2) تصنیف المواد النانوية وتطبيقاتها****(Classification of Nanoparticles and Their Applications)**

أن جميع أنواع المواد التقليدية، مثل الفلزات (Metals) وسبائكها ، وأشباه الموصلات (Semiconductors)، والزجاج (Glass)، والسيراميك (Ceramic)، والبوليمرات (Polymers) ، تعد بمنزلة الخامات الأولية المستخدمة في تخلق مواد ذات أبعاد نانو مترية (مواد نانوية). وأشكال المواد النانوية تختلف باختلاف طريقة تحضيرها المستعملة، إذ يمكن أن تُحضر بـ **بھیئۃ اغشیۃ** (رقائق) نانوية ، أو على هیئۃ **أنابیب** (Nanorods)، أو **أَسْلَاك** (Nanotubes) أو **قضبان نانوية** (Nanowires). وتتفرد المواد النانوية على اختلاف أنواعها صورة **حبیبات نانوية** (Nanoparticles). وتتفرد المواد النانوية على اختلاف أنواعها بخواص فیزیائیة وکیمیائیة ومیکانیکیة فریدة مما يجعلها تتمیز عن المواد التقليدية ذات حبیبات كبيرة [58].

أن المواد النانوية هي بمنزلة أحجار بناء لعمل منتجات جديدة في الوقت الحاضر، وتمتع هذه المواد المخلقة بخواص متقدمة ينعكس على كفاءة وأداء المنتج النهائي الذي يتم تصنيعه، إذ تتوافر فيه خواص لا يمكن توافرها في منتجات المواد التقليدية، والجدول رقم (1-2) يبين تحسين وتطوير خواص السطح المنتج لمواكبة التطبيقات المختلفة وذلك عن طريق طلائه بمواد نانوية [60].

**Nanoparticles****1-12-2) الحبیبات النانوية**

يمكن تعريف الحبیبات النانوية على أنها عبارة عن تجمع ذري أو جزيئي يتراوح عددها من بضع ذرات (جزيئة) إلى مليون ذرة مرتبطة بعضها بشكل كروي تقريباً وبنصف قطر أقل من (100 nm)، مثلاً جسيم نصف قطره نانو متر واحد سوف يحتوي على (25) ذرة تقريباً أغلبها على سطح الجسم، وهذا يختلف عن الجزيء الذي قد يتضمن عدداً من الذرات وبذلك فإن هذا الجسيم سيكون ذا أبعاد حرجة لا تسمح لحدوث ظواهر فیزیائیة كالتوصیلة الكهربائیة مثلاً، وأشكال الحبیبات قد تكون (سداسیة وکرویة وثلاثیة) [58].

أن الحبیبات بصورة عامة عندما يصل حجمها إلى مقياس النانو في بعد واحد تسمى بالبئر الكمي (Quantum Well) أما عندما تكون في بعدين فتسمى بالسلك الكمي (Quantum Wire) أما عندما تكون بثلاثة أبعاد فأنها تعرف بالنقاط الكمیة (Quantum dots) والتغير في هذه الأبعاد ضمن هذه التركیبات الثلاثة سوف يؤثر في الخصائص الإلكترونية لها مما يؤدي إلى حدوث تغيير كبير في الخصائص الضوئیة [60].

ومن الخصائص المهمة وغير المتوقعة للحببيات النانوية هو أن الخصائص السطحية لها تغلب على الخصائص الجمجمية وهذا مخالف لما متعارف عليه، إذ إن الخصائص الفيزيائية للمادة الجمجمية ثابتة بغض النظر عن حجمها، وأن النسبة المئوية لذراتها عند السطح ستكون صغيرة جداً بالنسبة للعدد الكلي للذرات في المادة، ومن خصائصها المهمة تعلقها داخل سائل أو محلول دون أن تطفو أو تنغر وذلك لأن التفاعل بين سطح الحببيات والسائل يكون قوياً حيث يتغلب على فرق الكثافة بينهما والذي يكون هو في العادة مسؤولاً عن طفو أو غمر المادة. لقد أمكن حديثاً تصنيع حببيات نانوية ذات طبيعة شبه موصلة وهي الليبوزومات ومثال على ذلك حببيات النحاس التي يصل حجمها إلى أقل من (50nm) ذات الصلابة العالية وغير قابلة للطرق أو السحب عكس حقيقتها المعروفة [61 – 63].

**جدول رقم(1-2) تحسين وتطوير خواص سطح المنتج لمواكبة التطبيقات المختلفة وذلك عن طريق طلائه برقاقة النانو [58].**

أمثلة للتطبيقات ومجال الاستخدامات	الخواص المطلوبة إضافتها إلى سطح المنتج بعد طلاء الأسطح بالمواد النانوية
حماية أجزاء الماكينات والمعدات من التآكل الناتج عن الاحتكاك، زيادة في حماية أسطح المواد اللينة مثل البوليمرات الأنسجة الصناعية والأخشاب.	<ul style="list-style-type: none"> <li>خواص ميكانيكية: زيادة في صلادة المنتج وزيادة في مقاومة الأسطح للخدش.</li> </ul>
تنظيف ذاتي لأسطح المنتجات وحمايتها من التصاق الغبار والشحوم عليها. لذا فإن هذه المواد تستخدم في تغطية أنسجة الأقمشة وسطوح زجاج البنيات الشاهقة.	<ul style="list-style-type: none"> <li>خواص متعلقة بحماية سطح المنتجات من الببل والالتصاق.</li> </ul>
حماية إجزاء الآلات وماكينات التشغيل والأدوات من التآكل الناتج عن الصدأ وحماية أسطح التوربينات والمحركات من الحرارة الناجمة عن التشغيل، العزل الحراري للبنيات والمنشآت عن طريق الدهانات.	<ul style="list-style-type: none"> <li>خواص حرارية وكميمائية: مقاومة الحرارة والعزل الحراري، مقاومة التآكل الناتج عن الصدأ.</li> </ul>
طلاء أسطح الأجهزة التعويضية بهدف رفع ملائمتها البيولوجية لسوائل وأنسجة الجسم، طلاء أسطح الأدوات الجراحية بهدف عزالتها عن المؤثرات البكتيرية ورفع مقاومتها للفيروسات والميكروبوات ومنع التصاقها بسطوح تلك الأدوات.	<ul style="list-style-type: none"> <li>خواص باليوجية: الملائمة الباليوجية ومضادات العدوى.</li> </ul>
صناعة مواد العوازل ذات الأسماك الرقيقة جداً المستخدمة في عزل الكهرباء المؤثرة على حقول الترانزستورات، بيانات الذاكرة والأقراص الصلبة المستخدمة في حفظ البيانات.	<ul style="list-style-type: none"> <li>خواص كهربائية ومتناطيسية: العزل الكهربائي ومقاومة المولدات المغناطيسية.</li> </ul>
الأغلفة الرقيقة والأغشية المستخدمة كمضادات لانعكاس والمطبقة في دهان أسطح الشاشات والعدسات وغيرها وصناعة الخلايا الشمسية والخلايا الفوتوفولطية.	<ul style="list-style-type: none"> <li>خواص بصرية: مضادات الانعكاس الضوئي.</li> </ul>

## (Structure Properties)

## (13-2) الخصائص التركيبية

تعد دراسة التركيب البلوري للمواد في غاية الأهمية وذلك لانتظام بلورات، ذرات، وإيجاد حجم أصغر خلية في البلورة ومعرفة مواضع الذرات داخلها، ويتم ذلك من خلال دراسة انماط حيود الأشعة التي تسقط على ذرات المواد، ويتطلب هذا استعمال أشعة ذات طول موجي مساوٍ أو أقصر من المسافات البينية بين الذرات [64]

## (X-Ray Diffraction)

## 1-13-2) حيود الأشعة السينية

لمعرفة التركيب البلوري للمواد الصلبة فإن أفضل طريقة هي استعمال تقنية الأشعة السينية (X-Ray) ولقد تمكن (William Bragg & Lawtence Bragg) عام (1913) من استنتاج علاقة رياضية لتعيين المسافات البينية بين المستويات البلورية وذلك باستعمال تقنية الأشعة السينية، والشكل رقم (2-2) يبين حيود الأشعة السينية والصيغة الرياضية لقانون براك تكتب كالتالي [65]:

$$2d_{hkl} \sin \theta = n \lambda \quad \dots \dots \dots \quad (2-9)$$

إذ أن :

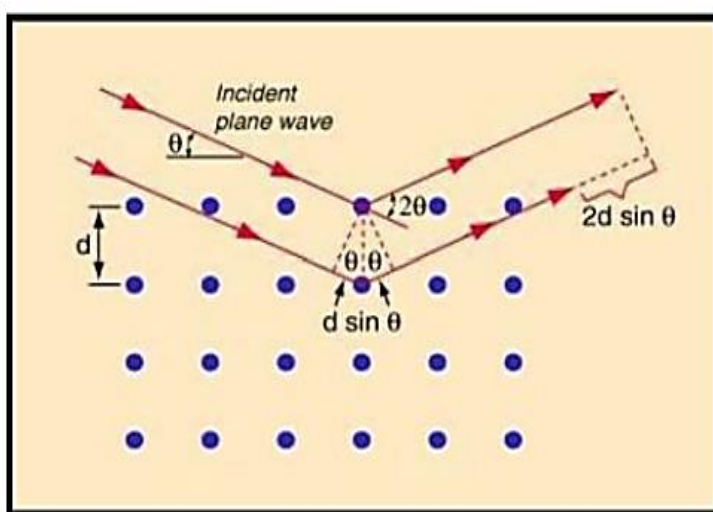
$\theta$  : زاوية براك

$\lambda$  : الطول الموجي.

$n$  : عدد صحيح يسمى رتبة الانعكاس ( $n = 1, 2, 3, \dots$ ).

$d_{hkl}$  : المسافة البينية بين مستويين متوازيين داخل البلورة.

أن شرط انعكاس براك (Bragg's Reflection) هو أن يكون الطول الموجي ( $\lambda$ ) للأشعة الساقطة والمنعكسة من مستو له أحاثيات ميلر ( $hkl$ ) أصغر أو مساو لضعف المسافة البينية ( $d_{hkl}$ ) بين مستويين متوازيين في البلورة كما موضح في الشكل (2-2).



الشكل (2-2) مخطط يوضح حيود الأشعة السينية [66].

### (Structure Parameters )

## (2-12-2) المعلمات التركيبة

**(1-2-12-2) ثابت الشبكة ( $a_0$ ) وحجم وحدة الخلية (V)**

في حالة النظام المكعب متمركز الأوجه يتم حساب ثابت الشبكة من العلاقة الآتية [67]:

$$d_{hkl} = \frac{a}{\sqrt{h^2 + k^2 + l^2}} \quad \dots \dots \dots \quad (2-10)$$

إذ أن:

معاملات میلر : (hkl )

ثابت الشبكة : a

d : البعد بين مستويين بلوريين متتاليين.

ومن المعادلة (9-2) نحصل على

$$d_{hkl} = \frac{n\lambda}{2 \sin \theta} \quad \dots \dots \dots \quad (2-11)$$

بتعويض المعادلة (2-11-2) بالمعادلة رقم (2-10)

## نحصل على

$$a = \left( \frac{n\lambda}{2 \sin \theta} \right) \sqrt{h^2 + k^2 + l^2} \quad \dots \dots \dots (2-12)$$

وبحصول على معاملات ميلر ( $hkl$ ) ومن عملية الفهرسة يمكن حساب ثابت الشبيكة، أما حجم وحدة الخلية للنظام المكعب فيتم حسابه وفق العلاقة الآتية [68]:

(Average Crystallite Size ) ( $D_{av}$  ) (2-2-12-2) معدل حجم البلوريات

تم احتساب معدل حجم البلوريات بطرقين :

## **أولاً - طريقة (Scherrer method)**

يُحسب معدل حجم البلوريات للمادة النانوية ( $MgO$ ) باستخدام طريقة شيرر حسب العلاقة الآتية [69]:

$$D_{av} = K\lambda/\beta \cos\theta \quad \dots \dots \dots \quad (2-14)$$

إذ إن

K : عامل الهيئة او التشكيل (shape factor) وقيمه (0.94 – 0.9).

 $\lambda$  : الطول الموجي للأشعة السينية الساقطة على الهدف. $\beta$  : اقصى عرض للمنحنى عند منتصف الشدة (Full Width at Half Maximum ) يقاس بالوحدات نصف القطرية(Rad). $\theta$  : زاوية سقوط الاشعة السينية.**ثانياً: طريقة Williamson – Hall (Williamson – Hall)**

يتم حساب حجم البلوريات بهذه الطريقة التي لا تعتمد على عرض منتصف القمة فقط كما في طريقة شيرر بل تعتمد ايضاً على المطاوعة (Strain) داخل البلورة أي أن ( FWHM ) ناتج عن حجم البلوريات والإجهاد كما في المعادلة التالية [69]:

$$\beta_{hkl} = \beta_D + \beta_s \quad \dots \dots \dots \quad (2-15)$$

إذ أن :

 $\beta_{hkl}$  : اقصى عرض مننصف القمة . $\beta_s$  : العرض الناتج من الإجهاد. $\beta_D$  : العرض الناتج من حجم البلوريات.

والملحوظ من معادلة شيرر أنها تعتمد على ( $1/\cos\theta$ ) بينما معادلة (Williamson- Hall) تعتمد على ( $s \tan\theta$ ) عند تعويض العلقتين في معادلة(2-14) نحصل على:

$$\beta_{hkl} = \left[ \frac{K \lambda}{D \cos \theta} \right] + 4 s \tan\theta \quad \dots \dots \dots \quad (2-16)$$

وبضرب طرفي المعادلة اعلاه بـ( $\cos\theta$ ) ينتج

$$\beta_{hkl} \cos\theta = \left[ \frac{K \lambda}{D \cos \theta} \right] + 4 s \sin\theta \quad \dots \dots \dots \quad (2-17)$$

وعند رسم ( $\beta_{hkl} \cos\theta$ ) مع ( $4 s \sin\theta$ ) لجميع القمم الناتجة ولكلية النماذج المحضرة يمكن حساب الحجم البلوريات ( $D_{av}$ ) وكذلك المطاوعة (S) [70].

**(Micro Strain )****(3-2-12-2) المطاوعة المايكروية (S)**

تظهر المطاوعة المايكروية نتيجة الاجهادات المايكروية والشد المايكروي في الشبكة والتي

تسرب انحراف ثابت الشبكة ( $a_0$ ) للتركيب المكعب مت مركز الأوجه عن قيمته في البطاقة القياسية

(ICDD) ويحسب هذا الانحراف على وفق المعادلة الآتية [70]:

$$S = \frac{a_0(\text{XRD}) - a_0(\text{ICDD})}{a_0(\text{ICDD})} \times 100\% \dots \quad (2-18)$$

(2-18) : قيمة ثابت الشبكة ( $a_0$ ) في البطاقة القياسية (ICDD).  
 $a_0$  : القيمة المحسوبة لثابت الشبكة ( $a_0$ ) [71].  
 $a_0(\text{XRD})$

#### (4-2-12-2) عامل التشكيل (Tc) (Texture Coefficient )

يستعمل مصطلح عامل التشكيل لوصف الاتجاه السائد في المواد المتعددة التبلور، فإذا كانت قيمته أكبر من واحد ( $T_c > 1$ ) تؤكد أن نمو البلوريات للمستويات المفضلة تكون ضمن هذا الاتجاه، أما إذا كانت أقل من واحد ( $T_c < 1$ ) فهي متعددة التبلور ولكن بعدة اتجاهات ويمكن حساب عامل التشكيل وفق العلاقة الآتية: [72]

$$T_c(hkl) = \frac{I(hkl)/I_0(hkl)}{N_r^{-1} \sum I(hkl)/I_0(hkl)} \dots \quad (2-19)$$

إذ أن:

$N$  : عدد القمم الظاهرة في حيود الأشعة السينية .  
 $I_{(hkl)}$  : الشدة النسبية المقاسة للمستوى ( $hkl$ ) .  
 $I_{0(hkl)}$  : الشدة القياسية للمستوى ( $hkl$ ) المأخوذ من بطاقة (ICDD)

### (14-2) التقنيات المستخدمة للتحليل (Techniques Used For Analysis)

#### (1-14-2) طيف الاشعة السينية المشتتة للطاقة (EDX)

##### Energy – Dispersive X – ray Spectroscopy

وهي تقنية تحليلية تستعمل لغرض معرفة نوع العناصر الكيميائية الموجودة في العينة، ويعتمد مبدأ عملها على تأثير متبادل بين حزمة الالكترونات المنبعثة من فتيل الجهاز ومادة العينة ، وبما ان لكل مادة تركيباً ذرياً مختلفاً فأنها كذلك لها مجموعة من القمم تختلف في طيف الاشعة السينية [72].

#### (2-14-2) قياسات المجهر الإلكتروني الماسح (SEM)

يُعد المجهر الإلكتروني من أهم التقنيات العلمية في العصر الحديث ولا سيما الأنواع المطورة منه، فهو أداة رائعة لمشاهدة العالم غير المرئي من الأجسام الدقيقة جداً ولا سيما فيما يتعلق بالتركيب النانوية، وذلك عن طريق صور مفصلة ثلاثية الابعاد ومكربة بدرجات تفوق تلك الناتجة عن المجاهر الضوئية، وتكون باللونين الاسود والابيض، وهذه الالكترونات تنتج بوساطة المدفع الإلكتروني ويتم توجيهها للعينة ومسح سطحها وبالتالي عمل نسخة طبق الاصل تظهر على الشاشة بدلاً من ان يقوم

الشعاع الإلكتروني بمسح سطح العينة في بعد واحد فانه يقوم بمسح ثلاثي الابعاد لينتج صورة ثلاثة الابعاد بكل تفاصيل من تجاويف وخدوش وشقوق، وهذا كله يتم عندما يمسح الشعاع سطح العينة فانه يتفاعل مع السطح وينتزع الكترونات من سطح العينة بشكل محدد، وهذه الالكترونات المنتزعه يتم كشفها بوساطة الكاشف عن طريق جذب الالكترونات المتشتته وبالاعتماد على عدد الالكترونات التي تصل للكاشف، فانها تسجل درجة معينة من مستوى الاضاءة على الشاشة، وباستعمال مجسات اضافية يتم الكشف عن الالكترونات المتشتته بالانعكاس عن سطح العينة (Back Scattered) وكذلك الاشعة السينية المنبعثة عن العينة . وبالطبع لا يمكن ان يقوم جهاز (SEM) بعمله دون ان يتم التحكم في حركة الشعاع الإلكتروني والذي يتم التحكم فيه من خلال المجال المغناطيسي وباستعمال فرق جهد متغير، اذ تقوم ملفات توليد المجال المغناطيسي بإنتاج المجال المغناطيسي اللازم لمسح الشعاع الإلكتروني بشكل دقيق ذهاباً واياباً على العينة، ولابل زيوادة قوة التكبير يجب ان يكون الشعاع الإلكتروني ماسحاً منطقة اصغر على العينة [67,73] .

## (Mechanical Properties)

## (15-2) الخواص الميكانيكية

**Surface Hardness Test****1-15-2) اختبار الصلادة السطحية**

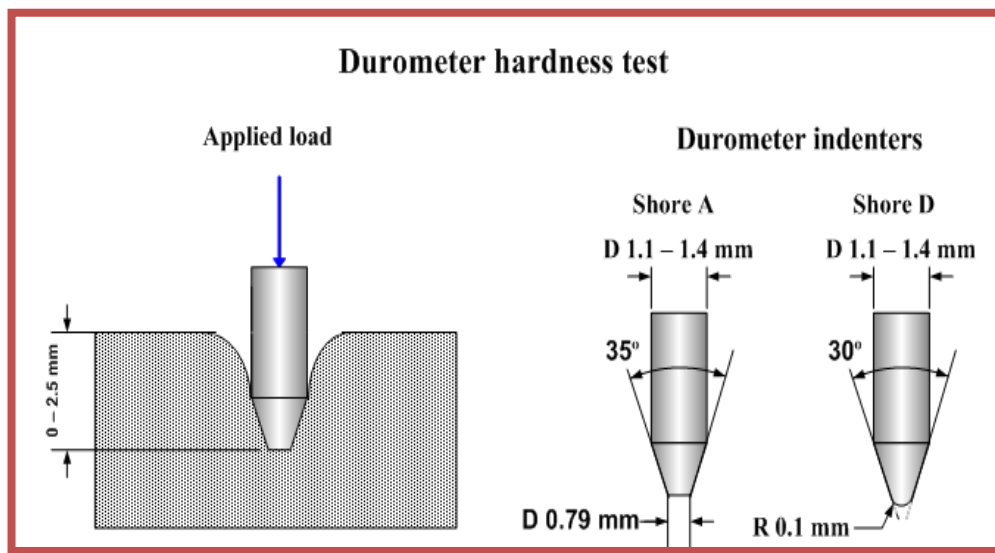
من الخواص الميكانيكية السطحية المهمة للمواد الصلادة السطحية والتي تعريف بأنها مقاومة المادة للغرز والنقر (Indentation) في المناطق السطحية منها وتعرف ايضاً انها مقاومة سطح المادة بالتشوه اللدن الذي ينتج عن الخدش (Scratching)، القطع (Cutting) أو الاختراق (Penetration) . وان قيمة الصلادة تعطي دليلاً للمقاومة (Index of strength) ومتانة وتماسك التركيب (Structure Coherence) . وتبرز اهمية الصلادة في كونها تعطي الصورة الواضحة عن نتائج التغيرات التي تحدث على سطح المادة نتيجة معاملة تلك السطوح حرارياً أو كيمياياً [74] .

**ومن اهم الطرق الشائعة لقياس الصلادة السطحية [75]**

- .(Vickers Hardness ) • صلادة فيكرز
- .(Brinell Hardness ) • صلادة بريل
- .(Rockwell Hardness) • صلادة روکویل
- .(Shore(A,D) Hardness) • صلادة شور (A,D)
- . (Shore Scleroscope Hardness) • صلادة شور سکلیرسکوب
- (Knoop Micro Hardness) • صلادة نوب المايكروية

وفي هذا البحث تم قياس الصلادة باستخدام طريقة شور (Shore D) لأن صلادة شور تستعمل لقياس صلادة المواد البوليميرية وتعتمد في قياسها على مقدار نزول المغرز (Indenter) المثبت بالجهاز في سطح النموذج.

فكما أصبحت الصلادة السطحية للعينة أكبر امتلكت العينة مقاومة سطح أعلى لرفض المغرز. والشكل(2-3) يوضح كيفية اختراق مغرز جهاز فحص لسطح المادة.



الشكل (2-3): مخطط اختبار صلادة التحمل لشور [76].

## (Thermal Properties)

## (16-2) الخواص الحرارية

### Thermal Conductivity

### 1-16-2) التوصيلية الحرارية

تعد التوصيلية الحرارية أحدى ظواهر الانتقال الحراري في المواد الصلبة، وهي ظاهرة انتقال الحرارة، فانتقال الطاقة يتم من موقع إلى آخر نتيجة لما يحصل من تهيج للجزئيات ويكون مصحوباً بتغير بالدرجات الحرارية، وتختلف آلية توصيل الحرارة باختلاف حالات المادة (صلبة وسائلة وغازية) والذي من خلاله تصنف المادة على أنها موصلة أو عازلة للحرارة [75]. في المواد الصلبة الموصلة يتم التوصيل الحراري وذلك بإنتقال كلاً من الفوتونات والالكترونات الحرية ويعبر عنها من خلال تطبيق قانون فوريير (Fourier's Law) [77] :

$$Q = -k A \frac{dT}{dX} \quad \dots \dots \dots \quad (2-20)$$

حيث أن:

$Q$  : كمية الحرارة المنتقلة بوحدات (J/sec).

$k$  : التوصيلية الحرارية بوحدات (W/m.K).

$A$  : مساحة المقطع العمودي على اتجاه انتقال الحرارة بوحدات ( $m^2$ ).

$\frac{dT}{dX}$  : الانحدار الحراري (Thermal Gradient) في الوسط بوحدات ( $^{\circ}\text{C}/\text{m}$ ).

تشير الاشارة السالبة الى ان الانتقال الحراري يكون من المنطقة ذات درجات الحرارة العالية الى المنطقة ذات درجات الحرارة الواطئة. تعتمد الموصلية الحرارية في الراتنجات (راتنج الايبوكسي) على عدة عوامل هي توجيهه الجزيئات ، الحجم البلوري ، درجة النقاوة في المواد غير المعدنية ومن ضمنها الراتنجات التي يكون انتقال الالكترونات فيها ضعيفاً ( وهو احد اساليب انتقال الحرارة او لا يكون هناك انتقال الكتروني لذلك فان التوصيل الحراري يتحدد بالاهتزازات الهيكلية (structure vibration) وهو السبب الذي يجعل من المواد الراتنجية اقل توصيلاً للحرارة من المعادن[78] بصورة عامة تختلف طرائق قياس التوصيلية الحرارية ( $k$ ) تبعاً لنوع المادة موصلة كانت أم عازلة وكما يأتي:

وتقاس لمادة رديئة التوصيل الحراري على شكل قرص مثل المواد ذات الأساس البوليمري باستعمال (Lee's Disc Method) كما في الشكل (4-2) وفيها يوضع النموذج (S) بين قرصين من النحاس (A,B) ويسس القرص (B) المسخن الكهربائي (H) ثم يليه القرص (C) وبالاعتماد على حساب كمية الحرارة المارة خلال عينة من المادة والمتمثلة بالقرص(S)، إذ يتم حساب قيمة ( $k$ ) من العلاقة الآتية [79]:

$$K\{(T_B - T_A) / ds\} = e\{ T_A + r/2 (d_A + ds/4) T_A + ds T_B/2r \} \quad \dots \dots \dots \quad (2-21)$$

إذ إن  $e$ : تمثل كمية الطاقة الحرارية المارة عبر وحدة مساحة مادة القرص لكل ثانية ( $\text{W}/(\text{m}^2 \cdot \text{K})$ ).  
وتحسب من العلاقة الآتية:

$$IV = \pi r^2 e (T_A + T_B) + 2\pi r e \{d_A T_A + ds/2 (T_A + T_B + d_B T_B + d_C T_C)\} \quad \dots \dots \dots \quad (2-22)$$

حيث إن:

$T_A, T_B, T_C$  : تمثل درجة حرارة القرص (A,B and C) على التوالي.

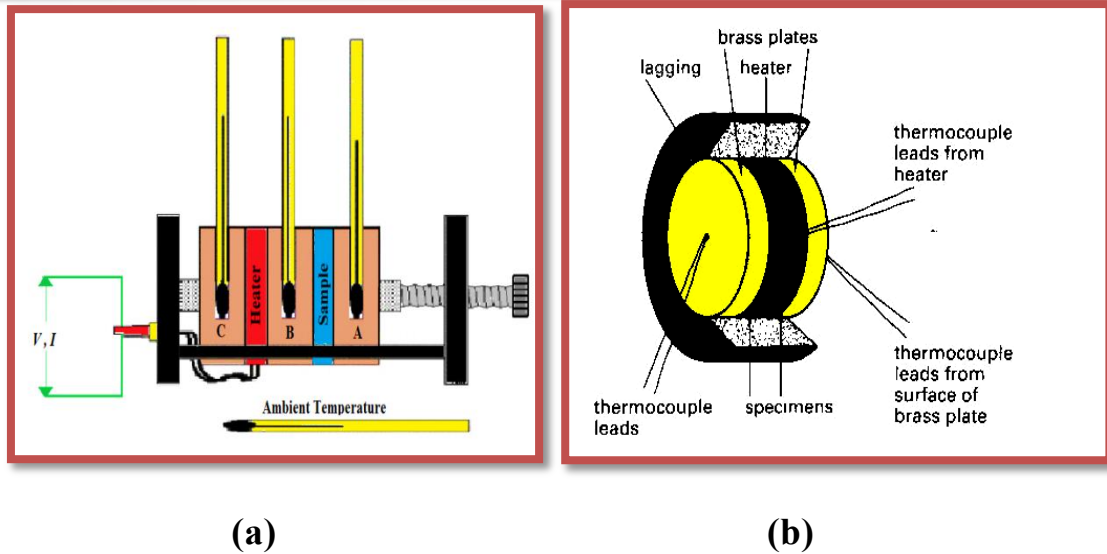
$d$  : سماك القرص بوحدات (m).

$r$  : نصف قطر القرص بوحدات (m).

$I$  : التيار المار في ملف المسخن بوحدات (Ampere).

$V$  : فرق الجهد على طرفي ملف المسخن بوحدات (Volt).

تقاس التوصيلية الحرارية لمادة جيدة التوصيل الحراري مثل النحاس باستعمال طريقة (Searle's Bar Method) إذ إن مبدأ القياس هو تطبيق لقانون فوريير.



(a)

(b)

الشكل (4-2): a- مخطط جهاز قياس التوصيلية الحرارية (قرص لي)

b-الحالة المثلية للفرص [80,81]

### (Corrosion Rate)

### (17-2) معدل التآكل

يعرف معدل التآكل بأنه معدل التناقص في وزن وحدة المساحات عبر وحدة الزمن أو بعبارة أخرى هو معدل انتقال الكتلة من الجسم الفلزي عبر وحدة المساحات في وحدة الزمن [4].

$$\text{معدل التآكل} = \frac{\text{وزن العينة قبل إجراء التجربة} - \text{وزن العينة بعد إجراء التجربة}}{(\text{مساحة العينة السطحية}) \times (\text{زمن التجربة})} \quad (2-23)$$

$$\text{يُقاس معدل التآكل بوحدات} = \frac{\text{g}}{\text{cm}^2 \cdot \text{h}}$$

هناك أيضاً وحدات كثيرة أخرى منها : ( mpy , mdd , mmpy , gmd )

### (18-2) طرائق قياس معدل التآكل(Measurments methods of corrosion rate)

توجد عدة من الطرائق لقياس معدل تآكل إلا أن أبسطها وهي الطريقة [4,52] :

1. طريقة وزنية والتي تعتمد على مقدار ما يفقد المعدن من مادة لكل وحدة مساحة خلال فترة زمنية.

2. طريقة كهربائية وتعتمد على مقدار تيار والإلكترونات الذي يفقده المعدن.

وطريقة قياس معدل التآكل بواسطة النقص في الوزن يمكن اجمالها بالآتي:

غمر عينة موزونة من معدن مراد قياس معدل تآكله لوسط الأكل لفترة معلومة من الزمن وثم وزنها بعد مضي هذه الفترة وذلك بعد رفعها من الوسط الأكل وغسلها جيداً بالماء العادي والماء

المقطر والكحول والإيثر بقصد تجفيفها ، ولا ينصح بتجفيفها بالتسخين حتى لا يتعرض معدن للتأكسد، الفرق في وزن معدن قبل وبعد غمره لوسط الأكل ممثلاً لكمية الذائبة نتيجة لعملية التآكل.

**وأهم مميزات طريقة قياس معدل التآكل بواسطة النقص في الوزن.**

سهولة إجرائها وخلوها من التعقيدات و لا تتطلب أجهزة خاصة.

**ومن أهم مساوى طريقة قياس معدل التآكل بواسطة النقص في الوزن.**

من مساوئها أنها لا تصلح لقياس معدل التآكل لجميع الفلزات لا سيما تلك التي تتعرض للتآكل عن طريق تكوين الثغرات أو الفجوات وذلك لأن مساحة انتقال الكتلة في هذه الحالة تكون مستمرة التغير فضلاً عن أن هذه الثغرات قد تكون عميقة إلى القدر الذي يسمح لها باحتواء قدر من الإلكترولييت، مما يؤثر في دقة النتائج. وتوجد عدة من الطرق أخرى التي تستخدم في قياس معدل تآكل وتكون أفضل من حيث الدقة من طريقة فقدان في الوزن.

يمكن تقسيم سلوك المعدن أثناء تعرضه لدرجات حرارة مختلفة وفق (Arrhenius. Equation ) والتي تربط طاقة التشغيل ( $E_a$ ) مع معدل التآكل ودرجة الحرارة (T) بوحدات كلفن (K) والموضحة أدناه [82]:

$$\text{Corrosion rate} = A \exp \left( -\frac{E_a}{RT} \right) \quad (2-24)$$

اذ أن :

Ea : هي طاقة التشغيل وتعرف بأنها الحد الأدنى من الطاقة اللازمة التي يجب أن تمتلكها المواد لكي يكون التصادم فيها فعالاً (جول/مول).

A : ثابت أرينس .

R : هو الثابت العام للغازات وقيمه (R=8.314 J/ K.mol).

يمكن تحويل هذه المعادلة إلى الصيغة الخطية وكالآتي:

$$\ln \text{Corrosion rate} = \ln A - \frac{E_a}{RT} \quad (2-25)$$

## الفصل الثالث

أكاذيب العالى

**(Introduction )****(1-3) مقدمة**

يتضمن هذا الفصل وصفاً للأجهزة المستعملة في العمل وطريقة تحضير أوكسيد المغسيوم (MgO) ذو التركيب النانوي ودراسة بعض القياسات التركيبية والميكانيكية والحرارية وتجهيز العينات (النمذج) من الحديد الكاربوني المستعملة في البحث الحالي وطريقة تحضير المحاليل المستعملة (الحامضية - الملحية).

**(Raw Materials)****(2-3) المواد الاولية**

بناء على ما تطلبه مشروع البحث، فقد تم اختيار المواد الاولية المستعملة في تحضير أوكسيد المغسيوم ذو التركيب النانوي (MgO) داخل المختبر وتم الحصول على طلاء راتنج الأيبوكسي (Polyprime-EP) من نوع (Epoxy Resin) مع المصلد من شركة تركية مختصة بصناعة الطلاءات وحببات (MgO) النانوية التركيب من شركة (Himedia Laboratories) إذ يستعمل الايبوكسي كمادة اساس في المادة المتراكبة البوليمرية وهو عبار عن المكونين (A and B) والشكل (1-3) يبين ان المكون A هو راتنج الايبوكسي والمكون B هو المصلد للراتنج، والايبوكسي عبارة عن سائل شفاف متوسط اللزوجة له قابلية التصاق عالية وقليل الانكماش قابل للمعالجة إلى الحالة الصلبة عند تصليده باضافة محلول مصلد (Hardne) وال الحديد الكاربوني عن طريق تقطيع انبوب فولاذی (St:37) المجهز من شركة صينية الذي تم استخدامه كنمذج، والجدول رقم (1-3) يبين خصائص راتنج الايبوكسي.



**الشكل (1-3) راتنج الأيبوكسي مع المصلد نوع (Polyprime-EP).**

**جدول (1-3) خصائص راتنج الأيبوكسي**

Properties of Epoxy Resin	
Density	1.04 g/cm <sup>3</sup>
Thermal Conductivity	0.1 W /m. °C
Electrical Resistance	High
Shrinkage on Curing	1%
Chemical Resistance	Good in water attacked by strong acids
Solid Content	100%

**(Instruments Used)****الأجهزة المستعملة (3-3)**

استعملت بعض الأجهزة المهمة في البحث لتحضير أوكسيد المغنسيوم النانوبي وكذلك مواد البحث الأخرى وإجراء تجربة فقدان الوزن وهي:-

**(Sensitive Electronic Balance)****(1) الميزان الإلكتروني الحساس**

وهو من الأجهزة المهمة والضرورية المستعملة لقياس كتل المواد الأولية ضمن عملية التحضير بشكل مباشر ولأربع مراتب بعد الفارزة، وهو ذو مقدرة على تحديد الكتل بدقة عالية، وقد تم استعماله في جميع القياسات لقليل الأخطاء المحتملة في القياس، والجهاز ذو منشأ أمريكي مصنع من شركة (GENEX Laboratories)، كما في الشكل رقم (2-3).

**شكل رقم (2-3) الميزان الإلكتروني الحساس**

**(Magnetic Stirrer)****(2) الخلط المغناطيسي**

وهو جهاز يستعمل لخلط وتجانس المحاليل الكيميائية ويكون من محرك كهربائي مثبت به مغناطيس دائمي وأطباق حرارية أو وسيلة أخرى لتسخين السائل، إذ يغمر قضيب مغناطيسي في السائل فعند حركة المغناطيس في الأسفل والمتصل بالمحرك الكهربائي عندها سيؤدي مجده المغناطيسي إلى تدوير القضيب المغناطيسي حول نفسه في السائل من دون أي اتصال ميكانيكي بينهما وهذا يساعد على خلط السائل والجهاز ذو منشأ كوري، كما في الشكل (3-3).



شكل رقم (3-3) الخلط المغناطيسي

**(Laboratory Oven )****(3) الفرن المختبري**

وهو عبارة عن جهاز كهربائي ذي عازل حراري تتم السيطرة على درجة حرارته بواسطة منظم حراري ، ويستعمل للتجفيف والتسخين كما في الشكل رقم (3-4)، وفي دراستنا الحالية تم استعمال فرن من نوع (LabTech) مجهز من شركة كورية وتحصل درجة حرارته (1200°C).

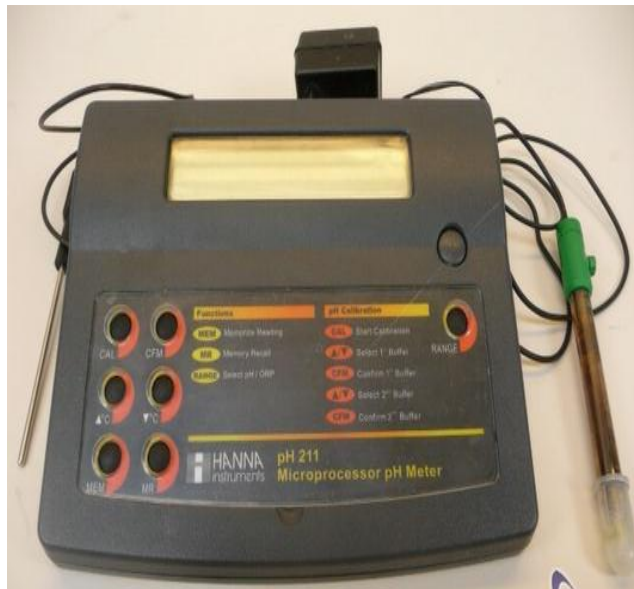


شكل رقم (4-3) الفرن الحراري المختبري

## (pH Meter )

## (4) مقياس الأُس الهيدروجيني

هو عبارة عن جهاز يستعمل لقياس درجة الحامضية أو القاعدية لسائل معين ويكون من قطب زجاجي متصل بمقاييس إلكتروني يقيس النتيجة ويعرضها بشكل رقمي والجهاز ذو منشأ روماني مجهز من شركة (HANNA)، كما في الشكل رقم (5-3).



الشكل (5-3) مقياس الأُس الهيدروجيني.

## (Water Bath)

## (5) الحمام المائي

يستعمل الحمام المائي في المختبر للسيطرة على درجة حرارة التجربة ضمن درجة حرارة معينة، ويستعمل في عمليات التسخين غير المباشر تقادياً للنتائج السلبية التي قد ترافق عمليات التسخين المباشرة من جهة، مثلً انكسار الأوعية الزجاجية، أو انسكاب المواد، كما يستعمل الحمام المائي للتسخين لفترات طويلة وهو يؤمن درجات حرارة أقل من (100°C). وهو يتكون من حوض معدني على شكل متوازي المستطيلات يوجد في أخره سخان (Heater) مرتبط بمنظم لدرجة الحرارة لتحكم في درجة الحرارة مؤقت زمني لضبط الوقت.

وفي دراستنا الحالية تم استعمال حمام مائي من نوع (Thermostatic Water Bath)

مجهز من شركة (BioSan). كما في الشكل (6-3).



**الشكل (3-6) جهاز الحمام المائي**

**(4-3) تجهيز وتنظيف العينات: (Processing and Cleaning of Samples)**

١. تم تهيئة عينات من الحديد الكاربوني وقطعها بوساطة جهاز القطع (CNC) الماني المنشار بقياس  $cm^2 (2 \times 3)$  وثقبها من إحدى النهايات لغرض تعليقها.
٢. وضعت العينات في الفرن الكهربائي لمدة ساعة واحدة عند حرارة  $(600 ^\circ C)$  درجة مئوية لغرض تقسيتها (Annealing) وإزالة الإجهاد من العينات.
٣. تم تنظيف العينات باستعمال (دريل فرشاة) ثم تتعيمها وتتمليسها باستعمال ورق الزجاج القياسي وبالتدريج  $(100,200,400,800)$ .
٤. تم حساب المساحة السطحية للعينة بتطبيق العلاقة:-

$$\text{Surface area} = 2[L + W + T - \pi r^2]$$

L : طول العينة (3 cm)

W : عرض العينة (2 cm)

T : سمك العينة (0.225 cm)

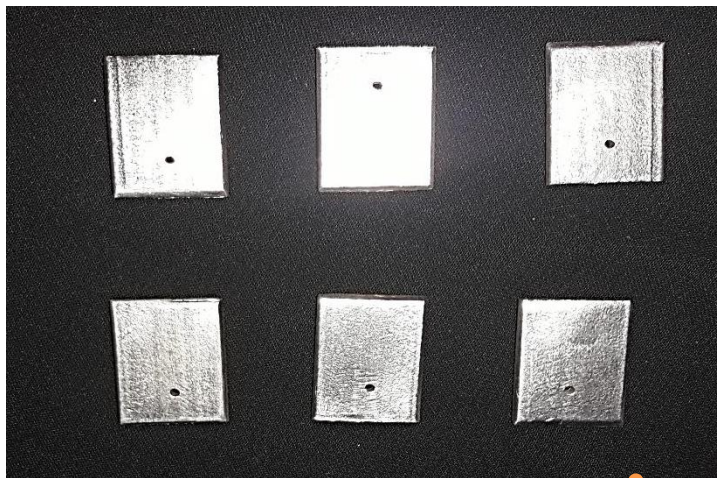
r : نصف قطر الثقب (0.35 cm)

$\pi$  : النسبة الثابتة (3.14)

باستعمال القدمة الالكترونية لقياس الطول وعرض وسمك العينة .

٥. تم تنظيف العينات بالماء العادي ثم الماء المقطر تنظيفاً جيداً ثم جُفت جيداً.
٦. تم غمر العينات في البنزين ( $C_6H_6$ ) لإزالة الشحوم والدهون، ثم بالاسيتون لتجفيف العينات منها ثم جُفت جيداً.

بعد تحضير العينات تم قياس وزنها باستعمال الميزان الحساس ثم وضعها في حافظات بلاستيكية وتدوين المعلومات الضرورية عليها، والشكل (7-3) يبين صورة فوتوغرافية للعينات.



شكل رقم (7-3) صورة فوتوغرافية للعينات

**(5-3) تحضير أوكسيد المغسيوم النانوي MgO  
(Preparation of nano Magnesium Oxide)**

هناك العديد من الطرق لتحضير أوكسيد المغسيوم النانوي MgO وذلك تبعاً للمواد الكيميائية الداخلة في التفاعل إذ تم استعمال مادة نترات المغسيوم المائية ذات الوزن الجزيئي (256.426 g/mol) المجهزة من شركة (Himedia Laboratories) وبنقاوة (99%) وكذلك حامض الستريك ذي الصيغة الجزيئية ( $C_6H_8O_7 \cdot H_2O$ ) المجهز من شركة (Alpha Chemika) بنقاوة (99.5%) وقد استعملت طريقة محلول الغروي (Sol-Gel) ذات الاحتراق التلقائي وسائلناول الاجراءات والخطوات للحصول على MgO وكما يأتي:-

**1. حساب المolarية :**

المolarية هي عدد من المولات المذابة في لتر من محلول وتقاس بوحدات mol/Litter وفق العلاقة الآتية:

$$M = \frac{n}{V} \quad \dots \dots \dots \quad (1-3)$$

اذ أن:

V : الحجم ويقاس بوحدات Litter

n : عدد المولات هي النسبة بين كتلة المذاب إلى الوزن الجزيئي للمذاب، وتقاس بوحدات mol

$$n = \frac{m}{M_{wt}} \quad \dots \dots \dots \quad (2-3)$$

بالتعويض معادلة رقم (1-3) في معادلة رقم (2-3) نحصل على:

$$M = \frac{m}{M_{wt} \times V} \quad \dots \dots \dots \quad (3-3)$$

**(Preparation Method)****2. طريقة التحضير:**

لتحضير أوكسيد المغنيسيوم النانوي  $MgO$  بطريقة المحلول الغروي ذات الاحتراق التلقائي تم اتباع الخطوات الآتية:-

A. إذابة (40 g) من نترات المغنيسيوم  $Mg(NO_3)_2 \cdot 6(H_2O)$  في (60 mL) من الماء المقطر، وبتركيز مولاري (2.6 M) محسوبة من المعادلة (3-3).

B. إذابة (16.4g) من حامض الستريك  $C_6H_8O_7 \cdot H_2O$  في (60 mL) من الماء المقطر، وبتركيز مولاري (1.3 M) محسوبة من المعادلة (3-3)، وهنا لابد من الاشارة الى انه لأول مرة يتم استعمال حامض الستريك كوقود لعملية الاحتراق التلقائي عند تحضير أوكسيد المغنيسيوم النانوي .

C. خلط المحلولين في دورق مقاوم للحرارة بواسطة الخلط المغناطيسي لمدة (30 min) بدرجة حرارة الغرفة لضمان تجانس المحلولين بالكامل.

D. تعديل الدالة الحامضية بواسطة مقياس الأس الهيدروجيني لحين الوصول إلى ما يقارب (7) وذلك بإضافة محلول الأمونيا  $(NH_4)$  بشكل قطرات.

E. وضع المحلول الناتج على الخلط المغناطيسي ورفع درجة الحرارة وتثبيتها عند ( $80^{\circ}C$ ) ونلاحظ أنه بعد مدة زمنية تبدأ الغازات بالتصاعد ومن ثم يترك التفاعل لمدة مع استمرار تحريك المحلول حتى يتكون الشكل الهلامي (gel) للمحلول.

F. بعد حوالي (40min) نلاحظ أنه بدأ الهلام بالاشتعال لت تكون هلامه جافة (xerogel) ثم نطفأ المسخن وتترك المادة لتبرد وأخيراً تم جمعها ومن ثم طحنتها بهاون سيراميكي طحناً جيداً كي يتجانس المسحوق للتخلص من التكتلات التي حدثت أثناء عملية التدرين .

G. نضع المسحوق الناتج في وعاء من البورسلين مقاوم للحرارة العالية، ثم أدخلته في الفرن لغرض الكلسنة (Calcination) بدرجة حرارة ( $600^{\circ}C$ ) لمدة ساعتين وبذلك تنتهي عملية تحضير مسحوق أوكسيد المغنيسيوم النانوي  $MgO$  الذي يكون بشكل مسحوق أبيض اللون كما هو مبين في الشكل(8-3).



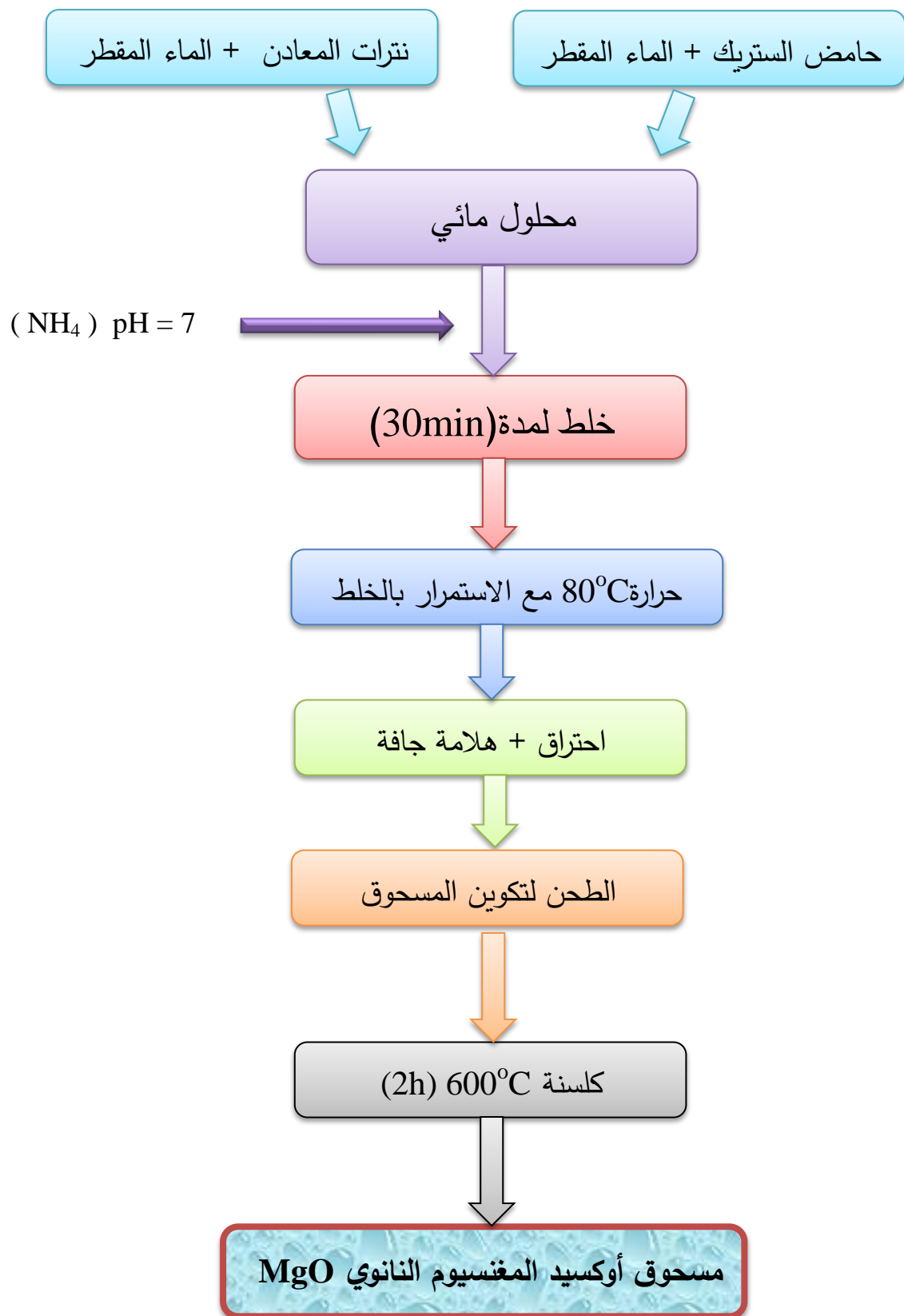
التجاري



المحضر

**شكل رقم (8-3) حبيبات (MgO) ذو التركيب النانوي**

كما يمكن تلخيص طريقة العمل كما في الشكل (3-9) مختطاً للخطوات المتبعة في تحضير (MgO) ذو التركيب النانوي بطريقة محلول الغروي ذات الاحتراق التلقائي.



الشكل (9-3) مخطط للخطوات المتتبعة لتحضير (MgO) ذو التركيب النانوي  
بطريقة محلول الغروي ذات الاحتراق التلقائي.

**(6-3) تحضير المحاليل الحامضية والملحية:**

تم تحضير المحاليل الحامضية من أجل اختبارات التآكل ، وكانت الدالة الحامضية pH (1,2,3) إذ تم إضافة (HCl) إلى الماء المقطر إلى أن تصبح قراءة الأس الهيدروجيني (1,2,3) أما المحاليل الملحية فقد تم تحضيرها أيضاً بتركيز % (1,2,3) وذلك بخلط ملح الطعام (NaCl) بنسبة (1g) منه مع (99ml) ماء مقطر، مع (2g) من (NaCl) مع (98ml) من الماء المقطر و(3g) من (NaCl) مع (97ml) من الماء المقطر وخلط محلول خلطاً جيداً لمدة نصف ساعة باستعمال الخلط المغناطيسي.

**(Experimental Procedure)****(7-3) طريقة العمل****(1-7-3) العينات غير المطلية:**

تم إجراء اختبارات التآكل للعينات غير المطلية في الأوساط الملحة والحامضية حيث تم إجراء هذه الاختبارات في درجات حرارة مختلفة C ° (30,40,50,60) باتباع الخطوات كالتالي :

- ١ - تم وضع المحاليل الملحية بتركيز (1,2,3%) من (NaCl) في دوارق زجاجية تحتوي على (200ml) من هذه المحاليل.
  - ٢ - تم تعليق هذه العينات بواسطة خيط بلاستيك ( لمقاومة التآكل) في هذه المحاليل.
  - ٣ - تم وضع الدوارق في حمام مائي (water bath) مجهز مسبقاً على الدرجة المطلوبة لمدة (4 ساعات).
  - ٤ - بعد انتهاء الوقت المحدد تم تنظيف العينات بالماء العادي والماء المقطر تنظيفاً جيداً ثم جُفت وغمرت بالبنزين (C<sub>6</sub>H<sub>6</sub>) والاستون (Acetone) وجُفت أخيراً.
  - ٥ - تم حساب وزن العينات بعد انتهاء التجارب باستعمال الميزان الحساس وتسجيل الوزن الجديد على حافظة العينة.
- وقد تم إعادة الخطوات السابقة لكن باستعمال المحاليل الحامضية بدالة pH (1,2,3) وأيضاً بحرارة C ° (30,40,50,60) درجة مئوية وحساب الوزن الجديد وتسجيله.

**(Samples Painted)****(2-7-3) العينات المطلية**

للقيام باختبارات التآكل للعينات المطلية قمنا بتحضير طلاء الأيبوكسي المدعم بـ (MgO) بالنسبة لطلاء الأيبوكسي غير المدعم، اذ جهز هذا الطلاء الذي يحتوي على مادة بوليمر كيسيلين وأوكسيرين بخلطة مع المصلب (hardener) بنسبة 2 : 1 ( 2 للأيبوكسي ، 1 للمصلب) باستعمال الخلط المغناطيسي حتى امتزج جيداً.

اما الطلاء المدعم بـ (MgO) النانوية فقد تم تحضيره بإضافة نسب مختلفة من MgO المحضرة مسبقاً (1,2,3 %) ويتم خلطها مع طلاء الأيبوكسي باستعمال الخلط الكهربائي.

تم طلاء العينات بطريقة الغمر لكل من الطلاء المدعم بالمادة النانوية MgO بتركيز (1,2,3)% وغير المدعم بها ثم علقت العينات كلأ على حدة (المدعمة وغير المدعمة) في الشمس

حتى جفت تماماً كما في الشكل (10-3) وبين صورة فوتوغرافية العينات المطلية بطلاء الايبوكسي (A) المدعم بـ ( $MgO$ ) و (B) غير المدعم. ثم تم حساب وزن هذه العينات وحفظها في حافظات مناسبة مدون عليها المعلومات المهمة (نوع الطلاء (مدعم ، غير مدعم) ونسبة الـ ( $MgO$ ) وزن العينة).

تم إجراء اختبارات التآكل ذاتها التي اجريت على العينات غير المطلية وهي كالتالي:

1. اختبارات التآكل في الأوساط الملحيّة إذ تم إجراؤها في درجات حرارة (30,40,50,60) °C ولكل من العينات المدعّمة وغير المدعّمة وهي كالتالي:-
- A. وضع المحاليل الملحيّة بتركيز (1,2,3%) من  $NaCl$  في دوارق زجاجية تحتوي (200ml) من محلول الملحي.
- B. علقت العينات بخيط بلاستيك في هذه المحاليل.
- C. تم وضع الدوارق في حمام مائي (Water bath) مجهز مسبقاً على الدرجة المطلوبة لمدة (4 ساعات) متواصلة.
- D. بعد الانتهاء تنظف العينات بالماء العادي ثم الماء المقطر تنظيفاً جيداً.
- E. تغمر العينات بـ البنزين ( $C_6H_6$ ) والاسيتون (Aceton) وتجفّف جيداً.

تم حساب الوزن الجديد باستعمال ذات الميزان المستعمل قبل التجربة وتسجيل البيانات الجديدة. وقد تمت هذه الخطوات لكل من الطلاء المدعّم وغير المدعّم في المحاليل الحامضية بدالة حامضية ( $pH=1,2,3$ ) وبدرجة حرارة 30,40,50,60 °C، وحساب الوزن الجديد وحفظه.



(B) غير المدعّم



(MgO) المدعّم بـ (A)

**الشكل (10-3) صورة فوتوغرافية العينات المطلية بطلاء الايبوكسي (A) المدعّم بـ ( $MgO$ ) و (B) غير المدعّم.**

## (8-3) القياسات التركيبية

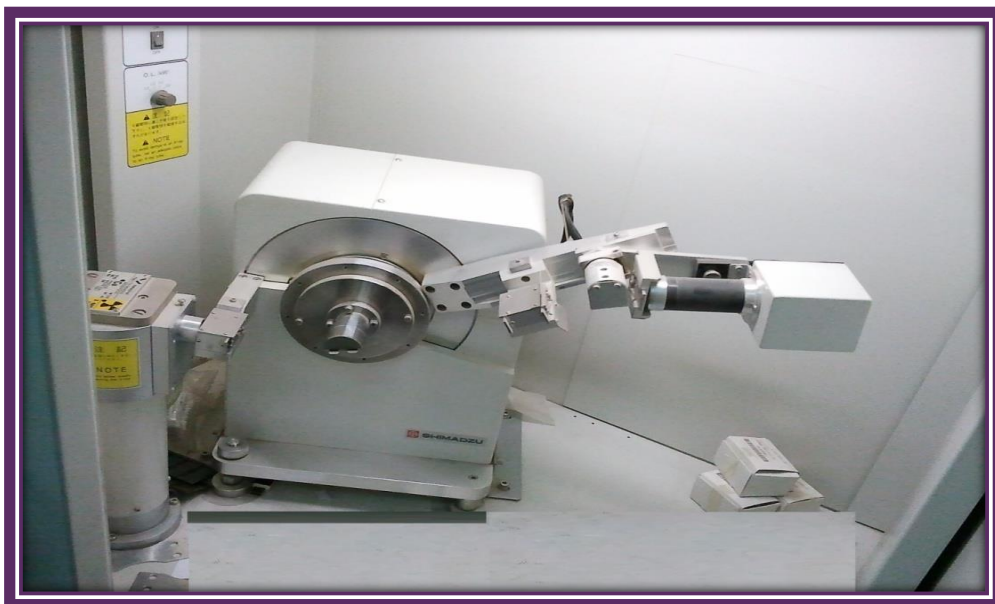
## (Structural Measurements)

## (X-Ray diffraction)

## (1-8-3) تقنية حيود الأشعة السينية

لكي ندرس التركيب البلوري لـ ( $MgO$ ) المحضر وكذلك حيود الأشعة السينية، فقد شخص الجهاز نمط حيود الأشعة السينية ضمن المدى الزاوي ( $2\Theta = 10^\circ - 140^\circ$ ) وذلك لبيان المسافة بين المستويات البلورية وأقصى عرض لمنتصف القمة (FWHM) مع بيان الشدات النسبية لكل ذرة. ومن خلال هذه المعلومات المهمة امكن اجراء العديد من الحسابات التركيبية في دراستنا الحالية، وبالمقارنة مع بطاقة (ICDD) امكن التأكد من دقة النتائج تم استعمال جهاز حيود الأشعة السينية الموجود في المختبر الخدمي في جامعة بغداد كلية التربية للعلوم الصرفة أبن الهيثم قسم الفيزياء والمبين في الشكل (11-3) ويتضمن بالصفات الآتية:

- Type : XRD – 6000, SHIMADZU, JAPANESE ORIGIN.
- Target : Cu.
- Wavelength :  $1.5406 \text{ \AA}$
- Speed : 5 deg/min.
- Voltage : 40 kV.
- Current : 30 mA.



الشكل (11-3): جهاز حيود الأشعة السينية.

## (9-3) قياسات المجهر الإلكتروني الماسح

## (Scanning Electron Microscope ( SEM) Measurements)

المجهر الإلكتروني الماسح هو تقنية تزودنا بصورة مجسمة ثلاثة الأبعاد لسطح العينة ويصل تكبير المجهر الإلكتروني إلى 100.000 ألف مرة لذا يمكن مشاهدة العالم غير المرئي ولا سيما التركيب، وعند تسخين فتيل المجهر تبعث الإلكترونات ذات الطاقة العالية باتجاه بقعة صغيرة لسطح العينة، وذلك من خلال تفاعل الإلكترونات مع الذرات، اذ تمنص الذرات هذه الطاقة وتبعث أشعة سينية لها خصائص مختلفة لكل ذرة ويمكن ان تعطي معلومات كاملة عن سطح العينة وبشكل صورة باللونين الاسود والابيض لأنها لا تعتمد على الموجات الضوئية [17]. والجهاز ذو منشأ (usa) الشركة (angstrom advanced) ، كما في الشكل (12-3).

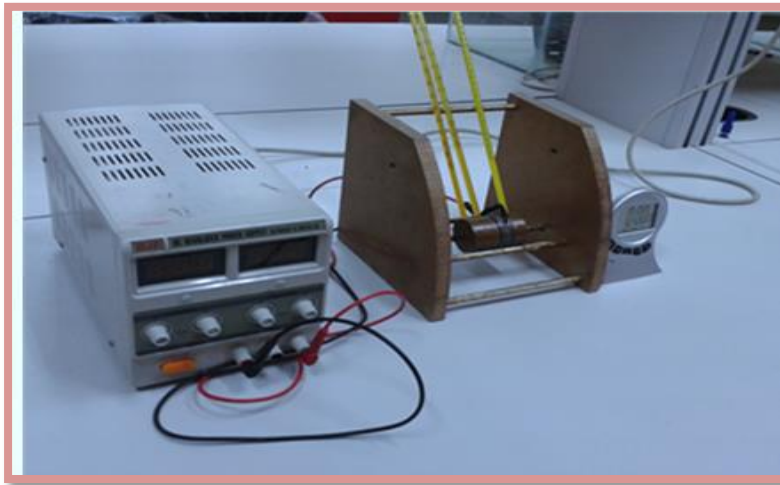


الشكل (3-12): جهاز المجهر الإلكتروني الماسح .

## Thermal conductivity test

## (10-3) اختبار التوصيلية الحرارية

في هذا الاختبار تم استخدام طريقة قرص لي (Lee's Disk) الخاصة بحساب التوصيلية الحرارية للمواد العازلة وذلك باستخدام الجهاز المصنوع في شركة (Griffen and George) الانكليزية المبين في الشكل (3-13) تم حساب معامل التوصيل الحراري لعينة من طلاء الايبوكسي واخرى طلاء الايبوكسي المدعوم بالـ (MgO) ذو التركيب النانوي تم تحضيرها وصبت بشكل يماثل الاقراص المكونة لهذا الجهاز، اذ يتكون الجهاز من ثلاثة اقراص (A,B,C) ومسخن كهربائي (Heater) يربط إلى دائرة كهربائية، بحيث توضع العينة بين القرصين (A,B)، ويوضع المسخن الكهربائي بين القرصين (B,C)، وعند مجهز القدرة لتشغيل المسخن الكهربائي تسخن الاقراص ويفبدأ انتقال الحرارة من المسخن إلى القرص الذي يليه حتى تصل إلى القرص الأخير وعند الوصول إلى حالة الاتزان تسجل قراءة المحارير الموجودة في كل قرص وهي (Ta, Tb , Tc )



**الشكل (13-3) : جهاز قياس التوصيلية الحرارية.**

### Hardness Test

### (11-3) اختبار الصلادة

لأجل اجراء اختبار الصلادة للعينات المطلية بطلاط الايبوكسي والمدعם بألوكسيد المغنيسيوم النانوي تم استخدام جهاز (Shore D) من نوع (Check-line dd-100) ذو المنشأ الامريكي، الموجود في الجامعة التكنولوجية قسم العلوم التطبيقية وهو عبارة عن جهاز يدوي يتكون من نابض ممثلا بآداة غرز بشكل ابره تخترق سطح العينة ويسجل الرقم الذي يظهر على الشاشة الموجودة في الجهاز، الشكل (14-3) يوضح مخطط جهاز اختبار الصلادة (Shore D) المستخدم.



**الشكل (14-3) : جهاز قياس الصلادة نوع شور (D).**

**Thickness****(12-3) فحص قياس السُّمك**

تم اجراء فحص سُمك الطلاء باستخدام جهاز السُّمك (Model-TT260) ذي المنشأ الإيطالي المتواافق في المركز الوطني للتعبئة والتغليف في وزارة الصناعة والمعادن واساس عمله يعتمد على مبدأ الحث الكهرومغناطيسي، اذ يتكون من جسم الجهاز والمتحسس. كما موضح في الشكل (15-3)



**شكل رقم (15-3) جهاز قياس السُّمك**

## الفصل الرابع

النتائج والمناقشات

**(Introduction)****(1-4) المقدمة**

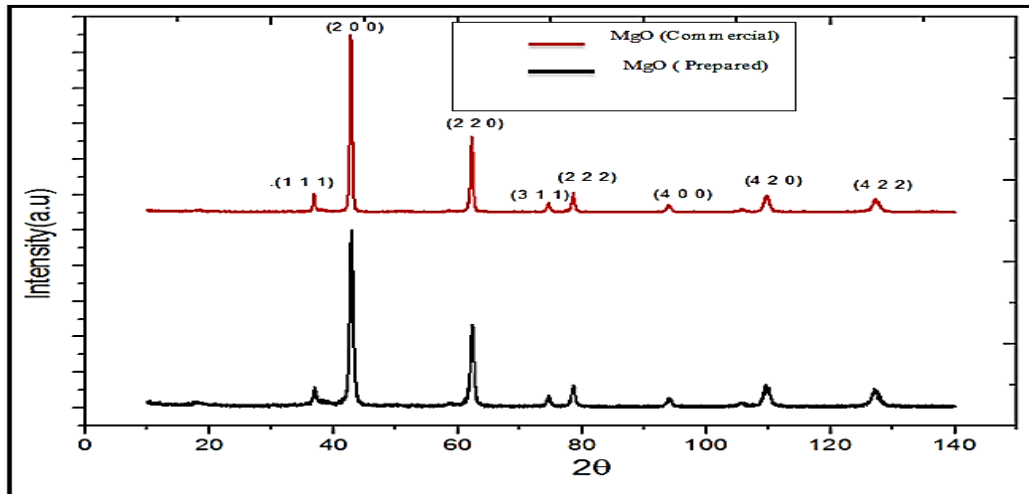
نستعرض في هذا الفصل القياسات التركيبية لأوكسيد المغنيسيوم ( $MgO$ ) ذو التركيب النانوي التجاري والمحضر الذي حصلنا عليه من نتائج حيود الأشعة السينية والنتائج التي تم الحصول عليها من خلال اختبار الصلادة والسمك والتوصيلية الحرارية وأيضاً من خلال دراسة معدلات التآكل للحديد الكاربوني في الأوساط المائية الملحيّة بنسبة (1%, 2%, 3%) والأوساط المائية الحامضية بنسبة (30, 40, 50, 60) و كلّا هما بدرجات حرارية مختلفة ( $C = pH=1, pH=2, pH=3$ )

**(Structural Measurements )****(2-4) القياسات التركيبية**

تم دراسة الخصائص التركيبية لأوكسيد المغنيسيوم ( $MgO$ ) (التجاري والمحضر) بإستعمال تقنية حيود الأشعة السينية (XRD) والمجهر الإلكتروني الماسح (SEM) وذلك لغرض تشخيص تركيبها البلوري وحساب بعض المعلومات التركيبية المهمة والـ (EDX) لمعرفة نسب الذرية والوزنية للعناصر المكونة للمادة.

**(X-Ray Diffraction Results)****(1-2-4) نتائج حيود الأشعة السينية**

أظهرت نتائج التشخيص بتقنية حيود الأشعة السينية لمادة أوكسيد المغنيسيوم ( $MgO$ ) (التجاري والمحضر) بإستعمال طريقة المحلول الغروي (Sol-gel) أنها جمِيعاً ذات تركيب نانوي واضح اذ كانت ذات تركيب متعدد التبلور (Polycrystalline) ومن النوع المكعب متتركز الأوجه (fCC) ويبين الشكل (1-4) أنماط حيود الأشعة السينية للمادة ( $MgO$ ) التجاري والمحضر، ومن خلال تحليل هذه الأنماط تم معرفة موقع القمم (Peaks) ذوات أعلى شدة لأوكسيد المغنيسيوم ( $MgO$ ) ضمن المدى ( $10^{\circ} - 140^{\circ}$ ) والتي تعود للسطح البلوري (200) (220) (222) على التوالي وأن الاتجاه السائد فيها هو (002)، ووجدنا أيضاً أن هذه النتائج متفقة إلى حد كبير مع البطاقة الدولية القياسية (ICDD Card no; 00-045-0946) كما موضحة في الشكل (2-4)، ولوحظ أيضاً هناك عرض واضح كان عند منتصف الشدة (FWHM) وهذا يدل على أنها تمتلك أصغر حجم حُبيبي إذ يزداد عرض منتصف الشدة (FWHM) بنقصان حجم البلوريات وهذا يتفق مع ما توصل إليه الباحث احمد [17].



الشكل (1-4) يوضح انماط حيود الأشعة السينية لأوكسيد المغسيوم التجاري والمحضر

45-0946 Quality: =	Mg O Magnesium Oxide Ref: Kern, A., Doetzer, R., Eysel, W., Mineralogisch-Petrographisches Inst., Univ. Heidelberg, Germany, ICDD Grant-in-Aid, [1993]
CAS Number:	
Molecular Weight:	40.30
Volume[CD]:	74.68
Dx:	3.585 Dm: 3.560
S G.: Fm3m (225)	
Cell Parameters:	
a	4.211 b
$\alpha$	c
SS/FOM: F10=101(0099, 10)	
l/cor: 1.0	
Rad: CuK $\alpha$ 1	
Lambda: 1.5405981	
Filter: Ge	
d-sp: diffractometer	
Mineral Name:	
Periclast, syn	

Slit Intensity

2θ	int-f	h	k	l	2θ	int-f	h	k	l	2θ	int-f	h	k	l
36.936	4	1	1	1	78.628	10	2	2	2	127.27	14	4	2	2
42.916	100	2	0	0	94.048	8	4	0	0	143.74	4	5	1	1
62.302	39	2	2	0	105.73	2	3	3	1					
74.689	5	3	1	1	109.76	19	4	2	0					

الشكل (2-4) البطاقة الدولية القياسية(ICDD) (المرقمـة 00-45-0946) لأوكسيد المغسيوم

#### (2-2-4) حساب المعلمات التركيبية

تم حساب بعض المعلمات التركيبية من حيود الأشعة السينية وكما يأتي:

$$(1-2-2-4) \text{ المسافة بين المستويات البلورية : } d_{(hkl)}$$

تم حساب المسافة البينية بين المستويات البلورية التي لها نفس معاملات ميلر (hkl) لمادة أوكسيد المغسيوم (MgO) ذات التركيب النانوية التجاري والمحضر باستخدام قانون براك من علاقة (9-2)، إذ وجد أن قيمة  $d_{(hkl)}$  والمبينة في الجدول (1-4) متقاربة وتتفق إلى حد كبير مع البطاقة الدولية القياسية لمادة (MgO) ذات الرقم التسلسلي (ICDD-00-054-0946) كما في الجدول (1-4) يمثل المقارنة بين جزء هذه البطاقة والنتائج التي تم الحصول عليها من حيود الأشعة السينية لمادة أوكسيد المغسيوم (MgO) التجاري والمحضر.

جدول رقم (1-4) مقارنة بين جزء (MgO) التجاري والمحضر

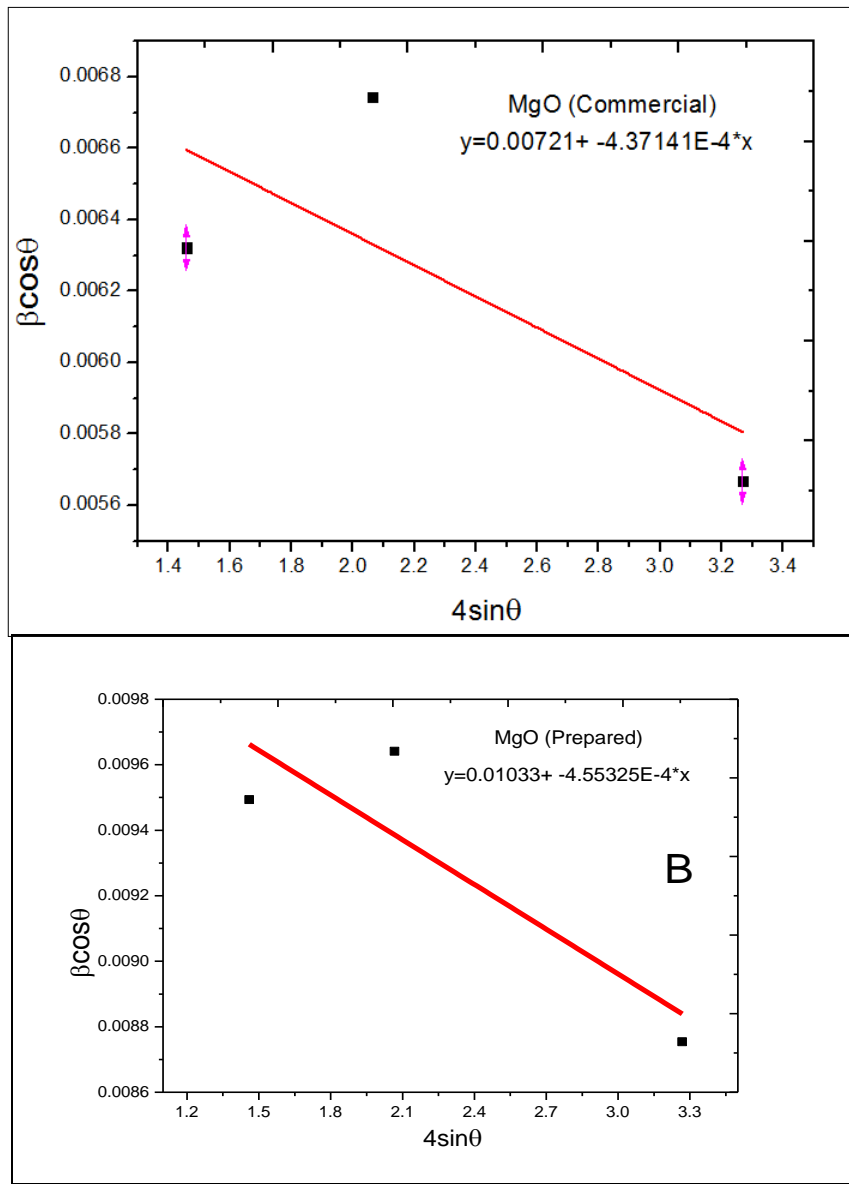
Sample	$2\Theta$	$d_{hkl}$ (Å)	(hkl)
MgO ICDD (00-045-0946)	42.916	2.1056	(200)
	62.302	1.4890	(220)
	78.628	1.2157	(222)
	109.760	0.9417	(420)
MgO (Commercial)	42.807	2.1107	(200)
	62.177	1.4917	(220)
	78.491	1.2175	(222)
	109.601	0.8601	(420)
MgO (Prepared)	42.882	2.1072	(200)
	62.243	1.4903	(220)
	78.519	1.2172	(222)
	109.605	0.9426	(420)

**(The lattice Constant)****( $a_0$ ) ثابت الشبكة (2-2-2-4)**

تم حساب ثابت الشبكة ( $a_0$ ) لمادة أوكسيد المغنيسيوم ذات التركيب النانوي التجاري والمحضر باستخدام المعادلة (12-2)، ودونت جميع النتائج في جدول (4-2) اذ نلاحظ أن قيم ثابت الشبكة ( $a_0$ ) مقاربة لقيم بطاقة (ICDD).

**(Average Crystalites Size)****( $D_{av}$ ) معدل حجم البلوريات (3-2-2-4)**

تم حساب قيم معدل حجم البلوريات ( $D_{av}$ ) لاتجاه السائد (200)، وذلك باستخدام معادلة Williamson–Hall (Debye Scherer) وطريقة (Williamson–Hall) حسب المعادلتين (14-2) و(16-2) على الترتيب، وقد وجد ان المسحوق (MgO) المحضر التجاري يمتلك حجم بلوري بالمدى النانوي كما مبين بالجدول (2-4) ومن خلال تحليل انماط حيود الاشعة السينية نلاحظ ان قمم الحيود تتحرف باتجاه الزوايا الكبيرة مما يسبب انضغاط في وحدة الخلية ويمكن تحليل عرض القمة من خلال تأثير الاجهادات الداخلية للشبكة، فالقيمة السالبة للانفعال الداخلي تدل على انضغاط الشبكة الذي يؤدي إلى تقليل المسافة بين مستويات السطوح ( $d$ ) اي انكماش الشبكة. اما القيمة الموجبة فانها تدل على اتساع الشبكة اي (وجود تباعد بين مستويات السطوح ( $d$ )) والشكل (3-4) يوضح رسم مخطط بياني بين ( $\cos\theta$ ) على محور الصادات و ( $4\sin\theta$ ) على محور السينات ومن خلال القطع الذي يساوي ( $K\lambda/D_{av}$ ) يمكن حساب معدل حجم البلوريات.



الشكل (3-4) العلاقة بين المتغيرات التي من خلالها تم حساب معدل حجم البلوريات حسب طريقة (Williamson – Hall )

#### ( Micro Strain)

#### (4-2-2-4) المطواعة المايكروية (S)

هي مقياس لتشوه البلورة وتحدث على سطحها إذ تنشأ من توسيع أو انضغاط الشبكة مما ينتج عن ذلك تشوهات فيها وتغير في الاجهادات المايكروية ويعزى سبب تشوه الشبكة هو تغير المسافات البينية ( $d$ ) تغير من نقطة إلى كل نقطة من نقاط البلورة فيؤدي ذلك إلى أن يعكس كل جزء من أجزاء البلورة في الأشعة السينية بصورة مختلفة عن باقي الأجزاء فيما لو انعكست بزاوية تختلف في البلورة.

تم حساب قيمة المطواعة المايكروية باستخدام المعادلة (2-18) كما مبينة في الجدول (2-4) لمادة أوكسيد المغنيسيوم ذات التركيب النانوي (التجاري والمحضر).

## (Texture Coefficient)

(5-2-2-4) عامل التشكيل ( $T_c$ )

تم حساب عامل التشكيل لمادة ( $MgO$ ) ذو التركيب الحبيبي النانوي (التجاري والمحضر) باستخدام العلاقة (2-19)، كما مبين في الجدول (2-4)، إذ نجد أن قيمة ( $T_c$ ) للمستوى (200) هو (1.863) لـ ( $MgO$ ) التجاري و (1.955) للمحضر ومن خلال الموازنة بينهما نجدهما متقاربتان لحد ما.

للحظ من خلال القيمة ( $T_c$ ) للمادة ( $MgO$ ) التجاري والمحضر بأنها أكبر من (1) وهذا يؤكد ان نمو البلوريات للمستويات المفضلة يكون ضمن الاتجاه السائد.

## جدول (2-4)

قيم المعلومات التركيبية لأوكسيد المغنيسيوم النانوي ( $MgO$ ) التجاري والمحضر

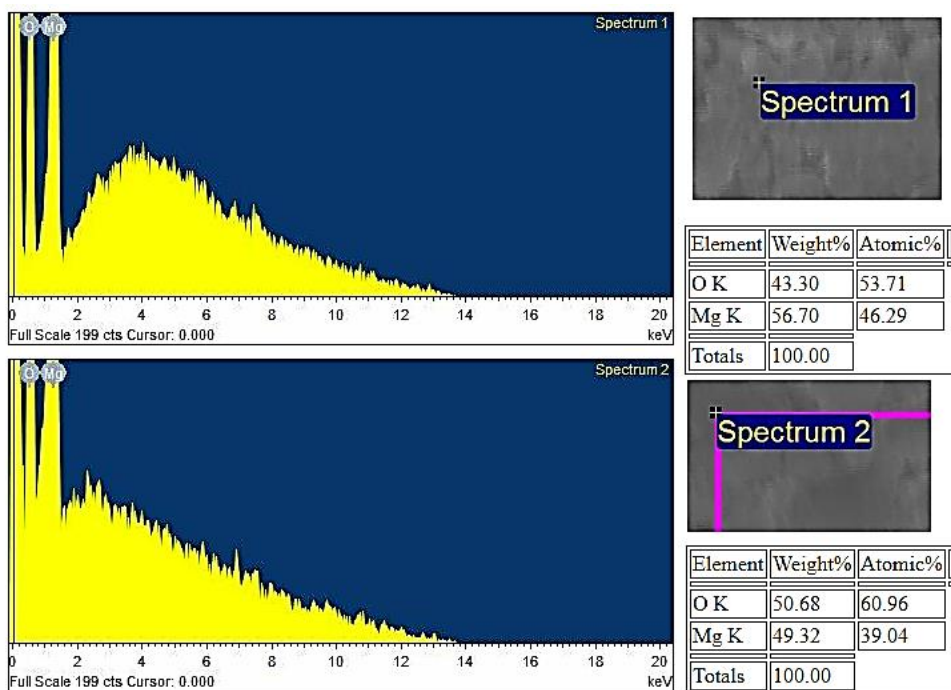
Samples	$MgO$ (Commercial)	$MgO$ (Prepared)
$2\Theta$ (deg)	42.8072	42.8828
hkl	(200)	(200)
d (Å)	2.11079	2.10724
(FWHM) (rad)	0.0067	0.0101
D(nm) Scherrer	22.2	14.7
D(nm) W-H	19.2	13.4
Micro strain (S) (W-H)	$-4.3 \times 10^{-4}$	$-4.5 \times 10^{-4}$
Lattice Constant $a_0$ (Å)	4.22158	4.21448
$T_c$	1.955	1.863

## (3-4) فحوصات تحليل (EDX)

تم اجراء فحص (EDX) الملحق مع المجهر الإلكتروني (SEM) وبينت نتائج (EDX) نسب كل من O و Mg لمادة اوكسيد المغنيسيوم ذات التركيب النانوي المحضر والتجاري كما في الجدول (3-4) اما الشكل (4-4) يوضح صور تحليل (EDX) لـ ( $MgO$ ) التجاري والمحضر، لذلك يعد هذا النوع من التحليل ضروريًا لمعرفة نوعية الشوائب الموجودة والتي يتغدر معرفتها ضمن تحليل (XRD).

**جدول رقم (3-4)**  
**النسب الذرية والوزنية لمكونات (MgO) ذو التركيب النانوي**

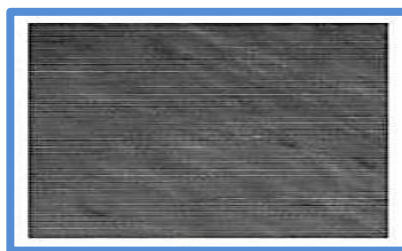
<b>MgO (Prepared) 2</b>			<b>MgO (Commercial) 1</b>		
Element	Weight %	Atomic %	Element	Weight %	Atomic %
O K	50.68	60.96	O K	43.30	53.71
Mg K	49.32	39.04	Mg K	56.70	46.29
Totals	100.00	100.00	Totals	100.00	100.00



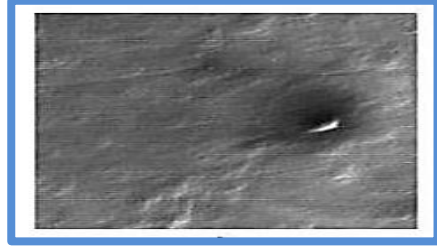
الشكل (4-4) صور تحليل (EDX) لـ (MgO) التجاري والمحضر

#### (4-4) فحوصات المجهر الإلكتروني الماسح (SEM):

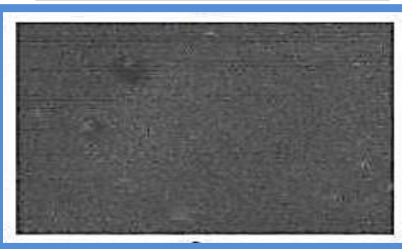
تم فحص العينات (a,b,c,d,e,f) بتقنية المجهر الإلكتروني الماسح (SEM)، الشكل يوضح (5-4) هذه صور سطح الحديد الكاربوني في الظروف (درجة الحرارة  $60^{\circ}\text{C}$  ، تركيز الملح 3% ، نسبة التدعيم بـ  $3\% \text{ MgO}$ ) (a) قبل التعرض لوسط تآكل والصورة (b) توضح العينة في الصورة (a) قد تآكلت بشدة لعدم وجود طلاء كمادة عازلة ونلاحظ ان تآكل العينة في الصورة (d) كان اقل من العينة (a) وذلك لوجود طلاء الايبوكسي كمادة عازلة، اما عند تدعيم طلاء الايبوكسي بحببات MgO النانوية ادى هذا إلى زيادة مقاومة تآكل الحديد وهذا واضح في العينة (f) اذ كان تآكلها اقل بكثير من العينتين السابقتين (b,d) وهذا يثبت ان زيادة كفاءة طلاء الايبوكسي بعد تدعيمه بحببات MgO النانوية.



(a) عينة بدون طلاء قبل التآكل



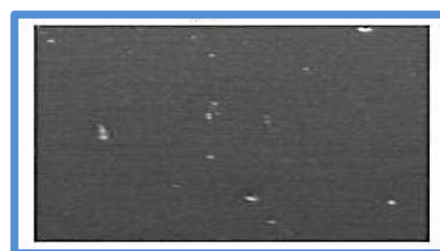
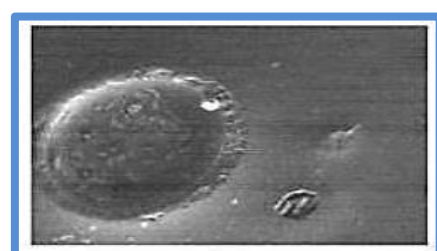
(b) عينة بدون طلاء بعد التآكل



(c) عينة مطلية بطلاء الأيبوكسي قبل التآكل



(d) عينة مطلية بطلاء الأيبوكسي بعد التآكل

(e) عينة مطلية بطلاء الأيبوكسي المدعوم  
بحبيبات (MgO) النانوية قبل التآكل(f) عينة مطلية بطلاء الأيبوكسي المدعوم  
بحبيبات (MgO) النانوية بعد التآكل.

الشكل (5-4) صور (SEM) للعينات

**(5-4) فحص التحليل الكيميائي للعينات الفولاذية**

تم اجراء عملية فحص التحليل الكيميائي لمعرفة نسب العناصر ونوع الفولاذ المستخدم في دائرة جهاز التقييس والسيطرة النوعية وقد اتضح لنا انواع العناصر الداخلة ضمن هذا الفولاذ ونسبها ومن خلال ملاحظة نسبة الكاربون الموجودة في الفولاذ والتي قيمتها (0.04%) فقد تبين ان الفولاذ المستخدم هو فولاذ منخفض الكاربون (Low Carbon Steel) [6] كما مبين في الجدول (4-4).

**الجدول (4-4) : التركيب الكيميائي للفولاذ المستخدم**

Metal	Fe	C	Mn	Si	P	S	Cr	Mo	Ni	Al
Compositions	Rem.	0.040	0.309	0.004	0.005	0.007	0.021	0.0009	0.010	0.004

**Surface Hardness Test****(4-6) اختبار الصلادة السطحية**

يتضح من قيم النتائج المستحصلة من اختبار فحص الصلادة السطحية جدول رقم (5-4) لطلاء الايبوكسي تحسناً في قيم الصلادة السطحية مع زيادة نسبة التدعيم بحببيات ( $MgO$ ) ذات التركيب النانوي المحضر وكذلك التجاري. فعند زيادة النسبة الوزنية كمضادات التدعيم ترتفع قيم الصلادة للطلاء الايبوكسي في حالة الطلاء غير المدعم وصولاً إلى أعلى قيمة لها وهي (93.1) عند نسبة التدعيم الوزنية (3%) وهي نسبة التدعيم المثلى لطلاء الايبوكسي المدعم.

ان ارتفاع قيم الصلادة هذا يعود إلى ان الخواص الميكانيكية للمواد المدعمة بمواد نانوية التركيب تتحسن وبنحو ملحوظ، وبذلك يساعد حجمها (النانوي) الصغير إلى الدخول والتغلغل داخل المادة الاساس المكونة لطلاء الايبوكسي، اذ تدخل هذه الحببيات في الفراغات البينية والمسامات الدقيقة التي تتكون في اثناء عملية تحضير الطلاء وبالتالي يؤدي ذلك إلى زيادة مساحة التماس بين المادة الاساس ومادة التدعيم، وبالتالي الحصول على طلاء ذي مقاومة عالية اتجاه الغرز والخدش في مقاومة التشوه اللدن وهذا يتفق مع الباحثين (خالد) (محمد)[34,37].

**جدول (5-4) قيم الصلادة السطحية لطلاء الايبوكسي المدعمة ( $MgO$ ) عند النسب المفضلة مقارنة بالغير مدعمة.**

( $MgO$ )	طلاء الايبوكسي	الصلادة السطحية (No.shore.D)
	غير المدعم	70.6
المحضر	3% $MgO$ . Nano particles	91.7
التجاري	3% $MgO$ . Nano particles	93.1

**(7-2) قياس السُّمك للطلاءات المتراكبة Thickness**

ان السُّمك صفة الطلاء للتآكل تأثير واضح في تحسين مقاومة مادة خصوصاً بعد التدعيم بمادة ( $MgO$ ) ذات التركيب النانوي المحضر والتجاري، اذ سجلت الطلاءات ذات السُّمك العالي تفوقاً في مقاومتها للوسط الأكل. ومن الجدير بالذكر ان زيادة السُّمك تقود إلى رفع الخشونة السطحية ولهذا فان لزيادة سُمك طبقة الطلاء تأثير واضح لمقاومة التآكل كما في الجدول (4-6).

**جدول (6-4) قيم السُّمك للطلاءات الايبوكسي غير المدعم والمدعם بـ ( $MgO$ ) ذو التركيب النانوي المحضر**

$MgO$	طلاء الايبوكسي	سمك الطلاء( $m \mu$ )
	غير المدعم	25.5
المحضر والتجاري	المدعם بنسبة 3% $MgO$ . Nano	40

**(8-4) فحص التوصيلية الحرارية لطلاء الايبوكسي المدعم وغير المدعم بمادة (MgO) ذات التركيب النانوي**

اعطى فحص التوصيلية الحرارية الذي اجرى باستخدام جهاز (قرص لي) بتسليط جهد مقداره 6 volt من مصدر التجهيز إلى المحسن، وتمرير تيار مقداره (1.5A) لمدة (30 min) على نموذجين من الأقراص لطلاء الايبوكسي المدعم وغير المدعم بـ (MgO) ذات التركيب النانوي انخفاضاً ملحوظاً في قيم التوصيلية الحرارية، وجدول رقم (7-4)، إذ تم تحديد التوصيلية الحرارية عند تدعيم عند النسبة المثلثي (MgO) 3% وكانت (0.22445 w/m.k) قبل تدعيم الطلاء الايبوكسي بمادة (MgO) ذات التركيب النانوي وسجلت توصيلية حرارية أقل عند تدعيم بـ (MgO) المحضر ذات التركيب النانوي حيث كانت (0.096673 w/m.k). ويعزى ذلك إلى تأثير المادة المضافة (المغنيسيا النانوية التي تعمل على اعاقة الاهتزازات الحاصلة بذرارات طلاء الايبوكسي نتيجةً لارتفاع درجة الحرارة، فضلاً عن ان مسحوق اوكسيد المغنيسيوم بوصفه كمادة سيراميكية رئيسية للتوصيل للحرارة وهذا يتفق مع الباحث (فراس واخرون)[82] مما يدل على ان التدعيم بمادة (MgO) ذات التركيب النانوي ادى إلى تحسن خواص طلاء الايبوكسي وهنا يبرز دور الحجم النانوي للمضافات.

**جدول رقم (7-4) قيم التوصيلية الحرارية لطلاء الايبوكسي المدعم وغير المدعم بـ (MgO) ذو التركيب النانوي**

MgO Nano	طلاء الايبوكسي	التوصيلية الحرارية(w/m.k)
	غير المدعم	0.22445
المحضر والتجاري	3% MgO.Nano المدعم	0.096673

**(9-4) حساب معدلات التآكل**

تم حساب معدلات تآكل الحديد الكاربوني بظروف مختلفة من درجة الحرارة و تركيز الوسط بوجود و عدم وجود طلاء الايبوكسي وبوجود طلاء الايبوكسي المدعم بالمواد النانوية بتطبيق المعادلة (2-23). يوضح الجدول رقم (8-4) معدلات تآكل الحديد الكاربوني بوجود و عدم وجود طلاء الايبوكسي عند درجات حرارية مختلفة و دالة حامضية متغيرة، ومن خلال هذه النتائج نلاحظ أن معدلات التآكل قبل الطلاء تزداد بزيادة درجة الحرارة و ثبوت الدالة الحامضية وأن إضافة طلاء الايبوكسي أدت إلى تقليل معدلات التآكل بشكل ملحوظ ، أن تأثير طلاء الايبوكسي على معدلات التآكل تم تحديده باستخدام معادلة رقم (8-2) والتي تمثل كفاءة طلاء الايبوكسي .

**جدول رقم (8-4)**  
**معدل التآكل كدالة لدرجة الحرارة ودرجة الحامضية بوجود وعدم وجود طلاء الأيبوكسي**

No.	Temp. (°C)	pH	Corrosion rate (gmd)		Coating efficiency (%)
			Without coating	coating	
1	30	1	65.76	1.98	97
2	40		90.216	3.55	96
3	50		190.66	7.104	96.3
4	60		410.232	28.44	93.1
5	30	2	49.34	1.32	97.3
6	40		67.99	2.21	96.7
7	50		102.2	3.55	96.5
8	60		288.8	15.09	94.7
9	30	3	22.76	0.88	96.1
10	40		30.11	1.776	94.1
11	50		44.26	3.01	93.2
12	60		103.07	11.54	88.8

ومن خلال الجدول (8-4) نلاحظ أن مادة الأيبوكسي مقاومة جداً للتآكل اذ بلغت أعلى كفاءة (97.3%) عند درجة حرارة 30°C و pH مساوي إلى (2)، بينما أقل قيمة كفاءة كانت (88.8%) عند درجة حرارة (60°C) و دالة حامضية (3) وهو الأمر الذي يدل على مقاومة الأيبوكسي العالية للوسط الحامضي. ويعزى ذلك لكون ان مادة الأيبوكسي تكون طبقة رقيقة على سطح العينة تعمل على اعاقة التآكل على السطح وان كفاءة الطلاء تقل بزيادة درجات الحرارة وهذا يتفق مع الباحث [23](Kadum).

**جدول رقم (9-4)**  
**معدل التآكل كدالة لدرجة الحرارة وتركيز الملح بوجود وعدم وجود طلاء الأيبوكسي**

Table No.	Temp. (°C)	Salt concentration (%)	Corrosion rate (gmd)		Coating efficiency (%)
			Without coat	With coat	
1	30	1	4.87	2.113	56.6
2	40		8.91	4.44	50.2
3	50		9.77	5.328	45.5
4	60		10.19	6.648	34.8
5	30	2	8.56	3.09	63.8
6	40		10.34	5.76	44.3
7	50		11.06	6.21	43.5
8	60		13.77	9.31	32.4
9	30	3	11.47	4.44	61.3
10	40		11.68	6.67	42.6
11	50		13.03	7.99	38.7
12	60		14.56	10.22	29.8

أن الجدول رقم (9-4) يوضح تأثير درجة الحرارة وتركيز الوسط الملحي على معدلات تآكل الحديد الكاربوني بوجود وعدم وجود طلاء الأيبوكسي، اذ نلاحظ ازدياد معدلات التآكل بزيادة درجة الحرارة وزيادة تركيز الوسط الملحي، وأن وجود طلاء الأيبوكسي أدى إلى تقليل معدلات التآكل.

تم احتساب كفاءة طلاء الأيبوكسي بالمعادلة رقم (4-1) والتي مر ذكرها سابقاً نلاحظ أن كفاءة طلاء الأيبوكسي في الوسط الملحي كانت أقل مما عليه في الوسط الحامضي ، اذ بلغت أعلى كفاءة ( 63.8% ) عند درجة حرارة( $30^{\circ}\text{C}$ ) وتركيز ملح ( 2% ) ، بينما أوطأ قيمة كانت ( 29.8% ) عند درجة حرارة (  $60^{\circ}\text{C}$  ) وتركيز ملح ( 3% ) وهي النتيجة التي بينت أن مقاومة طلاء الأيبوكسي للوسط الملحي أقل من الوسط الحامضي. يعزى ذلك إلى ان الوسط الملحي يعد وسطاً نشطاً في التفاعل الكهروكيميائي، اذ تعمل الاملاح المذابة فيه ولا سيما الكلوريد ( $\text{Cl}^-$ ) على نشر التفاعل في معظم المساحات السطحية من خلال التوصيل الكهربائي، وكما ايضاً تعمل على تقليل المقاومة النوعية لوسط التآكل من خلال التوصيل الكهربائي ليصبح وسط التآكل اشد تأثير في نماذج الحديد الكاربوني المستخدم وهذا يتفق مع الباحث (ابو بكر)[83].

من خلال الجدول(4-8) والجدول (9-4) نلاحظ أن أعلى معدل التآكل في الوسط الحامضي كان ( gmd = 410.232 ) عند درجة حرارة (  $60^{\circ}\text{C}$  ) و( pH = 1 ) اما في الوسط الملحي فقد كان أعلى معدل للتآكل ( gmd = 14.56 ) عند درجة حرارة (  $60^{\circ}\text{C}$  ) وتركيز ملحي ( 3% ) وبعدم وجود طلاء الأيبوكسي في كلا الحالتين، ومن هذه النتائج نؤكد أن التآكل يعتمد على درجة الحرارة وتركيز الوسط، التآكل في الوسط الحامضي أكثر بمعامل مقداره ( 28.2 ) عن التآكل الملحي، إلا أن مقاومة الأيبوكسي في الوسط الحامضي كانت أفضل وحسب قيمة الكفاءة .

أن التأثير المشترك للملح والحامض في الظروف السيئة ( 3% ملح و pH يساوي 1 ) تمت دراسته في مجموعة تجارب أخرى وأن نتائج هذه التجارب موضحة في الجدول(4-10).

## جدول رقم (10-4)

معدل التآكل كدالة لدرجة الحرارة وتركيز الملح ودرجة الحامضية بوجود و عدم وجود طلاء الايبوكسي.

No.	Temp. (°C)	pH	Salt concentration(%)	Corrosion rate (gmd)		Coating efficiency (%)
				Without coat	coat	
1	30	1	3	163.11	24.88	84.5
2	40			178.65	28.89	83.9
3	50			553.34	34.65	90.1
4	60			887.11	97.34	89.1

اذ أن الجدول رقم (10-4) يوضح التأثير المشترك للدالة الحامضية وتركيز الملح على معدلات تآكل الحديد الكاربوني بوجود و عدم وجود طلاء الايبوكسي، اذ نلاحظ الزيادة الكبيرة في معدلات تآكل الحديد الكاربوني نتيجة التأثير المشترك لأيون الهيدروجين ( $H^+$ ) الموجود نتيجة وجود الحامض وأيون الكلور ( $Cl^-$ ) الموجود نتيجة وجود الملح ، بينما تراوحت كفاءة طلاء الايبوكسي ما بين (84.5%) و (89.1%).

أن تأثير الوسط الملحي على كفاءة عمل طلاء الايبوكسي كان أكثر من تأثير الوسط الحامضي ، ولغرض تحسين مقاومة طلاء الايبوكسي ضد تأثير الوسط الملحي تم تدعيم طلاء الايبوكسي بمادة حبيبات أوكسيد المغنيسيوم النانوي.

يوضح الجدول (11-4) تأثير درجة الحرارة والتركيز الملحي على معدلات تآكل الحديد الكاربوني مع وبدون طلاء الايبوكسي المدعم بالمواد النانوية وبتراكيز مختلفة اذ نلاحظ زيادة معدلات التآكل بزيادة درجة الحرارة وزيادة تركيز الوسط الملحي.

أن وجود طلاء الايبوكسي المدعم بالمواد النانوية قد أدى إلى تقليل معدلات التآكل، وكانت أعلى كفاءة طلاء تم الحصول عليها كانت حوالي (93.7%) عند درجة حرارة (40 °C) وتركيز ملحي (1%) وبوجود مادة نانوية بتركيز (3%) مضافة إلى طلاء الايبوكسي، علماً أن الكفاءة بنفس الظروف وبوجود طلاء الايبوكسي فقط كانت (50.2%) وهو الشيء الذي يؤدي إلى تحسين مواصفات طلاء الايبوكسي بوجود المادة النانوية (MgO). وهذا يتفق مع الباحث (خالد)[31].

## جدول رقم (11-4)

معدل التآكل كدالة لدرجة الحرارة وتركيز الملح في وجود طلاء الايبوكسي المدعّم بـ (MgO) ذات التركيب الناتوي وغير المدعّم

No.	Temp. (°C)	MgO-nanoparticles (%)	Salt concentration (%)	Corrosion rate (gmd)		Nano Coating efficiency (%)
				Without coating	With nanoparticles coating	
1	30	1	1	4.87	1.12	77.1
2	40			8.91	2.23	74.9
3	50			9.77	2.66	72.7
4	60			10.19	3.55	65.1
5	30		2	8.56	2.23	73.9
6	40			10.34	3.12	69.8
7	50			11.06	4.01	63.7
8	60			13.77	7.10	48.4
9	30		3	11.47	3.55	69.1
10	40			11.68	5.33	54.4
11	50			13.03	6.22	52.3
12	60			14.56	9.34	35.9
13	30	2	1	4.87	0.97	80.1
14	40			8.91	2.23	74.9
15	50			9.77	2.51	74.3
16	60			10.19	2.84	72.1
17	30		2	8.56	1.78	79.3
18	40			10.34	2.66	74.2
19	50			11.06	3.12	71.8
20	60			13.77	4.01	70.9
21	30		3	11.47	2.66	76.8
22	40			11.68	3.55	69.6
23	50			13.03	4.44	65.9
24	60			14.56	5.33	63.4
25	30	3	1	4.87	0.35	92.9
26	40			8.91	0.56	93.7
27	50			9.77	0.89	90.9
28	60			10.19	1.78	82.5
29	30		2	8.56	0.89	89.6
30	40			10.34	2.24	78.3
31	50			11.06	2.51	77.34
32	60			13.77	3.38	75.46
33	30		3	11.47	3.54	69.1
34	40			11.68	4.04	65.42
35	50			13.03	4.65	64.3
36	60			14.56	5.41	62.81

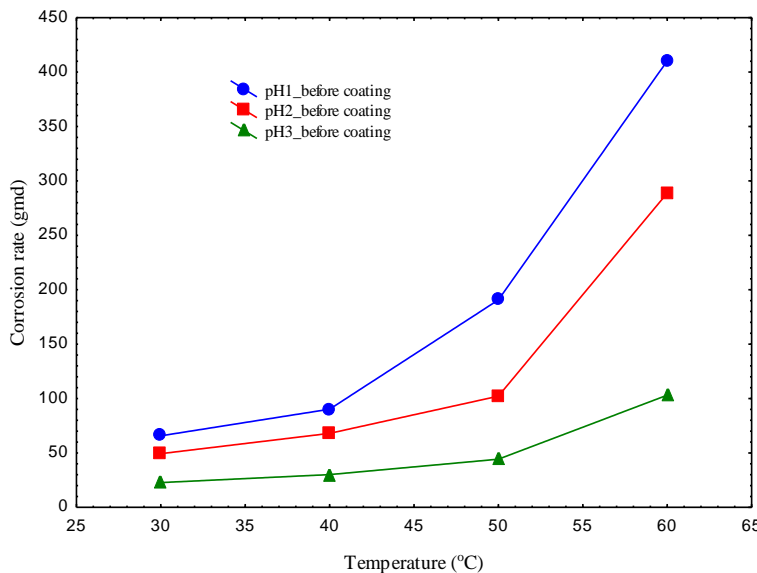
ويوضح الجدول نفسه كذلك تأثير إضافة المادة النانوية إلى طلاء الإيبوكسي في معدلات تآكل الحديد الكاربوني، إذ بينت النتائج وجود انخفاض في معدلات تآكل الحديد الكاربوني. وكذلك يبين تأثير درجة الحرارة والتركيز الملحى على معدلات تآكل الحديد الكاربوني دون طلاء وبوجود طلاء الإيبوكسي النانوى وبتركيز مختلف حيث نلاحظ زيادة معدلات التآكل بزيادة درجة الحرارة وزيادة تركيز الوسط الملحى.

أن وجود طلاء الإيبوكسي المدعى بحبوبات الـ ( $MgO$ ) ذات التركيب النانوى أدى إلى تقليل معدلات التآكل، إذ أن معدلات التآكل للحديد الكاربوني في المحلول الملحى بتركيز (1%) بدرجة حرارة ( $30^{\circ}C$ ) كانت (4.87 gmd) أما بعد طلاءها بالإيبوكسي المدعى بمادة حبوبات ( $MgO$ ) النانوية وتعرضها لنفس الظروف لوحظ انخفاض معدل التآكل إلى (1.12 gmd) وهذا يدل على أن تدعيم طلاء الإيبوكسي بـ ( $MgO$ ) النانوية عمل على تحسين وتطوير خواص طلاء الإيبوكسي كالصلادة وزيادة مقاومة السطح للخدش وخصائص كهربائية أخرى مهم. وهذا يتحقق مع الباحثة (سجى)[84].

#### (10-4) تأثير الدالة الحامضية pH

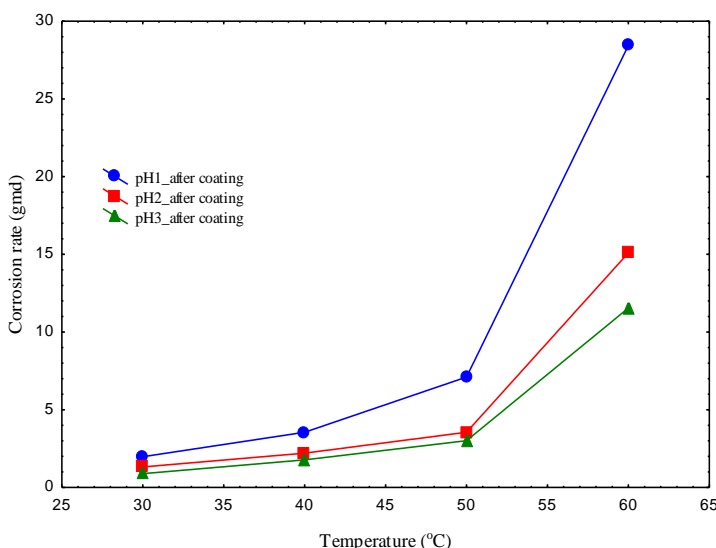
أن معدل تآكل معدن معين في وسط ما يعتمد على عوامل غالباً ما تكون غير ثابتة وفي حالة تغير مستمر ومن هذه العوامل التي تؤثر على تآكل المعادن بشكل اساس هو تأثير تركيز وسط التآكل ([23] Effect Of Corrosion Concentration).

أن معدل التآكل في الأوساط الحامضية ليس ثابت بل يعتمد على تركيز الحامض إذ يبدأ التآكل بالازدياد اعتماداً على الزيادة الحاصلة في تركيز  $pH$  إذ عندما يكون الحامض مركزاً يتآكل الحديد بشدة والتفسير المنطقي لهذا التفاوت هو أن المادة المكونة من تفاعل الحديد مع الحامض تذوب عندما يكون الحامض مركزاً بينما لا تذوب وتترسب على سطح المعدن عندما يكون الحامض مخفف، إذ أن وجود الحديد في حامض الهيدروكلوريك يزداد معدل تآكله تدريجياً بازدياد الحامض وأن سبب ذلك هو زيادة أيونات الهيدروجين التي هي المسقب الرئيسي للتآكل [40]، وكما موضح ذلك في الجدول رقم (4-8)، الشكل (6-4) يوضح العلاقة بين معدل التآكل ودرجة الحرارة عند دالة حامضية متغيرة بعدم وجود طلاء، والشكل (7-4) بوجود طلاء الإيبوكسي.



شكل رقم (4-6) تأثير درجة الحرارة على معدلات التآكل عند قيمة دالة حامضية متغيرة بعدم وجود طلاء الأيبوكسي.

من خلال الشكل رقم (4-6) واعتماداً على نتائج الجدول (4-8) نلاحظ زيادة معدل التآكل بزيادة درجة الحرارة وبثبوت الدالة الحامضية بصورة خاصة، ولكل الفيم ( $\text{ph} = 1, 2, 3$ ) ونلاحظ كذلك زيادة معدل التآكل بزيادة درجة الحرارة وتناقص الدالة الحامضية بصورة عامة اذ تراوحت قيمة معدلات تآكل الحديد الكاربوني بعدم وجود طلاء الأيبوكسي ما بين (22.76 - 410.232 gmd)، بينما في الشكل رقم (7-4) تراوحت القيمة بين (0.88 - 28.44 gmd) بوجود طلاء الأيبوكسي، أي أن طلاء الأيبوكسي خفض من معدلات التآكل والسبب يعود إلى عزل المعدن عن أيون الهيدروجين الموجود في المحلول، وهذا يتفق مع الباحث [85] (Sontwell).

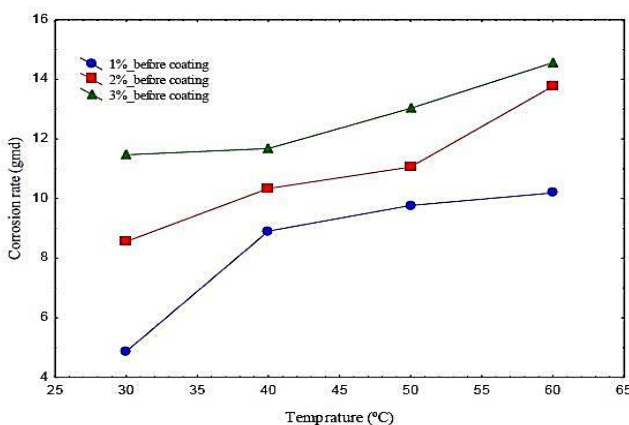


شكل رقم (7-4) تأثير درجة الحرارة على معدلات التآكل عند قيمة حامضية متغيرة بوجود طلاء الأيبوكسي.

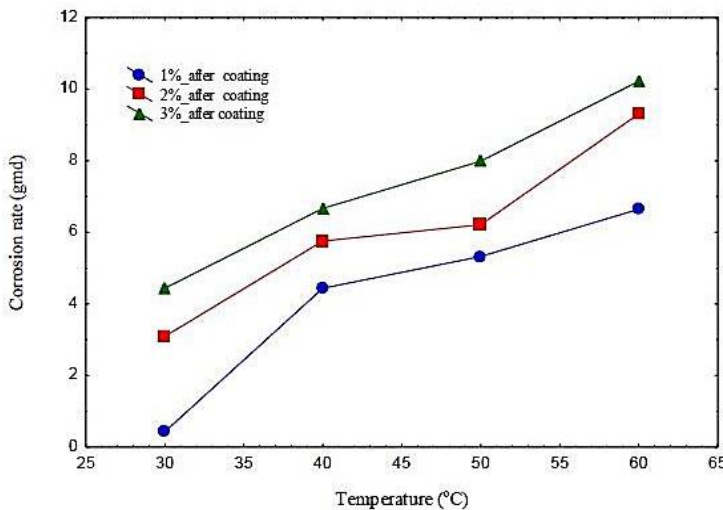
## (Effect of Salt Solution)

## (11-4) تأثير تركيز الوسط الملحى

الشكل (4-8) يُبيّن تأثير معدل التآكل مع درجة الحرارة في محلول ( $\text{NaCl}$ ) 3% وزناً على التغيير في الوزن لعينة عند درجات حرارة مختلفة قبل الطلاء بطلاء الايبوكسي، ويبدو واضحاً من الشكل الزيادة المستمرة في الوزن المفقود مع زيادة معدل التآكل بزيادة درجة الحرارة في المحلول الملحى ، أن التناقض المستمر في الوزن يعزى إلى التقر (Pitting) الحاصل بسبب وجود أيون الكلوريد وهذا يتفق مع ما أشار إليه الباحث (Rustandi et al.) [86] ، أما الشكل (4-9) يوضح تأثير المحلول الملحى بتركيز (%) 3 وزناً، عند وجود طلاء الايبوكسي .



شكل رقم(8) تأثير درجة الحرارة على معدلات التآكل للحديد الكاربوني عند تراكيز ملحية مختلفة وبعدم وجود طلاء الايبوكسي.



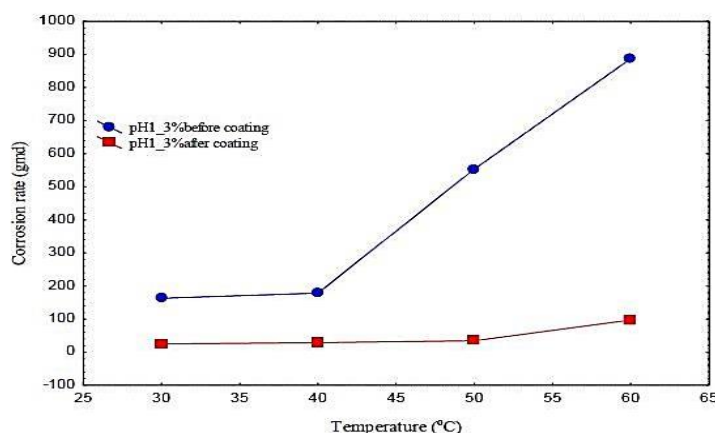
شكل (9-4) تأثير درجة الحرارة على معدلات التآكل للحديد الكاربوني عند تراكيز ملحية مختلفة عند وجود طلاء الايبوكسي.

في الشكل (4-8) نلاحظ زيادة التآكل بزيادة درجة الحرارة وارتفاع التركيز الملحى للمحلول، اذ تزداد قيم معدلات التآكل بعدم وجود طلاء الايبوكسي ما بين (4.87 وغاية 14.56) gmd . بينما الشكل (4-9) تراوحت قيم معدلات التآكل (1.12 وغاية 9.34) gmd اي ان معدلات تآكل الحديد الكاربوني قد قلت عند وجود طلاء الايبوكسي لأنه قد شكل طبقة حماية ضد تآكل المعدن وهذه إحدى المميزات الأساسية لاستخدام طلاء الايبوكسي ، وطلاء الايبوكسي خفض معدلات التآكل والسبب يعود إلى عزل المعدن من أيون الكلوريد  $\text{Cl}^-$  .

#### (12-4) التأثير المشترك للدالة الحامضية وتركيز الوسط الملحى:

#### ( Dual Effect of pH and Salt Concentration)

تم دراسة معدلات التآكل لعينات الحديد الكاربوني تحت التأثير المشترك للدالة الحامضية (pH=1) وتركيز الوسط الملحى (3%) اعتماداً على النتائج المذكورة في الجدول (4-10) اذ تبين أن هناك زيادة في معدلات التآكل قبل طلاء الايبوكسي عما هي عليه ما بعد طلاء الايبوكسي بصورة عامة كما أن الشكل (4-10) يُبيّن العلاقة بين معدلات التآكل مع درجة الحرارة.



الشكل (4-10) تأثير درجة الحرارة على معدلات التآكل للحديد الكاربوني في المحلول المشترك  
الدالة الحامضية وتركيز الوسط الملحى

ونلاحظ في الشكل (4-10) ارتفاع معدلات تآكل الحديد الكاربوني قبل طلاء الايبوكسي مع زيادة درجات الحرارة في المحاليل ذات (pH=1) وتركيز الملح (3%) من (887.11gmd - 163.11gmd).

أما بعد طلاء الايبوكسي نلاحظ انخفاض معدلات تآكل الحديد الكاربوني من (24.88-97.34gmd) إذا ما قورنت قبل طلاء الايبوكسي على الترتيب كما في الجدول (4-10) بنفس الظروف يعود السبب إلى عزل طلاء الايبوكسي لأيون  $\text{H}^+$  وأيون  $\text{Cl}^-$ . وهذا يتفق مع الباحث [Holl] [87].

## (Effect of temperature)

## (13-4) تأثير درجة الحرارة

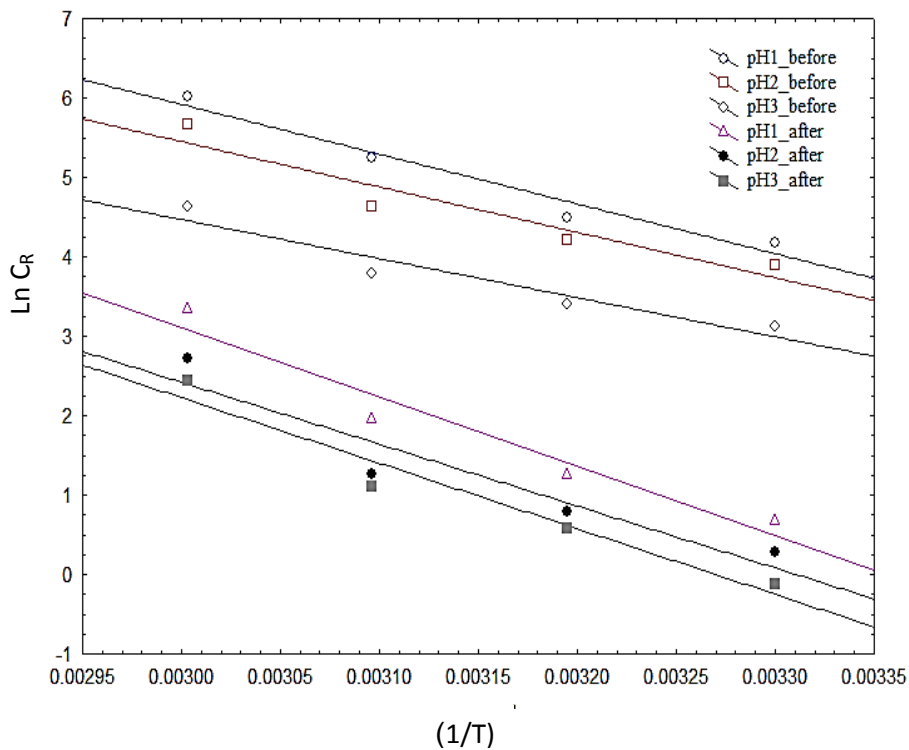
يؤدي ارتفاع درجة الحرارة إلى زيادة معدل التآكل لمعظم التفاعلات الكيميائية والكهربائية تقريباً وهناك نوعان من السلوك يمكن ملاحظتها عند ارتفاع درجة الحرارة إذ يزداد معدل التآكل زيادة سريعة ومثل هذا السلوك يبيه الفولاذ المقاوم للصدأ في حامض الهيدروكلوريك (HCl) عند ارتفاع درجة الحرارة.

أما السلوك الثاني فهو بقاء معدل التآكل منخفض في البداية ثم يعقب ذلك زيادة مفاجئة وعالية في معدل التآكل بازدياد درجة الحرارة، هذا يتفق مع الباحث (ابو بكر) [83].

والشكل (10-4) يوضح العلاقة بين  $C_R$  و  $(1/T)$ . ان قيم طاقات التنشيط موضحة في الجدول (4 - 7). اذ نلاحظ ان طاقة التنشيط التي تم حسابها من المعادلة (24 - 2) قبل استخدام طلاء الايبوكسي في الوسط الحامضي و الملحي كانت اقل من القيم بعد استخدام طلاء الايبوكسي وتقل مع زيادة pH وتركيز الملح قبل وبعد طلاء الايبوكسي. ان السبب يعود الى ان التفاعل يحتاج الى طاقة اقل لكي يحدث في حالة عدم وجود طلاء الايبوكسي وهذا يتفق مع الباحث (Holl) [87].

الجدول رقم (12-4 ) طاقات التنشيط بظروف مختلفة.

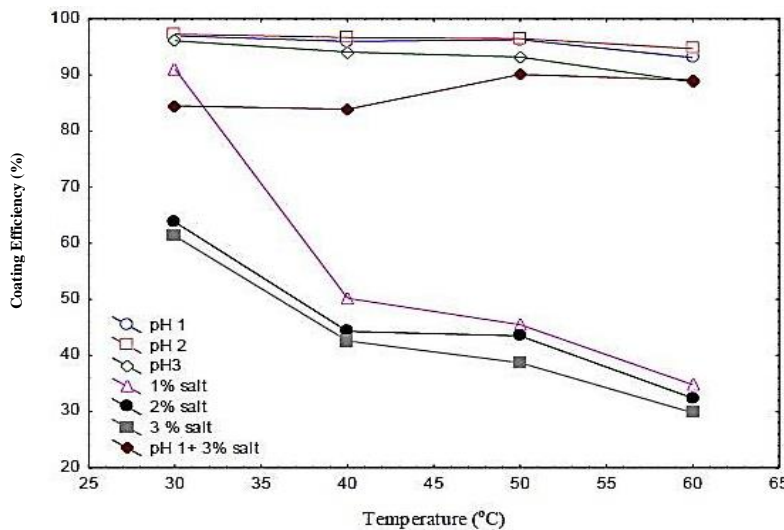
Coating	pH	$E_a$ (kJ/mol)	Salt conc. (%)	$E_a$ (kJ/mol)
Before	1	52.07	1	15.64
	2	47.47	2	12.51
	3	40.92	3	6.86
After	1	72.43	1	22.57
	2	64.78	2	18.95
	3	68.59	3	16.69

الشكل (11-4) العلاقة بين  $\text{Ln } C_R$  مع  $(1/T)$ 

**(14-4) كفاءة طلاء الايبوكسي وتأثير إضافة الحبيبات النانوية:**

### (Efficiency Epoxy Coating and Effect Adding Nanoparticles)

تم حساب كفاءة طلاء الايبوكسي وفق المعادلة (8-2) والشكل (12-4) يوضح علاقة الكفاءة مع درجة الحرارة.



الشكل(12-4) علاقة الكفاءة مع درجة الحرارة

يوضح الشكل اعلاه العلاقة بين درجة الحرارة وكفاءة طلاء الايبوكسي قبل اضافة الحبيبات النانوية إذ تكون العلاقة عكسية إذ تنخفض كفاءة طلاء الايبوكسي بارتفاع درجة الحرارة ولا سيما بالأوساط الملحيه وكذلك فأن لتركيز الوسط الأكال (حامضي وملحي) أثراً كبيراً على كفاءة طلاء الايبوكسي، إذ أن كفاءة طلاء الايبوكسي ضمن الوسط الحامضي في درجة حرارة (30°C) و (pH=1) تساوي (97%).

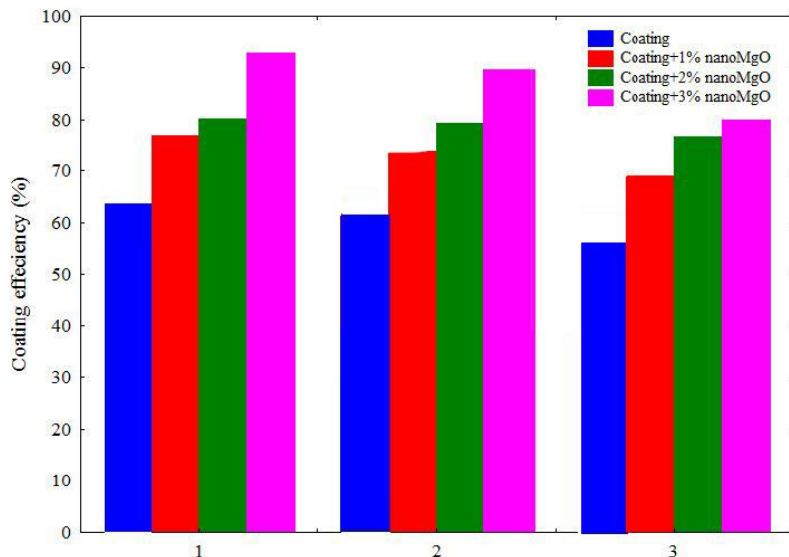
أما عند نفس درجة الحرارة مع انخفاض تركيز (pH=3) فأن كفاءة طلاء الايبوكسي تصبح (96.1%) لكن التأثير الأكبر للتآكل يعود إلى ارتفاع درجة الحرارة، إذ أن كفاءة طلاء الايبوكسي عند درجة حرارة (60°C) و (pH=1) تساوي (93.11%) و عند درجة حرارة (60°C) و (pH=3) فأن كفاءة طلاء الايبوكسي تصبح (88.8%)، وهذا يدل على أن كفاءة طلاء الايبوكسي تقل كلما ارتفعت درجة الحرارة وانخفاض الدالة الحامضية (pH).

أما بالنسبة لكافأة طلاء الايبوكسي في الأوساط الملحيه فأنها تكون أقل بصورة عامة إذ تساوي (56.6%) عند درجة حرارة (30°C) وتركيز ملحي (1%).

أما عند نفس درجة الحرارة وبتركيز ملحي (3%) فأن كفاءة طلاء الايبوكسي تساوي (61.3%) لكن هذه النسب تتأثر تأثيراً كبيراً عند ارتفاع درجة الحرارة فعند التركيز الملحي (1%) ودرجة حرارة (60°C) تصبح كفاءة طلاء الايبوكسي (34%) وعند تركيز ملحي (3%) ودرجة حرارة (60°C) فأن كفاءة طلاء الايبوكسي تنخفض إلى (29.8%) وهذا يدل على أن كفاءة طلاء الايبوكسي في الأوساط الحامضية تكون أكبر بكثير من الأوساط الملحيه، مما يدل على أن طلاء الايبوكسي مقاوم للأوساط الحامضية أكثر من الأوساط الملحة.

اذ انه في الأوساط الملحيه كفاءة طلاء تقل كلما ارتفعت درجة الحرارة وزيادة تركيز الوسط الملحي. وقد أظهرت النتائج أن إضافة المادة النانوية لطلاء الايبوكسي عملت على زيادة كفاءة طلاء الايبوكسي كما في الجدول (11-4).

ان الشكل رقم (13-4) يعطي موازنة بين كفاءة طلاء الايبوكسي بعدم وجود المادة النانوية ووجود تركيز مختلفة من المادة النانوية. اذ نلاحظ بان اعلى كفاءة تم الحصول عليها عند اضافة 3% من تركيز المادة النانوية الى طلاء الايبوكسي.



Salt concentration (%)

الشكل(13-4) يوضح العلاقة بين كفاءة طلاء الأيبوكسي مع المادة النانوية (MgO)

## Conclusions

## (15-4) الاستنتاجات

من خلال العمل الحالي تم استنتاج النقاط أدناه:-

- ١- يتأثر تآكل العينات تأثراً كبيراً بتركيز الوسط ونوعه ودرجة الحرارة وهذا ما أظهرته نتائج البحث إذ يتغير ويتأثر مع هذه العوامل.
- ٢- أظهرت النتائج أن كفاءة طلاء الأيبوكسي في الأوساط الحامضية كانت جيدة جداً اذ تصل إلى 97% ، أما في الأوساط المالحة فكان تأثيرها قليلاً ، وهذا يدل على أن طلاء الأيبوكسي مناسب للأوساط الحامضية.
- ٣- أظهرت النتائج بأن إضافة حبيبات (MgO) النانوية إلى طلاء الأيبوكسي وبتركيز مختلفة (1,2,3 %) ادت إلى تحسن كفاءة طلاء الأيبوكسي بشكل كبير في الأوساط المالحة.
- ٤- بینت النتائج بأن معدلات التآكل تختلف باختلاف وسط التآكل (حامضي او ملحي) وهذا يدل على الدور المهم الذي يؤديه وسط التآكل في التأثير في معدلات التآكل.
- ٥- زيادة الدالة الحامضية تؤدي إلى تناقص معدلات التآكل.
- ٦- تتحسن الصلادة السطحية والتوصيلية الحرارية لطلاء الأيبوكسي بإضافة حبيبات اوكسيد المغنيسيوم النانوية.

(Future work)

المشاريع المستقبلية (16-4)

- ١- تحضير ودراسة بعض الخصائص الفيزيائية لطلاء الأيبوكسي الراتنجي المدعم بحبوبات أوكسيد النحاس ( $CuO$ ) النانوية التركيب لمقاومة تآكل الحديد الكاربوني في الأوساط المائية.
- ٢- تثبيط تآكل الفولاذ الكاربوني في وسط حامضي باستخدام مستخلص بعض المواد النانوية النباتية.
- ٣- تحضير ودراسة بعض الخصائص الفيزيائية لطلاء الأيبوكسي المدعم بالمواد النانوية والميكروية.

**المصادر**

**REFERENCES**

## References

- [1] M. G. Fontana, "Corrosion Engineering", 3<sup>rd</sup> ed., McGraw-Hill, (1989).
- [2] د. حسين باقر رحمة الله "التآكل" ، مطبعة بغداد ، الجامعة الاردنية، (1996).
- [3] W. Bolten, "Engineering Material technology" 3<sup>rd</sup>, U.K. (1998).
- [4] الاستاذ الدكتور قحطان خلف الخزرجي، عبد الجود محمد الشريف، "التآكل - اسبابه - انواعه - طرق الحماية منه" ، كلية الهندسة، جامعة بغداد (1988).
- [5] الاستاذ الدكتور جلال محمد صالح " الكيمياء الكهربائية " الطبعة الثانية المحدثة. سنة (1992).
- [6] S. K. Jaypuria, "Heat Treatment of low carbon steel" Department Mechanical Enginerring National Institute of Technology, (2008).
- [7] الدكتور ذنون محمد بيرياوي " كيمياء اللواصق والاصباغ والاطلية البوليميرية " جامعة بغداد، كلية العلوم، مطبعة دار الحكمة (1990).
- [8] Hassan Talal Jaafar Abd Al- Hassan, " study The Effect of Coating Agents on the physical properties of polymer composite Materials" Athesis submitted to the Separtment of Applied Sciences of university of technology, (2013).
- [9] Q. Zhu, A.R Oganov and A.O. Lyakhov, " Novel stable compounds in Mg-O System under high Pressur " physical. Chemistry.chemical.physics Journal, vol.15, No.20, pp.7696-7700,(2013).
- [10] G. Dercz, K. Prusik, L. pajaki, R. Pielaszek, J.J. Malinowski, W. pudlo, " Structure Studies On NanoCrystalline Powder of MgO Xerogel Prepared By The Sol-Gel Method" Journal of Materials Science-Poland, Vol.27 No.1, PP.202-207, (2009).
- [11] F. A. Cotton, G Wilkinson, C.A.Murillo and M.Bochmann " Advanced In organic Chemistry ", John wiley & sons (1999).
- [12] <https://www.Britannica.Com/ Science/ magnesium-oxide>.
- [13] Thomas Ihn " Semiconductors Nanostructures" oxford University press, New-york, (2010).
- [14] C. Jagadish, S. Pearton " Zinc oxide Bulk, Thin Films and Nanostructures" Elsevier Limited, (2006).

## References

- [15] Hwaiyu Geng and Linzhou " Semiconductors ManuFacturing Handbook " The Mc Graw-Hill Company, (2004).
- [16] Gommes,C. J. Roberts A, " Structure Development of Resorciol-Formldehde Gels: microphase Separation or colloid Aggregation. Physical Review ", (2008).
- [17] احمد حامد عبد حبيب،" دراسة بعض الخصائص الفيزيائية لاؤكسيد المغسيوم ( $MgO$ ) الثنائي المطعم بـايوني السيريوم والحديد المحضر كيميائياً" رسالة ماجستير مقدمة إلى مجلس كلية العلوم – جامعة ديالى (2016).
- [18] N. Rosa-fox, M. Pinero, L. Esquivias, " Organic-Inorganic Hybrid Materials from Sol gels ", (2002).
- [19] J. D. wright, N.A.J.M. Sommerdi JK, " Sol-Gel Materials: chemistry And Applicatiopn ", (2000).
- [20] M. A. Aegeerter, M.Menning, " Sol-Gel Technologies for Galss Producers And users ", (2004).
- [21] C. A. Mila, C. Bogatu, A. Duta, " The Influence of Para meters in silica sol-Gel Process ", Bulletion of the Tran silvania University of Brasov, vol.4, No.53, PP. 60-66, (2011).
- [22] T. X. Hang, T.A. Tranc, T.H. Nam, V.K. oanh, " Corrosion Protection of Carbon steel by an epoxy resin containing organically modified clay " Surface, and Coatings Techndogy, Vol.201, NO.16, P.7408 – 7415. (2007).
- [23] Yaro, A. Kadum, A.S. ALTaie and A.Y. Musa, " The Effect of Temperature And Acid concentration on Corrosion of Low carbon steel In Hydrochloric Acid Media " American Journal of Applied Science, Vol. 6, No.7, (2009) .
- [24] زهير طالب الطائي " دراسة تأثير درجة الحرارة على السلوك التآكلية للسبيكة (AL – 2Cu – 2Mg) في محلول الحامضي The Iraqi Journal for Mechanical and Material Engineering "", Vol.9, No.3, p.p.(642-657), (2009).
- [25] شيماء جابر كريم " دراسة تأثير اضافة البولي استر غير المشبع في السلوك التآكلية للفولاذ واطئ الكربون في المحاليل التآكلية " The Iraqi Journal for Mechanical and Material Engineering", Vol.10, No.3, (2010).

## References

- [26] N. Hammouda, H.chadli, G. Guillemot, K. Belmokre, " **The Corrosion protection Behaviour of Zinc Rich Epoxy Paint in 3% NaCl Solution**", advances in chemical Engineering and science, Vol- 1, p.p.(51 – 60), (2011).
- [27] باسم محمد محيسن الزبيدي " دراسة تأثير الملح المزدوج  $KAl(SO_4)_2 \cdot 12H_2O$  في سلوك التآكل للفولاذ واطئ الكربون " المجلد التاسع عشر (2011).
- [28] S. A. Ajeel, H.M. waadulah, D.A. Sultan, " **Effects of  $H_2SO_4$  And HCl Corrosion Resistance of protected Low Carbon Steel** ", Al- Rafidain Engineering, Vol.20, No.6, p.p.(70 – 76), Dec (2012).
- [29] فراس فرحان سيد " **تقييم مقاومة التآكل لفولاذ متواسطة الكربون باستخدام اساليب حماية مختلفة**" مجلة الهندسة التكنولوجية، المجلد الثلاثون، العدد السابع، (2012) ،p.p.(158 – 168).
- [30] مالك نعمة حواس، بشري رشيد محمد، نوال حمودي موسى " **تطبيق بعض طرق الحماية على مقاومة التآكل الكهروكيميائي لفولاذ عالي الكربون**" ، مجلة القادسية للعلوم الهندسية، المجلد الخامس، العدد الثالث، (2012)، p.p.(95 – 105).
- [31] د. خالد رشاد الرواي، هدى محمد جعفر، " دراسة تحسين المواصفات الحرارية لمترافق الايبوكسي (EP.Taic powder)" ، مجلة جامعة دمشق للعلوم الاساسية، المجلد (30)، العدد (2)، (2012)، p.p.(348 – 351).
- [32] Y. Liag, F.Lin, M: Nie, S.Zhao, J.Lin, & E.Han," **Influence of nano-Alconcentrates on the Corrosion resistance of epoxy coating**". Jaournal of Materials Science & Technology, Vol 29, No 4, p.p. (355-358), (2013).
- [33] رشا عبد جاسم، " **حماية التآكل لبعض الفلزات والسبائك في الماء المالح بواسطة الطلاء بالمواد النانوية**" رسالة ماجستير مقدمة إلى كلية العلوم للبنات - جامعة بغداد، (2013).
- [34] خالد رشاد الرواي، رفعه عامر سلمان " دراسة بعض الخواص الميكانيكية لمترافق Epoxy-MgO " ، مجلة جامعة النهرين للعلوم، المجلد السابع عشر، العدد الاول، اذار، (2014)، p.p.(10 – 14).
- [35] طيبة مجید حميد " دراسة تأثير المواد النانوية على الخصائص الفيزيائية لخلط الايبوكسي "، اطروحة دكتوراه مقدمة إلى الجامعة التكنولوجية، بغداد، (2016).

## References

- [36] نور حاتم خورشيد، "تثبيط تأكيل الفولاذ الكربوني في وسط حامضي باستخدام مستخلص اوراق النارنج " رسالة ماجستير، قسم علوم الكيمياء، كلية العلوم، جامعة ديالى، (2016).
- [37] محمد عبدالله ياسين، " دراسة امكانية تثبيط التأكيل المعدني في الانابيب النفطية " رسالة ماجستير، قسم الفيزياء، كلية التربية للعلوم الصرفة – ابن الهيثم، جامعة بغداد، (2017).
- [38] J.E. Scully, " **The Fundamental of Corrosion** ", 3<sup>rd</sup> ed., Pergamon Press, (1990).
- [39] د. باقر حسين رحمة الله " هندسة التأكيل وحماية سطوح المعادن "، الجامعة التكنولوجية، اللجنة الجامعية للشؤون العلمية (1989).
- [40] د. معتز الحيدري " اختبارات المواد الهندسية" ، دار المعتز للنشر والتوزيع، الطبعة الاولى، (2004).
- [41] K. R. Tretheway & J.chamberlain, " **Corrosion for Science And Engineering** " 2<sup>nd</sup> ed., Printed In Singapore, (1996).
- [42] P. A. Thornton & V.J. coangelo, " **Fundamentals of Engineering Materials** ", Prentice hall/Nc, (1985).
- [43] R. S. khurmi & R.S. Sedha, " **Material Science** " . Chand & Company. Ltd, (1995).
- [44] P. A. Schweitzer "corrosion Engineering Handbook", second Edition- 3 volume set, CRC press, 1996.
- [45] E. E. Sainsbury & R.A. Buchawan, " **Fundamentals Electro chemical corrosion** ", ASU, Internation The Materials Information society, (2000).
- [46] H. H. Uhlig & R.W. Revie, " **Corrosion And Corrosion Control** ", 3<sup>rd</sup> ed., John Wiely & Sons, Inc, (1985)
- [47] Astm Special Technical Publition 567 " **Evosion wear Interface with corrosion** " , by American socity for Testing and materials printed in philadelphia, Second printing, (1974).
- [48] T. K. Namboodhhiri & Deonath, " **Some corrosion charaeterristice of Aluminum-Maca Particulate Composites** " , corr-sci, vol.29, No.10, PP.125-1229, (1989)

## References

- [49] ابراهيم منصور، " هندسة التآكل والطرق الفنية في التصدی لـه" ، جامعة الاسكندرية، مصر، (1996).
- [50] نوال محمد داود الكروي، " مثبط عضوي جديد لحماية الفولاذ الكربوني في اوساط مختلفة" ، رسالة ماجستير مقدمة إلى كلية الهندسة قسم المواد، جامعة بابل، (2006).
- [51] الدكتور عبدالله بن عمر الهازاري " اسس ومبادئ الكيمياء الكهربائية " ، الطبعة الاولى، جامعة ام القرى، (2017).
- [52] I. L. Rozenfeld, " **Green Inhibitors** ", McGrow-Hill, (1981).
- [53] Y. Yee, " **Green Inhibitor for Corrosion Control** ", Corrosion And Protection Center, May, 2004.
- [54] K. Abiola N.C. Oforka & E.Ebenso, " **The Inhibition of Mild steel Corrosion In An Acidic Medium by Fruit Juic of Citruc Paradisi** ", The Journal of Corrosion Science And Engineering, Vol.15, No.10, PP.1.7, (2004).
- [55] محمد احمد السيد خليل "الحماية من التآكل" دار الكتب العلمية – بيروت (2014).
- [56] حسين محمد جمعة " موسوعة الدهانات والورنيشات المعمارية والصناعية " ، (2007).
- [57] زياد طارق خضرير " تصميم وتصنيع التراكيب النانوية بتقنية APCVD ودراسة بعض الخواص الفيزيائية وظروف الترسيب للمركب (ZNO:FE) " اطروحة مقدمة إلى مجلس كلية التربية- ابن الهيثم – جامعة بغداد (2011).
- [58] محمد شريف الاسكندراني، " **تكنولوجيَا الثانو من اجل غداً افضل** " المجلس الوطني للثقافة والاداب، الكويت، (2010).
- [59] T. Pradeep, " **Nano The Essentials, Understanding Nano Science And Nano technology** ", Tata. McGraw-Hill Publishing company limited, New Delhi, (2007).
- [60] د. قحطان خلف الخزرجي وآخرون " **التقنية النانوية** " مطبعة دار مجلة، العراق، (2010).
- [61] Mzsua Hosokawa, Kiyoshi Nogi, Makio Naito, Toyokaazu Yokoyama " **Nano particale Technology Handbook** " British library Cataloguing in Publication Data, 1<sup>st</sup> edition, (2007).
- [62] R. A. smith, " **Semiconductors** " , 2<sup>nd</sup> edition, Cambridge University press, (1987).

## References

- [63] C. Kittel, " **Intrduction To Solid State physics** ", 8<sup>th</sup> Edd John wiley & Sons Inc, (2005).
- [64] يحيى نوري الجمال "فيزياء الحالة الصلبة" مطبعة جامعة الموصل، (1990).
- [65] S. O. Kasap, " **Principles of Electronic material And Device** " 2<sup>nd</sup> edition Mc Graw-Hill, Higher Education, (2002) .
- [66] F. Sher, " **Crystal structure Determination I** ", Pakistan Institute of Engineering And Applied Science, (2010).
- [67] متى ناصر مقادسي " **علم المواد**"، جامعة بغداد، (1990).
- [68] B. D. Cullity, S.R. stock, " **Elements of X-Ray Diffraction** ", 3<sup>rd</sup> ed., prentice Hall, New York, (2001).
- [69] Y. T. prophu, K.V. Rao, V.S. kumar and B.S. kumara, " **X-Ray Analysis by williamson-Hall and size – Strain polt Methods of zno nanoparticles with Fuel variation** " world Jurnal of Nano Science and Engineering , Vol.14, P.P(21-28),(2014).
- [70] T. Obata, K.Komeda, T. Nakao, H.Ve, C.Tatsuyama, " **Structural characterization of Si<sub>0.7</sub> Ge<sub>0.3</sub> Layers Grown on Si(001) Substrates By Molecular Beam Epitaxy** ", Journal Applied physics, 81, (1997) 199.
- [71] C. Barret, B.T.Massalki, " **Structure of Metals** ", Book, Oxford pergamom, (1980).
- [72] M. Santiago, " **Introduction to X-Ray Diffraction meter**" University of Puerto Rico, (2006).
- [73] Sajjad Hussain " **Investigation of structural and optical properties of Nanocrystalline ZnO**", D. Dissertation, Linkopings University, (2008).
- [74] R. J. C. Ford, " **Plastics Engineering**", 2<sup>nd</sup> Ed., Pergamon Press, U.K., (1987).
- [75] بيلي ف. ، ترجمة الدكتور حسين باقر رحمة الله، " **مبادئ هندسة المواد**"، جامعة البصرة، (1985).
- [76] D. Kopeliovich, " **Shore (Durometer) Hardness Test**", Subs & Tech Last Modification. 28, Apr., (2012).

## References

- [77] W. D. Callister and G. David, "Material Science and Engineering , An Introduction", 9<sup>th</sup> Ed., John wiley and Sons Inc, (2014).
- [78] Z. Han and A. Fina, "Thermal Conductivity of Carbon Nanotubes and their Polymer Nanocomposites", Progress in Polymer Science, Vol. 36, No.7, pp. 914-944, (2011).
- [79] A. M. Collieu and D. J. Powny, "The Mechanical and Thermal Properties", Butter and Tanner, London, (1973).
- [80] T. B. Akrill, G. A. Bennet and G. J. Millar, "Plastics", Edward Arnold, London, (1979).
- [81] K. W. Whitten, R.E. Davis and M.Peck, " Ganeral chemistry ", 7<sup>th</sup> ed. Holt Rinehart and Winston, , New-York, (2010).
- [82] فراس البلخي، محمد علي السيد علي، خالد ميا " تنفيذ نظام طلاء عازل حراري TBC باستخدام تقنيتي EB-PVD و CA-PVD ، ودراسة خواصه " مجلة جامعة دمشق، المجلد 28، العدد 2، (2012).
- [83] ابو بكر الشريف، فاطمة التوهامي، مريم يوسف، منال اوحيد، " دراسة تأثير الملوحة ودرجة الحرارة على معدل تأكل الحديد الصلب " بحث مقدم إلى كلية العلوم، قسم الكيمياء، جامعة سبها، ليبيا، (2016).
- [84] سجي اياد العباسى " تحضير مواد متراكبة مدعمة بالكاربون لمعالجة تأكل ابراج التصفية النفطية " ، رسالة ماجستير ، قسم العلوم التطبيقية، الجامعة التكنولوجية (2015)
- [85] E. R. Southwell, A. L. Alexander, " Corrosion of Metals in Tropical water. Structural and ferrous Metals.Mater ials Protection", Vol. 9, No. 1, pp. 14 – 23.
- [86] A. Rustandi, M.Adytatama, E.Fadly, N.Stubekti, " Corrosion rate of carbon steel for flowline and pipeline as Trausmission pipe in Natural Gas production with CO<sub>2</sub> content", Makara teknologi. VOl.16, P.P.57-62, (2012).
- [87] American Holl-Dip Galvanizers Assn-(AHDGA) Galvanized steel in Soils, AHDGA, Market, New-York, winter.(1982).